



UNIVERSITAS INDONESIA

**PENINGKATAN BILANGAN OKTANA PADA GASOLINE
MENGGUNAKAN PRASEODIMIUM(III)-ETILEN DIAMIN
TETRA ASETAT/ZEOLIT KLINOPTILOLIT AKTIF**

SKRIPSI

VINO HASYIM

0806368206

**FAKULTAS TEKNIK
PROGRAM STUDI TEKNIK KIMIA
DEPOK
Januari 2011**



UNIVERSITAS INDONESIA

**PENINGKATAN BILANGAN OKTANA PADA GASOLINE
MENGGUNAKAN PRASEODIMIUM(III)-ETILEN DIAMIN
TETRA ASETAT/ZEOLIT KLINOPTILOLIT AKTIF**

SKRIPSI

Diajukan sebagai salah satu syarat untuk memperoleh gelar sarjana

VINO HASYIM

0806368206

**FAKULTAS TEKNIK
PROGRAM STUDI TEKNIK KIMIA
DEPOK
Januari 2011**

HALAMAN PERNYATAAN ORISINALITAS

**Skripsi ini adalah hasil karya saya sendiri,
dan semua sumber yang dikutip maupun dirujuk
telah saya nyatakan benar.**



Nama : Vino Hasyim
NPM : 0806368206
Tanda Tangan :
Tanggal : 7 Januari 2011

HALAMAN PENGESAHAN

Skripsi ini diajukan oleh :
Nama : Vino Hasyim
NPM : 0806368206
Program Studi : Teknik Kimia
Judul Skripsi : Peningkatan Bilangan Oktana Pada
Gasoline Menggunakan Praseodium(III)-Etilenadiamintetraasetat/Zeolit Klinoptilolit Aktif

Telah berhasil dipertahankan di hadapan Dewan Penguji dan diterima sebagai bagian persyaratan yang diperlukan untuk memperoleh gelar Sarjana Teknik pada Program Studi Ekstensi Teknik Kimia Fakultas Teknik, Universitas Indonesia

DEWAN PENGUJI

| | | |
|---------------|-----------------------------------|---------|
| Pembimbing I | : Ir. Dewi Tristantini, MT., PhD. | (.....) |
| Pembimbing II | : Dr. Eny Kusrini | (.....) |
| Penguji 1 | : Prof.Dr.Ir.M.Nasikin,M.Eng | (.....) |
| Penguji 2 | : Dr.Ir. Sukirno,M.Eng | (.....) |
| Penguji 3 | : Hestuti Eni, ST | (.....) |

Ditetapkan di : Depok

Tanggal : 7 Januari 2011

KATA PENGANTAR

Puji syukur saya panjatkan kepada Tuhan Yang Maha Esa, karena atas berkat dan rahmat-Nya, saya dapat menyelesaikan skripsi ini. Penulisan skripsi ini dilakukan dalam rangka memenuhi salah satu syarat untuk mencapai gelar Sarjana Teknik Jurusan Teknik Kimia Pada Fakultas Teknik Universitas Indonesia. Saya menyadari bahwa, tanpa bantuan dan bimbingan dari berbagai pihak, dari masa perkuliahan sampai pada penyusunan laporan skripsi ini, sangatlah sulit bagi saya untuk menyelesaikan laporan skripsi ini. Oleh karena itu, saya mengucapkan terima kasih kepada :

- (1) Orang tua dan keluarga besar saya yang telah memberikan bantuan dukungan materil dan moral.
- (2) Ibu Ir. Dewi Tristantini, MT., PhD dan Ibu Dr. Eny Kusrini selaku dosen pembimbing yang telah menyediakan waktu, tenaga, dan pikiran untuk mengarahkan saya dalam penyusunan laporan skripsi ini.
- (3) Prof. Dr. Ir. Widodo Wahyu Purwanto, DEA selaku ketua Departemen Teknik Kimia Fakultas Teknik Universitas Indonesia.
- (4) Bapak Dr.Ir. Sukirno, M.Eng sebagai pembimbing akademis penulis.
- (5) Pihak Departemen Teknik Kimia dan Departemen Kimia yang telah banyak membantu dalam usaha memperoleh data yang diperlukan.
- (6) Sahabat yang telah banyak membantu dan semangat kepada saya dalam menyelesaikan skripsi ini.

Akhir kata, saya berharap Tuhan Yang Maha Esa berkenan membala segala kebaikan semua pihak yang telah membantu. Semoga laporan skripsi ini membawa manfaat bagi pengembangan ilmu.

Depok, 7 Januari 2011

Penulis

HALAMAN PERNYATAAN PERSETUJUAN PUBLIKASI TUGAS AKHIR UNTUK KEPENTINGAN AKADEMIS

Sebagai sivitas akademik Universitas Indonesia, saya yang bertanda tangan dibawah ini:

Nama : Vino Hasyim
NPM : 0806368206
Program Studi : Teknik Kimia
Departemen : Teknik Kimia
Fakultas : Teknik
Jenis Karya : Skripsi

Demi pengembangan ilmu pengetahuan, menyetujui untuk memberikan kepada Universitas Indonesia **Hak Bebas Royalti Noneksklusif (Non-exclusive Royalty-Free Right)** atas karya ilmiah saya yang berjudul :

PENINGKATAN BILANGAN OKTANA PADA GASOLINE MENGGUNAKAN PRASEODIMIUM(III)-ETILEN DIAMIN TETRA ASETAT/ZEOLIT KLINOPTILOLIT AKTIF

Dengan Hak Bebas Royalti Noneksklusif ini Universitas Indonesia berhak menyimpan, mengalihmedia/formatkan, mengelola dalam bentuk pangkalan data (*database*), merawat, dan mempublikasikan tugas akhir saya selama tetap mencantumkan nama saya sebagai penulis/pencipta dan sebagai pemilik Hak Cipta.

Demikian pernyataan ini saya buat dengan sebenarnya.

Dibuat di : Depok

Pada tanggal : 7 Januari 2011

Yang menyatakan

(Vino Hasyim)

ABSTRAK

Nama : Vino Hasyim
Program Studi : Teknik Kimia
Judul :

**PENINGKATAN BILANGAN OKTANA PADA GASOLINE
MENGGUNAKAN PRASEODIMIUM(III)-ETILEN DIAMIN TETRA
ASETAT/ZEOLIT KLINOPTILOLIT AKTIF**

Dalam penelitian ini telah dilakukan fabrikasi nanopartikel kompleks praseodium(III)-EDTA (etilenadiaminatetraasetat) dengan metode represipitasi dan penguapan. Kristal besar dan nanopartikel kompleks Pr(III)-EDTA sebanyak 2% (b/b) digunakan sebagai komponen minor aktif pada preparasi katalis Pr(III)-EDTA/Zeolit dengan metode impregnasi pada suhu 60°C. Zeolit yang digunakan adalah zeolit alam aktif klinoptilolit. Pr(III)-EDTA/Zeolit digunakan sebagai katalis untuk meningkatkan bilangan oktana pada *gasoline*. Nanopartikel Pr(III)-EDTA hasil fabrikasi dikarakterisasi dengan *Transmission Electron Microscopic* (TEM).

Data TEM menunjukkan nanopartikel yang diperoleh memiliki diameter antara 5,8 hingga 28,6 nm dan panjang 149,8 nm. Luas permukaan pada zeolit sebelum dimodifikasi adalah 30,9 m²/g. Setelah dimodifikasi dengan kristal besar Pr(III)-EDTA terjadi penurunan luas permukaan menjadi 24,1 m²/g sedangkan pada penambahan nanopartikel Pr(III)-EDTA menjadi 9,9 m²/g. Hal ini menunjukkan sebagian besar pori-pori zeolit banyak terisi oleh nanopartikel Pr(III)-EDTA dibanding dengan kristal besar Pr(III)-EDTA.

Analisis XRF menunjukkan bahwa di dalam katalis dengan komponen aktif kristal besar Pr(III)-EDTA dan komponen aktif nanopartikel Pr(III)-EDTA terdapat Pr(III) masing-masing sebanyak 0,4175 % dan 0,5236 %. Hasil ini membuktikan bahwa komponen aktif nano partikel lebih banyak masuk kedalam pori-pori zeolit klinoptilolit.

Pengukuran bilangan oktana dengan *octane meter* SHATOX SX-200 menunjukkan peningkatan bilangan oktana pada *gasoline* untuk katalis kristal besar Pr(III)-EDTA/Zeolit dan katalis nanopartikel Pr(III)-EDTA/Zeolit masing-masing dari 88,2 menjadi 89,2 dan 89,6 atau terjadi kenaikan 1 dan 1,4. Sedangkan penambahan katalis zeolit tanpa modifikasi meningkatkan bilangan oktana dari 88,2 menjadi 88,8 terjadi kenaikan 0,6.

Peningkatan bilangan oktana ini disebabkan adanya kenaikan % peak area isooktana dan penurunan % peak area n-oktana di dalam *gasoline* yang ditunjukkan melalui analisis menggunakan GC-MS. Kemungkinan besar hal inilah yang meningkatnya bilangan oktana pada *gasoline*. Dari penelitian ini bisa disimpulkan bahwa katalis Pr(III)-EDTA dapat digunakan untuk meningkatkan bilangan oktana *gasoline* dengan keaktifan berturut-turut adalah katalis nanopartikel Pr(III)-EDTA/Zeolit, katalis kristal besar Pr(III)-EDTA/zeolit dan katalis zeolit.

Kata Kunci : bilangan oktana *gasoline*; katalis zeolit; praseodium(III)-etilen diamin tetra asetat

ABSTRACT

Name : Vino Hasyim
Study Program : Chemical Engineering
Title :

INCREASING THE OCTANE NUMBER OF GASOLINE USING PRASEODYMIUM(III)-ETHYLENE DIAMINE TETRA ACETATE /ACTIVATED CLINOPTILOLITE ZEOLITE

In this research Pr(III)-EDTA (ethylene diamine tetra acetate) complex has been fabricated using reprecipitation and vaporization method. Bulk crystal Pr(III)-EDTA complex and nanoparticle 2 % (wt/wt) used as the active minor component for Pr(III)-EDTA/Zeolite catalyst preparation through impregnation method at 60°C. Zeolite that used in this research is the natural active clinoptilolite zeolite. Pr(III)-EDTA/Zeolite use as catalyst for increasing the octane number of gasoline. The fabrication nanoparticle Pr(III)-EDTA result, characterized by *Transmission Electron Microscopic* (TEM).

TEM result indicate that the obtained nanoparticle have 5.8-28.6 nm in diameter and 149.8 in length. Initial surface area of zeolite is 30.9 m²/g and after modification with bulk crystal Pr(III)-EDTA the surface area is decreasing to 24.1 m²/g addition meanwhile with nanoparticle Pr(III)-EDTA has decrease the surface area to 9.9 m²/g, where this indicate that most of zeolite pores filled more by nanoparticle Pr(III)-EDTA than bulk crystal Pr(III)-EDTA.

XRF analysis shows that in catalyst with the active component nanoparticle Pr(III)-EDTA and bulk crystal Pr(III)-EDTA contain Pr(III) 0.4175% and 0.5236 % respectively. The result proved that clinoptilolite zeolite pores has filled more by nanoparticle active component.

The octane number measurement using octane meter SHATOX SX-200 give result the gasoline octane number increasing for bulk crystal Pr(III)-EDTA/zeolite catalyst and nanoparticle Pr(III)-EDTA/zeolite catalyst from 88.2 to 89.2 and 89.6 respectively or in the word it rise as much as 1 and 1.4. in another hand zeolite catalyst addition without modification increase octane number from 88.2 to 88.8 and rise as much as 0.6.

This octane number increasing cause of the raising percentage of iso-octane peak area and the reduction percentage of n-octane peak area in gasoline analyzed by GC-MS. It is likely being the causation of octane number increasing in gasoline. In conclusion, Pr(III)-EDTA catalyst can be used to increase octane number in gasoline with the activity in series nanoparticle Pr(III)-EDTA/zeolite catalyst, bulk crystal Pr(III)-EDTA/zeolite catalyst and zeolite catalyst.

Keywords : octane number gasoline; zeolite catalyst; praseodymium(III)-ethylene diamine tetra acetate

DAFTAR ISI

| | |
|--|--------|
| HALAMAN JUDUL..... | i |
| HALAMAN PERNYATAAN ORISINALITAS..... | ii |
| HALAMAN PENGESAHAN..... | iii |
| KATA PENGANTAR..... | iv |
| HALAMAN PERNYATAAN PERSETUJUAAN PUBLIKASI TUGAS AKHIR UNTUK KEPENTINGAN AKADEMIS..... | v |
| ABSTRAK | vi |
| ABSTRACT | vii |
| DAFTAR ISI | viii |
| DAFTAR GAMBAR | x |
| DAFTAR TABEL | xi |
| DAFTAR LAMPIRAN..... | xii |
| BAB 1 : PENDAHULUAN | 1 |
| 1.1 Latar Belakang | 1 |
| 1.2 Rumusan Masalah | 3 |
| 1.3 Tujuan Penelitian | 3 |
| 1.4 Batasan Masalah | 3 |
| 1.5 Sistematika Penelitian | 4 |
| BAB 2 : TINJAUAN PUSTAKA | 5 |
| 2.1 Praseodium | 5 |
| 2.1.1 Kompleks Praseodium(III)-EDTA | 6 |
| 2.1.2 <i>Ethylene Diamine Tetra Acetic Acid (EDTA)</i> | 7 |
| 2.2 Nanopartikel | 7 |
| 2.3 Fabrikasi Nanopartikel Lantanida Kompleks..... | 7 |
| 2.4 Zeolit | 8 |
| 2.4.1 Struktur Kerangka Zeolit | 8 |
| 2.4.2 Jenis-jenis Zeolit | 10 |
| 2.4.3 Sifat Zeolit | 12 |
| 2.4.4 Zeolit Klinoptilolit | 12 |
| 2.4.5 Pemanfaatan Zeolit | 13 |
| 2.5 Katalis | 13 |
| 2.5.1 Sifat-sifat Katalis | 14 |
| 2.5.2 Penggolongan Katalis | 14 |
| 2.6 Impregnasi Logam ke dalam Zeolit Sebagai Katalis | 15 |
| 2.7 Karakterisasi Zeolit Sebelum dan Sesudah Impregnasi..... | 16 |
| 2.8 <i>Gasoline</i> (Bensin)..... | 17 |
| 2.9 Bilangan Oktana (<i>Octane Number</i>)..... | 19 |
| BAB 3 : METODOLOGI PENELITIAN | 21 |
| 3.1 Tahapan Penelitian | 21 |
| 3.2 Alat dan Bahan | 23 |
| 3.3 Prosedur Penelitian | 24 |

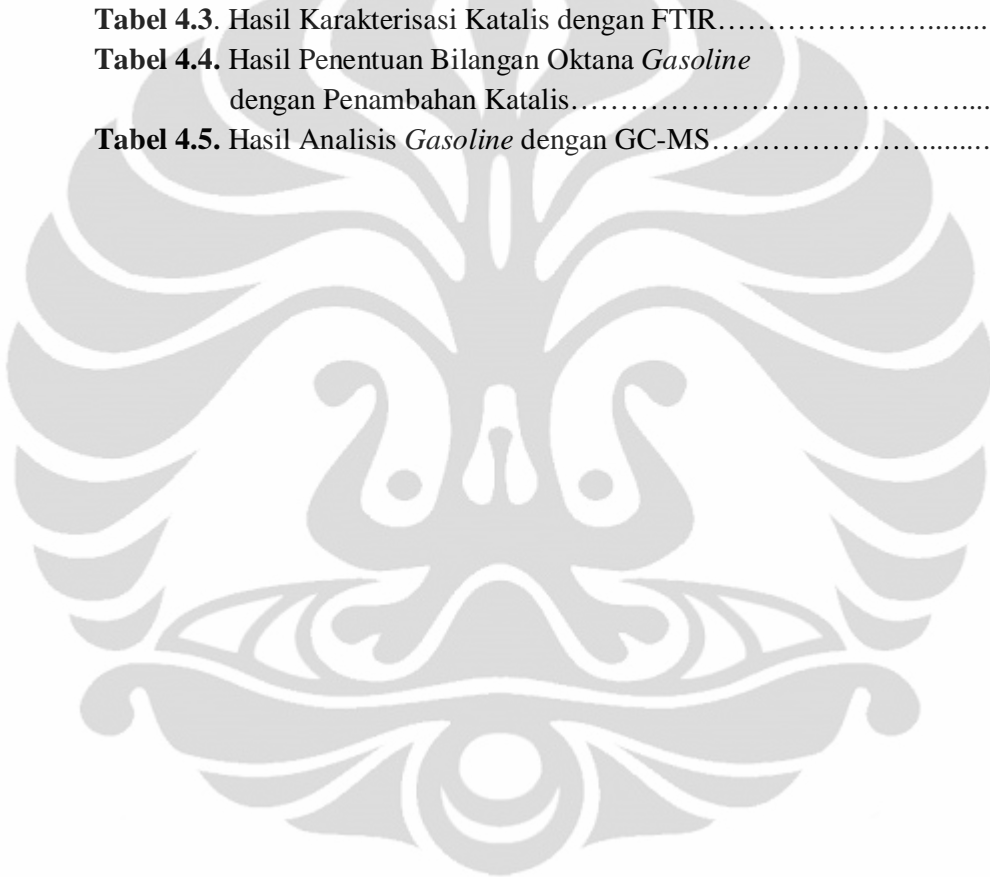
| | |
|--|--------|
| 3.3.1 Fabrikasi Nanopartikel Kompleks Praseodium(III)-EDTA..... | 24 |
| 3.3.2 Aktivasi Zeolit Alam Klinoptilolit..... | 26 |
| 3.3.3 Impregnasi Kristal Besar Kompleks Praseodium(III)-EDTA ke dalam Zeolit | 26 |
| 3.3.4 Impregnasi Nanopartikel Kompleks Praseodium(III)-EDTA ke dalam Zeolit | 28 |
| 3.3.5 Impregnasi Oksida Praseodium (Pr_6O_{11}) ke dalam zeolit..... | 30 |
| 3.3.6 Uji Aktivitas Peningkatan Bilangan Oktana Pada <i>Gasoline</i> | 32 |
| 3.4 Rancangan Percobaan dan Pengambilan Data | 33 |
| BAB 4 : HASIL DAN PEMBAHASAN..... | 34 |
| 4.1 Aktivasi Zeolit Alam..... | 34 |
| 4.2 Karakterisasi Namopartikel Pr(III)-EDTA dengan TEM..... | 35 |
| 4.3 Karakterisasi Katalis | |
| 4.3.1 Karakterisasi Katalis dengan XRF..... | 36 |
| 4.3.2 Karakterisasi Katalis dengan <i>Surface Area analyzer</i> (BET)..... | 38 |
| 4.3.3 Karakterisasi Katalis dengan XRD..... | 39 |
| 4.3.4 Karakterisasi Katalis dengan FTIR..... | 41 |
| 4.4 Uji Aktivitas Peningkatan Bilangan Oktana Pada <i>Gasoline</i> | 42 |
| 4.5 Analisis <i>Gasoline</i> Setelah Penambahan Katalis | |
| 4.5.1 Analisis <i>Gasoline</i> dengan FTIR..... | 44 |
| 4.5.2 Analisis <i>Gasoline</i> dengan GC-MS..... | 45 |
| BAB 5 : KESIMPULAN..... | 48 |
| DAFTAR REFERENSI | 50 |
| LAMPIRAN..... | 53 |

DAFTAR GAMBAR

| | |
|--|----|
| Gambar 2.1. Struktur Molekul EDTA | 7 |
| Gambar 2.2. Unit Pembangun Primer Zeolit | 9 |
| Gambar 2.3. Unit-unit Pembangun Sekunder Zeolit | 9 |
| Gambar 2.4. Struktur Zeolit Klinoptilolit..... | 13 |
| Gambar 3.1. Diagram Alir Penelitian | 22 |
| Gambar 3.2. Diagram Fabrikasi Nanopartikel Kompleks Pr(III)-EDTA..... | 25 |
| Gambar 3.3. Diagram Alir Cara Impregnasi Kristal Besar Kompleks Pr(III)-EDTA dan Karakterisasinya..... | 27 |
| Gambar 3.4. Diagram Alir Cara Impregnasi Nanopartikel Kompleks..... | 29 |
| Gambar 3.5. Diagram Alir Cara Impregnasi Oksida Praseodium dan Karakterisasinya..... | 31 |
| Gambar 3.6. <i>Portable Octane Meter SHATOX SX-200.....</i> | 32 |
| Gambar 4.1. Foto TEM Diameter Nanopartikel Pr(III)-EDTA | 35 |
| Gambar 4.2. Foto TEM Panjang Nanopartikel Pr(III)-EDTA..... | 36 |
| Gambar 4.3. Ilustrasi Impregnasi Pr(III)-EDTA pada rongga zeolit klinoptilolit..... | 38 |
| Gambar 4.4. Spektrum FTIR Katalis Zeolit, Katalis Kristal Besar Pr(III)-EDTA,Katalis Nanopartikel Pr(III)-EDTA..... | 40 |
| Gambar 4.5. Difraktogram XRD Katalis Zeolit, Katalis Kristal Besar..... | 42 |
| Gambar 4.6. Spektrum FTIR <i>Gasoline</i> Sebelum Penambahan Katalis dan Sesudah Penambahan Katalis Kristal Besar..... | 45 |
| Gambar 4.7. Reksi Konversi n-Oktana Menjadi Isooktana..... | 46 |

DAFTAR TABEL

| | |
|---|----|
| Tabel 2.1. Aplikasi Logam Lantanida..... | 6 |
| Tabel 2.2. Klasifikasi Zeolit..... | 20 |
| Tabel 2.3. Spesifikasi <i>Gasoline</i> dengan Bilangan Oktana 88..... | 20 |
| Tabel 4.1. Hasil Karakterisasi Katalis dengan XRF..... | 37 |
| Tabel 4.2. Hasil Karakterisasi dengan alat <i>Surface Area Analyzer</i> | 38 |
| Tabel 4.3. Hasil Karakterisasi Katalis dengan FTIR..... | 40 |
| Tabel 4.4. Hasil Penentuan Bilangan Oktana <i>Gasoline</i> dengan Penambahan Katalis..... | 43 |
| Tabel 4.5. Hasil Analisis <i>Gasoline</i> dengan GC-MS..... | 47 |



DAFTAR LAMPIRAN

| | |
|--|----|
| Lampiran 1. Data Perhitungan..... | 53 |
| Lampiran 2. Hasil Karakterisasi Katalis Zeolit dengan Surface Area Analyzer (BET)..... | 54 |
| Lampiran 3. Hasil Karakterisasi Katalis Kristal Besar Pr(III)-EDTA/Zeolit dengan Surface Area Analyzer (BET)..... | 55 |
| Lampiran 4. Hasil Karakterisasi Katalis Nanopartikel Pr(III)-EDTA/Zeolit dengan Surface Area Analyzer (BET)..... | 56 |
| Lampiran 5. Spektrum FT-IR Katalis Zeolit..... | 57 |
| Lampiran 6. Spektrum FT-IR Katalis Kristal Besar Pr(III)-EDTA/Zeolit..... | 58 |
| Lampiran 7. Spektrum FT-IR Katalis Nanopartikel Pr(III)-EDTA/Zeolit..... | 59 |
| Lampiran 8. Difraktogram XRD Katalis Zeolit..... | 60 |
| Lampiran 9. Difraktogram XRD Katalis Kristal Besar Pr(III)-EDTA/Zeolit..... | 61 |
| Lampiran 10. Difraktogram XRD Katalis Nanopartikel Pr(III)-EDTA/Zeolit..... | 62 |
| Lampiran 11. Spektrum FT-IR Gasoline Sebelum dan Sesudah Penambahan Katalis..... | 63 |
| Lampiran 12. Kromatogram GC-MS <i>Gasoline</i> | 64 |
| Lampiran 13. Kromatogram GC-MS <i>Gasoline</i> + Katalis Zeolit..... | 67 |
| Lampiran 14. Kromatogram GC-MS <i>Gasoline</i> + Katalis Kristal Besar Pr(III)-EDTA/Zeolit..... | 70 |
| Lampiran 15. Kromatogram GC-MS <i>Gasoline</i> + Katalis Nanopartikel Pr(III)-EDTA/Zeolit..... | 73 |

BAB 1

PENDAHULUAN

1.1. Latar Belakang

Penelitian dan pengembangan katalis sangat menarik untuk dilakukan mengingat semakin besarnya permintaan. Salah satu cara tersebut adalah dengan memilih komponen dan komposisi katalis yang tepat. Fungsi katalis sangat dipengaruhi oleh morfologi, komposisi, distribusi ukuran pori, volume pori, struktur, dan luas permukaannya.

Lantanida (elemen tanah jarang/*earth rare*) dalam bentuk oksida dan kompleksnya telah digunakan sebagai katalis sejak beberapa tahun yang lalu, misalnya untuk reaksi oksidasi dan atau pembakaran, isomerisasi, dehidrogenasi, dehidrasi, reaksi sintetik gas ($\text{CO}-\text{H}_2$), pengontrol sulfur oksida, metanasi karbon oksida, reaksi Diels-Alder dan polimerisasi olefin. [Kilbourn, 1986].

Praseodium (Pr-III) termasuk dalam kelompok logam lantanida. Sifat yang menarik dari kompleks lantanida dapat dipelajari jika kita bisa membuat kompleks $\text{Ln}(\text{III})$ ke dalam bentuk nanopartikel dari kompleks lantanida yang mempunyai efisiensi lebih tinggi daripada dalam bentuk kristal besar (*bulk crystal*) seperti yang telah dilaporkan Kusrini dan Saleh [Kusrini *et al.*, 2009 ; Saleh *et al.*, 2005].

Pada penelitian ini akan dibuat katalis berbasis kompleks praseodium dengan cara mengimpregnaskan kristal besar (*bulk crystal*) kompleks Pr(III)-EDTA dan nanopartikel kompleks Pr(III)-EDTA masing-masing ke dalam zeolit dan selanjutnya katalis tersebut dikarakterisasi untuk mengetahui sifat-sifatnya. Fabrikasi kompleks lantanida dalam bentuk Gd(III) dengan ligand EDTA dengan metode hidrotermal sudah dilaporkan sebelumnya [Kusrini *et al.*, 2010].

Gasoline yang dijual dipasaran merupakan campuran sejumlah produk yang dihasilkan dari berbagai proses. Melalui proses pencampuran (*blending*) tersebut maka sifat dari bahan bakar dapat diatur untuk memberikan karakteristik operasi seperti yang diinginkan. Salah satu sifat yang harus dippunyai dari *gasoline* adalah bilangan oktana (*Octane number*) dari bahan bakar tersebut.

Bilangan oktana *gasoline* dapat ditingkatkan dengan menambahkan TEL (*Tetra Ethyl Lead*) namun setelah beberapa waktu dipakai, para peneliti menemukan kelemahan TEL yaitu dapat menimbulkan emisi bahan bakar yang membahayakan kesehatan manusia. Banyak penelitian dilakukan untuk menemukan bahan yang dapat menaikkan bilangan oktana pada *gasoline* sebagai pengganti TEL [Khaeruddin *et al.*, 2007].

Setelah itu dikembangkan beberapa penelitian tentang bahan yang dapat meningkatkan bilangan oktana serta dapat memenuhi standar emisi. Bahan yang ditemukan adalah metanol dan etanol. Metanol dapat memberikan hasil yang lebih baik dibandingkan etanol dalam hal bilangan oktana namun metanol tidak dapat dipakai karena sifatnya yang korosif sehingga berbahaya bagi mesin. Etanol adalah bahan yang ramah lingkungan karena tidak mengeluarkan emisi gas racun. Pembuatan etanol, atau yang lebih sering disebut alkohol dalam perdagangan, sebagai bahan yang ditambahkan untuk meningkatkan bilangan oktana pada bahan bakar tidak jarang disalahgunakan menjadi minuman. Penyebabnya, harga jual etanol sebagai minuman lebih tinggi dibandingkan harga jual etanol sebagai bahan tambahan untuk meningkatkan bilangan oktana pada *gasoline*.

Nanomaterial dapat bertindak sebagai katalis laju pembakaran karena ketika ditambahkan kedalam bahan bakar cair dapat mempercepat pembakaran. Sebagai contoh nanopartikel dari lantanida CeO₂ yang telah diuji ditambahkan pada bahan bakar untuk meningkatkan laju pembakaran [Guzman *et al.*, 2006].

Oleh karena itu, pada penelitian awal ini akan dibuat bahan yang dapat meningkatkan bilangan oktana pada *gasoline* yaitu dengan membuat katalis kristal besar dan nanopartikel Praseodium(III)-EDTA yang diimpregnaskan ke dalam zeolit klinoptilolit yang kemudian ditambahkan ke dalam *gasoline* untuk meningkatkan bilangan oktana *gasoline*.

1.2. Rumusan Masalah

Pembentukan nanopartikel Praseodium(III)-EDTA dan impregnasi nanopartikel dan kristal besar Praseodium(III)-EDTA yang selanjutnya perbandingan hasil karakterisasi antara katalis kristal besar Praseodium(III)-EDTA/zeolit dengan nanopartikel kompleks Praseodium(III)-EDTA/zeolit serta uji aktivitasnya dalam meningkatkan bilangan oktana pada *gasoline*.

1.3. Tujuan Penelitian

Tujuan penelitian ini adalah sebagai berikut :

1. Menghasilkan nanopartikel kompleks Pr(III)-EDTA dengan metode represipitasi dan penguapan.
2. Memperoleh katalis kompleks praseodium dalam bentuk kristal besar (*bulk crystal*) Pr(III)-EDTA dan katalis nanopartikel Pr(III)-EDTA ke dalam zeolit dengan metode impregnasi.
3. Mengetahui hasil karakterisasi dari katalis kompleks praseodium dalam bentuk kristal besar (*bulk crystal*) Pr(III)-EDTA dan katalis nanopartikel Pr(III)-EDTA ke dalam zeolit.
4. Mengetahui hasil uji aktivitas kedua katalis diatas untuk meningkatkan bilangan oktana (*Octane Number*) pada *gasoline*.

1.4. Batasan Masalah

Ruang lingkup permasalahan dalam penelitian ini adalah :

1. Menfabrikasi nanopartikel kompleks Pr(III)-EDTA.
2. Karakterisasi nanopartikel kompleks Pr(III)-EDTA dianalisis dengan *Transmission Electron Microscopic* (TEM).
3. Impregnasi kristal besar Pr(III)-EDTA dan nanopartikel Pr(III)-EDTA ke dalam zeolit klinoptilolit.
4. Karakterisasi katalis kristal besar (*bulk crsytal*) kompleks Pr(III)-EDTA dan nanopartikel Pr(III)-EDTA yang telah diimpregnasikan ke dalam zeolit akan dianalisis dengan *Surface Area Analyzer* (BET) untuk mengetahui luas

permukaan, volume pori dan ukuran pori katalis, *X-Ray Fluoresen* (XRF) untuk mengetahui komposisi unsur katalis, *X-Ray Diffraction* (XRD) untuk mengetahui struktur katalis, dan *Fourier Transform Infrared* (FTIR) untuk mengetahui gugus ikatan dari katalis.

5. Karakterisasi *gasoline* setelah penambahan katalis dengan *Fourier Transform Infrared* (FTIR) dan *Gas Chromatography-Mass Spectrometry* (GC-MS).

1.5. Sistematika Penulisan

Sistematika penulisan terdiri atas :

BAB 1 PENDAHULUAN

berisi pendahuluan yang terdiri atas latar belakang, rumusan masalah, tujuan penelitian, batasan masalah dan sistematika tulisan.

BAB 2 TINJAUAN PUSTAKA

berisi tentang informasi dan teori-teori yang mendukung penelitian.

BAB 3 METODOLOGI

berisi tentang diagram alir penelitian, peralatan, bahan dan prosedur yang digunakan dalam penelitian.

BAB 4 HASIL DAN PEMBAHASAN

berisi tentang hasil penelitian dan analisis terhadap hasil penelitian tersebut.

BAB 5 KESIMPULAN

berisi tentang kesimpulan penelitian.

BAB 2

TINJAUAN PUSTAKA

2.1. Praseodiumium

Praseodiumium Pr(III) termasuk dalam kelompok logam lantanida dengan nomor atom 59. Lantanida adalah kelompok unsur kimia yang terdiri atas 15 unsur, mulai lantanum (La) sampai lutetium (Lu) pada tabel periodik, dengan nomor atom 57 sampai 71. Dalam bahasa Yunani, lantanida mempunyai arti “saya bersembunyi” karena unsur-unsur yang termasuk lantanida ditemukan tidak berada sendiri melainkan melekat atau bersembunyi pada unsur lain. Misalnya Cerium (Ce) terdapat di kerak bumi dan Neodium (Nd) terdapat pada bongkahan emas.

Secara kimiawi, jari-jari atom unsur-unsur lantanida dari no 57 sampai dengan 71 mengalami penurunan, artinya semakin besar nomor atom maka semakin pendek jari-jari atom. Fenomena penurunan jari-jari atom ini sebetulnya terjadi pada semua unsur-unsur kimia dalam satu deret Periodik. Namun demikian, untuk golongan lantanida hal ini menjadi penting dan dinamakan *kontraksi lantanida*. Kontraksi lantanida ini bertanggung jawab terhadap sifat kekerasan, kerapatan dan titik lebur unsur-unsur lantanida. Artinya penurunan jari-jari atom menyebabkan atom menjadi lebih rapat, padat dan meningkat titik leburnya. Berdasarkan sifat-sifat lantanida tersebut maka lantanida dapat dimanfaatkan dalam beberapa aplikasi, seperti pada tabel 2.1 dibawah ini.

Tabel 2.1. Aplikasi Logam Lantanida

| Unsur Lantanida | Aplikasi | Pertumbuhan Pemakaian (%) |
|-------------------------------|---------------------|----------------------------------|
| Ce, La, Nd | Auto Katalis | 45 |
| La, Ce, Pr, Nd | Katalis Perengkahan | 25 |
| Nd, Pr, Dy, Tb, Sm | Magnet | 12 |
| Ce, La, Pr | Serbuk Pengkilap | 7 |
| Ce, La, Nd, Er, Gd, Yb | Metalurgi | 7 |
| Eu, Y, Tb, La, Dy, Ce, Pr, Gd | Posfor | 3 |
| Er, Ho | Lain-lain | 1 |

[Aspinall, 2001]

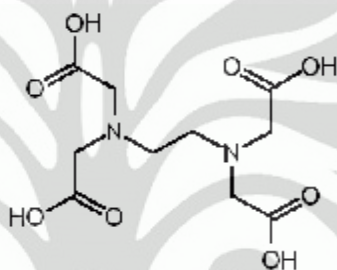
2.1.1. Kompleks Praseodium(III)-EDTA

Ion kompleks pada umumnya terbentuk dari kation logam yang terikat langsung pada beberapa anion atau molekul netral. Ion logam disebut ion pusat, sedangkan anion atau molekul netral yang terikat dengan ion pusat disebut ligan. Dengan kata lain ion kompleks terdiri atas ion pusat dan dikelilingi oleh ligan [Roccky, 2007].

Pada kompleks praseodium(III)-EDTA, $[\text{NaPr}(\text{EDTA})(\text{H}_2\text{O})_5]_n \cdot 3\text{H}_2\text{O}$, ligan EDTA bertindak sebagai ligan heksadentat terhadap ion Pr(III) dan bidentat terhadap ion Na(I). Jumlah koordinasi Pr(III) ada sembilan dan koordinasinya dilengkapi dengan tiga molekul air, empat atom oksigen karboksilat, dan dua nitrogen amina dari satu ligan EDTA. Ligan EDTA (*Ethylene Diamine Tetra Acetate*) memiliki kemampuan untuk berkoordinasi dengan ion Ln(III) dalam bentuk heksadentat atau tetradentat. EDTA $[\text{CH}_2\text{N}(\text{CH}_2\text{COOH})_2]_2$ memiliki sepuluh atom yang berpotensi sebagai donor atom (delapan atom oksigen dan dua atom hidrogen) [Christopoulos, 1992]. Sintesis kompleks lantanida dalam bentuk Gd(III) dengan ligan EDTA $[\text{NaGd}(\text{EDTA})(\text{H}_2\text{O})_5]_n \cdot 3\text{H}_2\text{O}$ dengan metode hidrotermal sudah dilaporkan sebelumnya [Kusrini *et al.*, 2010].

2.1.2. Ethylene Diamine Tetra Acetic Acid (EDTA)

EDTA merupakan asam poliprotik yang terdiri atas empat gugus asam karboksilat dan dua gugus amina dengan pasangan elektron bebas. Rumus molekul senyawa ini adalah $[CH_2N(CH_2COOH)_2]_2$ [Roccky, 2007]. EDTA memiliki kemampuan untuk membentuk kompleks dengan ion logam. EDTA yang terdeprotonasi dapat mengikat ion logam. Berikut ini adalah gambar struktur molekul EDTA.



Gambar 2.1.Struktur molekul EDTA

Sumber : http://commons.wikimedia.org/wiki/File:Edta_structure

2.2. Nanopartikel

Nanopartikel adalah sebuah partikel mikroskopis berukuran nanometer (ukuran 1 – 100 nm). Nanopartikel menarik perhatian dibidang ilmiah, karena peranannya sebagai jembatan antara material “bulk” dan struktur atomik (molekular).

2.3. Fabrikasi Nanopartikel Kompleks

Ada beberapa laporan tentang metode fabrikasi untuk membuat nanopartikel dan mikrokristal pada senyawa organik dan anorganik, termasuk represipitasi (pengendapan kembali) yang didasarkan pada besarnya kecilnya kelarutan senyawa organik dalam pelarut yang berbeda [Oikawa *et al.*, 2000]. Namun demikian, metode fabrikasi untuk mempersiapkan nanopartikel dan mikrokristal dari kompleks logam berat kurang dipelajari, sehingga untuk itu diperlukan upaya-upaya ekstra. Permasalahan ini menjadi penting, karena kita

telah menemukan fabrikasi kompleks lantanida dengan satu reaksi pada tahun-tahun terakhir ini [Kusrini *et al.*, 2009 ; Saleh *et al.*, 2005]. Penemuan nanosains (*nano science*) dan nanoteknologi membuka pandangan baru untuk aplikasi nanopartikel atau mikrokristal dalam berbagai bidang.

2.4. Zeolit

Zeolit pertama kali ditemukan oleh Frieherr Axel Cronstedt, seorang ahli mineralogi dari Swedia tahun 1756. Istilah zeolit berasal dari bahasa Yunani “zein” yang berarti membuih dan “lithos” yang berarti batu. Nama ini sesuai dengan sifat zeolit yang membuih jika dipanaskan [Windsor, 1998].

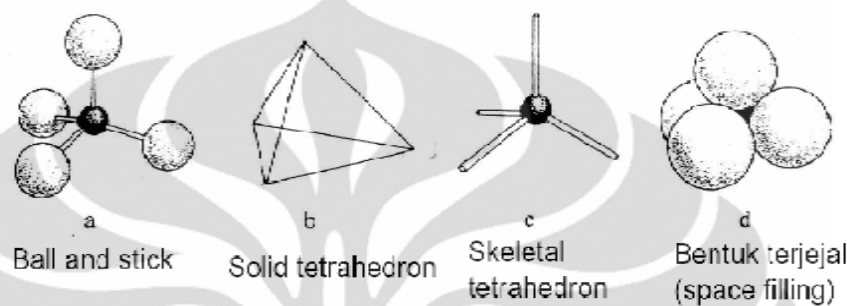
2.4.1. Struktur Kerangka Zeolit

Zeolit memiliki struktur alumina silikat yang memiliki rongga. Kerangka dari struktur zeolit terdiri atas unit-unit tetrahedral SiO_4 dan AlO_4 yang dihubungkan dengan penggunaan bersama atom oksigen dan atom oksigen ini berfungsi sebagai jembatan kedua tetrahedral SiO_4 dan AlO_4 . Muatan elektron antara SiO_4 dan AlO_4 berbeda satu muatan. Di dalam struktur zeolit, atom Si bervalensi empat, sedangkan atom Al bervalensi tiga atau muatan elektron SiO_4 berbeda satu muatan dengan muatan AlO_4 , sehingga untuk menyeimbangkan muatan tersebut masuklah kation-kation logam alkali tanah di dalam rongga-rongganya, seperti Na^+ , K^+ , Ca^+ , dan Ba^+ . Kation ini dapat bergerak bebas karena terikat kurang kuat di dalam pusat rongga dan tidak terikat pada posisi yang tetap, serta dapat ditukar dengan kation lain bermuatan sama.

Inti dari struktur zeolit adalah kerangka alumina silikat. Selain itu kerangka ini juga yang menentukan tipe struktur zeolit serta merupakan bagian yang paling stabil. Kerangka alumina silikat pada zeolit tersusun atas 3 unit pembangun, yaitu :

1. Unit pembangun primer

Unit ini merupakan tetrahedral dengan rumus SiO_4 dan AlO_4 , dengan atom Si/Al terletak pada pusat tetrahedral dan atom O pada ke empat sudut tetrahedralnya. Berikut ini adalah gambar unit-unit pembangun primer zeolit.



Gambar 2.2. Unit pembangun primer zeolit

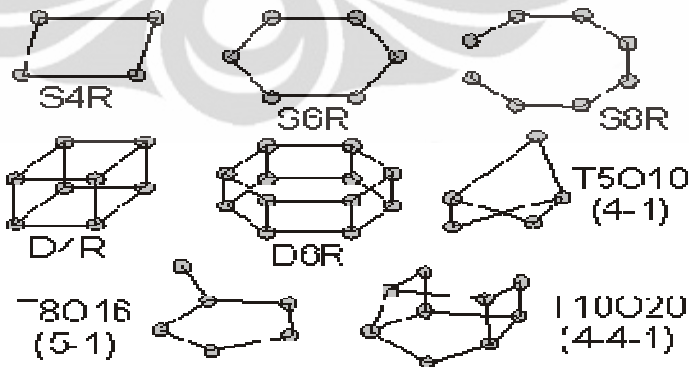
Sumber : <http://www.batan.go.id/ptlr/artikel/zeolit.html>

2. Unit pembangun sekunder

Unit ini merupakan struktur yang terbentuk bila unit pembangun primer tadi saling berhubungan. Ada dua jenis pembangun sekunder yaitu :

- Single ring, yaitu S4R, S6R, S8R, S10R, S12R
- Double ring, yaitu D4R, D6R, D8R
- Complex ring, yaitu 4-1, 5-1, 4-4-1

Berikut ini adalah gambar unit-unit pembangun sekunder zeolit.



Gambar 2.3. Unit-unit pembangun sekunder zeolit

(Sumber : <http://www.batan.go.id/ptlr/artikel/zeolit.html>)

3. Unit-unit polihedral simetris

Unit-unit pembangun sekunder saling berhubungan membentuk suatu polihedral yang merupakan struktur kristal zeolit. Di dalam struktur zeolit, beberapa Si^{4+} diganti dengan Al^{3+} sehingga keseluruhan bernilai negatif; untuk menetralkannya diperlukan kation alkali/alkali tanah yang terikat secara tidak kuat di dalam pusat rongga. Kation-kation tersebut tidak terikat pada posisi yang tetap melainkan dapat bergerak bebas dalam rongga zeolit sehingga kation tersebut dapat digantikan oleh kation lain tanpa merusak struktur zeolit. Karena molekul air juga dapat bergerak bebas dalam rongga, maka zeolit dapat menyerap air secara reversibel.

2.4.2. Jenis-jenis Zeolit

Berdasarkan proses pembentukannya zeolit diklasifikasikan menjadi dua jenis, yaitu:

a. Zeolit Alam

Zeolit alam merupakan zeolit yang terbentuk karena proses alam, biasanya ditemukan dalam sedimen sebagai hasil alterasi debu-debu vulkanik yang mengandung Si. Dalam proses sedimentasi tersebut mineral-mineral lain, seperti felspar dan kuarsa juga ikut tercampur, sehingga membentuk kompleks zeolit yang tidak teratur dan tidak seragam. Karena ketidak teraturan inilah sampai awal tahun 1940 usaha untuk membuat zeolit dilakukan oleh ahli mineral yang tertarik dengan kestabilan zeolit dengan mineral lainnya. Union Carbide mengawali sintesis zeolit sebagai *molecular sieve*, dengan riset dalam bidang adsorpsi untuk pemurnian, pemisahan dan digunakan katalis [Krisnandi *et al.*, 2006].

Saat ini lebih dari 40 jenis zeolit alam telah ditemukan. Dari jumlah tersebut hanya 20 jenis yang terdapat dalam batuan sedimen, terutama sedimen piroklastik. Beberapa nama spesies tersebut diantaranya terdapat dalam Tabel 2.2 berikut.

Tabel 2.2. Klasifikasi zeolit

| Zeolit | Rumus kimia |
|-----------------------|--|
| Grup Analsim | |
| Analsim | $\text{Na}_{16}[\text{Al}_{16}\text{Si}_{31}\text{O}_{96}]6\text{H}_2\text{O}$ |
| Wairakit | $\text{Ca}_8[\text{Al}_{16}\text{Si}_{31}\text{O}_{96}] 6\text{H}_2\text{O}$ |
| Grup Natrolit | |
| Natrolit | $\text{Na}_{16}[\text{Al}_{16}\text{Si}_{24}\text{O}_{80}]6 \text{H}_2\text{O}$ |
| Thomsonit | $\text{Na}_{16}\text{Ca}_8[\text{Al}_{20}\text{Si}_{20}\text{O}_{80}]24 \text{H}_2\text{O}$ |
| Grup Heulandit | |
| Heulandit | $\text{Ca}_4[\text{Al}_8\text{Si}_{28}\text{O}_{72}] 24\text{H}_2\text{O}$ |
| Klinoptilolit | $\text{Na}_6[\text{Al}_6\text{Si}_{30}\text{O}_{72}]24 \text{H}_2\text{O}$ |
| Grup Filipsit | |
| Filipsit | $\text{K}_2\text{Ca}_{1.5}[\text{Al}_{16}\text{Si}_{10}\text{O}_{32}]12\text{H}_2\text{O}$ |
| Zeolit Na-P-1 | $\text{Na}_8[\text{Al}_{31}\text{SiO}_{16}] 16\text{H}_2\text{O}$ |
| Grup Mordernit | |
| Mordernit | $\text{Na}_8[\text{Al}_8\text{Si}_{40}\text{O}_{96}]24 \text{H}_2\text{O}$ |
| Ferrierit | $\text{NaCa}_{0.5}\text{Mg}_2[\text{Al}_6\text{Si}_{30}\text{O}_{72}]24 \text{H}_2\text{O}$ |
| Grup Kabazit | |
| Kabazit | $\text{Ca}_2[\text{Al}_4\text{Si}_8\text{O}_{24}] 13\text{H}_2\text{O}$ |
| Zeolit L | $\text{K}_6\text{Na}_3[\text{Al}_9\text{Si}_{27}\text{O}_{72}] 21\text{H}_2\text{O}$ |
| Grup Faujasit | |
| Faujasit | $\text{Na}_{12}\text{Ca}_{12}\text{Mg}_{11}[\text{Al}_{58}\text{Si}_{134}\text{O}_{384}]235\text{H}_2\text{O}$ |
| Zeolit A | $\text{Na}_{12}[\text{Al}_{12}\text{Si}_{12}\text{O}_{48}] 27 \text{H}_2\text{O}$ |
| Grup Laumontit | |
| Laumontit | $\text{Ca}_4[\text{Al}_8\text{Si}_{16}\text{O}_{46}] 16\text{H}_2\text{O}$ |
| Grup Pentasil | |
| ZSM-5 | $\text{Na}_n[\text{Al}_n\text{Si}_{96}\text{O}_{192}] 16 \text{H}_2\text{O}$ |

Sumber : <http://www.batan.go.id/ptlr/artikel/zeolit.html>

b. Zeolit Sintetik

Zeolit sintetik dapat dibuat pada kondisi hidrotermal. Sistem hidrotermal merupakan sistem tertutup dengan memakai air sebagai pelarut, sehingga menghasilkan tekanan uap air pada sistem tersebut. Zeolit merupakan mineral alumina silikat terhidrat yang dapat mengikat molekul air secara reversibel.

Kerangka dasar struktur zeolit dibentuk oleh satuan-satuan tetrahedral SiO_4^{4-} dan AlO_4^{5-} berstruktur tiga dimensi membentuk rongga dan saluran-saluran berdimensi molekular yang saling berhubungan satu sama lain melalui penggunaan bersama atom oksigen ujung [Krisnandi *et al.*, 2006].

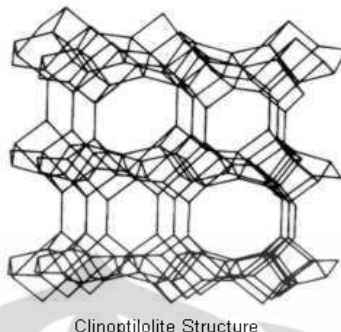
2.4.3. Sifat Zeolit

Struktur dan komposisi zeolit menjadikan zeolit sebagai padatan yang memiliki sifat-sifat yang sangat unik, diantaranya adalah :

- a. Sangat berpori, karena kristal zeolit sebenarnya merupakan kerangka yang terbentuk dari jaringan tetrahedral SiO_4 dan AlO_4 .
- b. Pori-porinya berukuran molekul, karena pori-pori zeolit terbentuk dari tumpukan cincin beranggotakan 6, 8, 10 atau 12 tetrahedral.
- c. Kationnya dapat dipertukarkan, karena perbedaan muatan Si^{4+} dan Al^{3+} menjadikan atom Al dalam kerangka kristal bermuatan negatif dan membutuhkan kation penetrat. Kation penetrat yang bukan bagian kerangka primer ini dapat diganti dengan kation lainnya.

2.4.4. Zeolit Klinoptilolit

Pada penelitian ini digunakan zeolit alam jenis klinoptilolit yang berasal dari Bayah, Banten dan diperoleh dari CV. Trasindo Utama. Zeolit klinoptilolit merupakan zeolit alam yang terbentuk karena sedimentasi vulkanik pada lingkungan danau dan perairan yang bersifat alkali selama jutaan tahun. Klinoptilolit termasuk jenis zeolit alam yang kaya akan silika dengan perbandingan komposisi Si/Al antara 7 sampai 18. Klinoptilolit mempunyai kerangka struktur unit tetrahedral $[\text{SiO}_4]^{4-}$ dan $[\text{AlO}_4]^{5-}$ dengan rumus molekul $\text{Na}_6[\text{Al}_6\text{Si}_{30}\text{O}_{72}].24\text{H}_2\text{O}$. Penggunaan zeolit klinoptilolit sebagai bahan penyangga telah dilaporkan pada impregnasi nanopartikel Au pada zeolit klinoptilolit termodifikasi ligan sebagai absorben ion Pb(III) [Komalasari, 2009].



Gambar 2.4 Struktur Zeolit Klinoptilolit

Sumber : <http://www.batan.go.id/ptlr/artikel/zeolit.html>

2.4.5. Pemanfaatan Zeolit

Zeolit alam sebenarnya telah lama dikenal dan digunakan, namun hanya terbatas sebagai bahan bangunan. Sekitar 30 tahun terakhir, kegunaan zeolit dalam berbagai keperluan baru diketahui setelah kandungan mineralnya dapat di analisis secara rinci dengan menggunakan XRF.

Selain itu zeolit digunakan pula pada sektor pertanian, peternakan, perikanan, industri minyak, dan pengontrolan polusi. Sekitar 10 tahun terakhir kedudukan zeolit telah berubah dari yang hampir tidak memiliki nilai ekonomis menjadi bahan galian yang ekonomis untuk dikembangkan.

Selain itu penggunaan zeolit pada umumnya didasarkan pada sifat kimia dan fisikanya, seperti sebagai penyerap, penukar kation, dan katalis. Pada saat ini penggunaan zeolit adalah sebagai katalis baik di industri perminyakan maupun di industri kimia lainnya.

2.5. Katalis

Katalis adalah suatu zat yang mengakibatkan reaksi menjadi lebih cepat mencapai kesetimbangan. Katalis tidak akan mengubah nilai tetapan kesetimbangan dan tidak mengalami perubahan apapun tetapi katalis berperan dalam menurunkan energi aktifasi. Dengan penurunan energi aktifasi ini maka energi minimum yang dibutuhkan untuk terjadinya tumbukan berkurang sehingga terjadinya reaksi dipercepat. [Cotton *et al.*, 1989].

2.5.1. Sifat-sifat Katalis

Katalis pada umumnya mempunyai sifat-sifat sebagai berikut [Leach, 1983].

a. Aktifitas

Keaktifan katalis didefinisikan sebagai kemampuan dari katalis untuk dapat mengubah bahan baku menjadi produk yang dikehendaki. Keaktifan katalis didapat dari kombinasi bahan kimia dan bahan mineralogi, sehingga dapat diketahui katalis tersebut aktif dalam melakukan proses katalis yang dibuktikan dengan dihasilkannya produk baru yang dikehendaki.

b. Stabilitas

Stabil dalam arti mempunyai kemampuan menghadapi racun-racun yang mungkin dapat merusak kinerja dan penampakan dari katalis itu sendiri.

c. Selektifitas

Selektifitas didefinisikan sebagai kemampuan katalis dalam menghasilkan produk yang sesuai dengan yang dikehendaki. Hal ini karena satu zat yang berperan dalam salah satu proses dapat juga menjadi penghambat pada proses lainnya, sehingga perlu diteliti setiap material yang akan digunakan sebagai katalis.

d. Umur

Umur katalis mempunyai pengertian rentang waktu bagi katalis untuk bertahan pada level yang mencukupi sesuai kinerja katalis yang diinginkan.

e. Regenerasi

Sifat mudah diregenerasi harus dimiliki oleh katalis sehingga pada saat katalis dioperasikan gangguan yang terjadi dapat diminimumkan.

f. Kekuatan mekanik

Kekuatan mekanik merupakan kondisi yang harus dimiliki katalis sehingga bila proses menghendaki tekanan dan temperatur tinggi, katalis itu dapat digunakan.

2.5.2. Penggolongan Katalis

Katalis dapat digolongkan berdasarkan fasa katalis, reaktan dan produk hasil reaksi, contohnya katalis homogen dan katalis heterogen. Penggolongan katalis berdasarkan fasa katalis adalah :

- a. Katalis homogen yaitu,

katalis yang berfase sama dengan reaktannya. Katalis ini memiliki aktivitas dan selektivitas yang tinggi karena setiap molekul katalis bersifat aktif sebagai katalis yang tidak mudah teracuni oleh adanya sedikit kotoran.

- b. Katalis heterogen yaitu,

katalis yang berbeda fasa dengan reaktan dan produk reaksinya. Memiliki pusat aktif yang tidak seragam dan tidak semua bagian permukaan padatannya berfungsi sebagai pusat aktif. Pusat aktif katalis heterogen berada pada permukaan pori-pori padatan.

Berdasarkan tipe reaksi, katalis digolongkan menjadi :

- c. Katalis oksidasi-reduksi yaitu,

katalis yang membentuk “senyawa antara” dengan reaktan melalui proses pemutusan ikatan dua elektron reaktan dan penggabungan elektron yang tidak berpasangan di dalam katalis. Contoh katalis logam dan oksida.

- d. Katalis asam-basa yaitu,

katalis yang senyawa antaranya terjadi akibat terbentuknya ikatan kovalen antara katalis dan reaktan. Contohnya adalah silika alumina dan zeolit. Katalis ini tidak mempunyai kemampuan memindahkan elektron karena itu tidak aktif secara redoks.

Zeolit termasuk dalam katalis heterogen. Zeolit merupakan katalisator yang baik karena mempunyai luas permukaan dan pori yang besar. Ciri khusus zeolit yaitu adanya ruang kosong yang membentuk saluran di dalam strukturnya. Bila zeolit digunakan sebagai katalis maka akan terjadi difusi molekul ke dalam ruang bebas antar kristal dan reaksi kimia terjadi di dalam permukaan saluran tersebut.

2.6. Impregnasi Logam ke dalam Zeolit

Impregnasi logam pada suatu katalis padat akan menambah sisi aktif katalis tersebut [Atkins, 1994]. Zeolit sebagai bahan penyangga yang kemudian diimpregnasi dengan komponen aktif berupa logam lantanida sudah dilaporkan sebelumnya yaitu impregnasi La dan Ce pada zeolit LZY-84 1/16" serta uji katalis pada perengkahan katalitik gas oil [Ardhyarini, 2003]

2.7. Karakterisasi Zeolit Sebelum dan Sesudah Impregnasi

Karakterisasi zeolit sebelum dan sesudah impregnasi dengan komponen aktif bertujuan untuk mengetahui apakah komponen aktif berupa logam tersebut terimpregnasi dengan baik ke dalam struktur zeolit dan juga untuk mengetahui pengaruhnya terhadap luas permukaan zeolit dengan cara membandingkannya dengan kondisi awal zeolit sebelum diimpregnasi [Ardhyarini, 2003].

Katalis yang telah dibuat perlu diuji apakah struktur katalis tersebut sudah sesuai dengan struktur yang diinginkan atau desain apa tidak. Struktur katalis ini secara ilmiah didesain berdasarkan kinerja yang diharapkan pada saat penggunaan katalis. Jika sudah sesuai maka proses pembuatan katalis disebut berhasil, namun sebaliknya jika tidak sesuai maka katalis tersebut perlu penanganan lebih lanjut atau dirubah teknik atau proses pembuatannya. Pengujian katalis ini biasa disebut karakterisasi. Bagian yang paling penting dalam karakterisasi katalis adalah pemilihan metode karakterisasi katalis yang tepat. Pada dasarnya semua metode karakterisasi katalis adalah bermanfaat. Metode karakterisasi katalis dipilih sedemikian rupa berpedoman pada beberapa hal berikut yang menjadi pertimbangan:

- Sesuai aplikasinya untuk katalis nyata
- Kemudahan akses bahan dan peralatan
- Luas cakupan pengaplikasiannya
- Lebih informatif untuk aspek-aspek katalis

Tentunya pemilihan metode karakterisasi katalis sangat tergantung pada keperluan atau kepentingannya secara ilmiah dan teknis, biaya karakterisasi, dan kemudahan akses peralatan.

Secara garis besar, teknik karakterisasi katalis dapat dibagi menjadi beberapa macam berdasarkan sifat-sifat yang akan diteliti, antara lain:

1. Sifat-sifat partikel, meliputi: luas permukaan (*surface area*), porositas atau distribusi ukuran pori (adsorpsi uap pada suhu rendah, Hg porosimetry, dan *incipient wetness*), densitas, ukuran partikel, sifat-sifat mekanis, dan difusifitas.
2. Sifat-sifat permukaan (*surface*), meliputi: struktur dan morfologi (SEM, TEM, XRD, EXAFS, XPS, FT-IR, Raman, UV-Vis), dispersi (chemisorption), dan keasaman.
3. Sifat-sifat bulk, meliputi: komposisi elemental (XRF, AAS), sifat-sifat senyawa atau struktur fasa (XRD, Raman, FT-IR, DTA, TPR, TPO, TEM), struktur molekul (IR, Raman, UV-Vis, XAFS, NMR, dan EPR).
(Richardson, 1989).

Alat-alat yang digunakan untuk karakterisasi katalis dalam penelitian ini, antara lain :

1. *Transmission Electron Microscopic* (TEM) untuk mengetahui ukuran partikel.
2. *Surface Area Analyzer* (BET) untuk mengetahui luas permukaan, volume pori dan distribusi ukuran pori katalis.
3. *X-Ray Fluoresen* (XRF) untuk mengetahui komposisi unsur yang terdapat dalam katalis.
4. *X-Ray Diffraction* (XRD) untuk mengetahui keadaan struktur katalis, dan
5. *Fourier Transform Infrared* (FTIR) untuk mengetahui gugus ikatan dari katalis.

2.8. Gasoline (Bensin)

Gasoline atau bensin adalah campuran hidrokarbon kompleks dengan rentang titik didih 180-200°C. Kandungan hidrokarbon pada *gasoline* yaitu parafin, baik parafin bercabang maupun sikloparafin, olefin, dan aromatik. Struktur molekul hidrokarbon pada *gasoline* terdiri atas 5 hingga 10 atom karbon. Penggunaan *gasoline* dalam kehidupan sehari-hari adalah sebagai bahan bakar untuk kendaraan bermotor [Hatch *et al.*, 1982]

Gasoline diperoleh dari fraksionasi minyak bumi, yaitu proses pemisahan hidrokarbon berdasarkan perbedaan titik didih komponen. Setelah fraksionasi, *gasoline* diproses lebih lanjut untuk menaikkan bilangan oktananya. Kualitas *gasoline* ditetapkan dengan spesifikasi standar tertentu dengan parameter seperti bilangan oktana. Diantaranya yaitu spesifikasi yang dikeluarkan oleh *American Petroleum Institute* (API) pada tahun 2005. Spesifikasi *gasoline* yang dibuat biasanya mencakup pertimbangan tentang kebutuhan ideal kendaraan bermotor di negara tersebut, kemampuan produksi dan ekonomi negara.

Bahan bakar jenis *gasoline* yang selama ini mendominasi sektor transportasi di Indonesia adalah *gasoline* premium dengan bilangan oktana 88, dengan pangsa penjualan pada tahun 2004 sebesar 50 %. Spesifikasi *gasoline* premium di Indonesia terus berkembang menuju peningkatan kualitas *gasoline* terutama berkaitan dengan bilangan oktana dan kandungan timbel serta kandungan olefin. Beberapa hal yang dipertimbangkan dalam setiap perubahan spesifikasi *gasoline* antara lain:

Tabel 2.3 : Spesifikasi Bensin dengan Bilangan Oktana 88

| No | Karakteristik | Satuan | Batasan | | | |
|----|---|-----------|-------------------|--------------------|-------------------|--------------------|
| | | | Tanpa Timbal | | Bertimbali | |
| | | | Min. | Maks. | Min. | Maks. |
| 1 | Bilangan Oktana - Angka Oktana Riset - (RON) - Angka Oktana Motor - (MON) | RON | 88.0 | - | 88.0 | - |
| 2 | Stabilitas Oksidasi (Periode Induksi) | menit | 360 | - | 360 | - |
| 3 | Kandungan Sulfur | % m/m | - | 0,05 ¹⁾ | - | 0,05 ¹⁾ |
| 4 | Kandungan Timbal (Pb) | g/l | - | 0.013 | - | 0.3 |
| 5 | Distilasi : | | | | | |
| | 10% vol. penguapan | °C | - | 74 | - | 74 |
| | 50% vol. penguapan | °C | 88 | 125 | 88 | 125 |
| | 90% vol. penguapan | °C | | 180 | | 180 |
| | Titik didih akhir | °C | - | 215 | - | 205 |
| | Residu | % vol | - | 2.0 | - | 2.0 |
| 6 | Kandungan Oksigen | % m/m | - | 2,7 ²⁾ | | 2,7 ²⁾ |
| 7 | Washed gum | mg/100 ml | - | 5 | - | 5 |
| 8 | Tekanan Uap | kPa | - | 62 | - | 62 |
| 9 | Berat Jenis (pada suhu 15 °C) | kg/m3 | 715 | 780 | 715 | 780 |
| 10 | Korosi bilah tembaga | merit | kelas I | | kelas I | |
| 11 | Uji Doctor | | Negatif | | Negatif | |
| 12 | Sulfur Mercaptan | % massa | - | 0.002 | - | 0.002 |
| 13 | Penampilan visual | | Jernih dan terang | | Jernih dan terang | |
| 14 | Warna | | Merah | | Merah | |
| 15 | Kandungan pewarna | g/100 l | 0.13 | | 0.13 | |
| 16 | Bau | | Dapat Dipasarkan | | Dapat Dipasarkan | |

Sumber: Keputusan Direktur Minyak dan Gas Bumi No 3674 K/24/DJM/2006 ,17 Maret 2006

2.9. Bilangan Oktana (*Octane Number*)

Bilangan oktana merupakan acuan untuk mengukur kualitas suatu *gasoline* yang digunakan sebagai bahan bakar. Makin tinggi bilangan oktana maka makin rendah kecenderungan *gasoline* untuk menimbulkan ketukan (*knocking*). *Gasoline* merupakan bahan bakar transportasi yang masih memegang peranan penting sampai saat ini. *Gasoline* mengandung lebih dari 500 jenis hidrokarbon yang memiliki rantai C₅-C₁₀. Kadarnya bervariasi tergantung komposisi minyak mentah dan kualitas yang diinginkan. Pembakaran *gasoline* yang diinginkan adalah yang menghasilkan dorongan yang mulus terhadap penurunan piston. Hal ini tergantung pada ketepatan waktu pembakaran agar jumlah energi yang

ditransfer ke piston menjadi maksimum. Ketepatan waktu pembakaran tergantung pada jenis rantai hidrokarbon yang selanjutnya akan menentukan kualitas *gasoline*.

Bilangan oktana (*octane number*) merupakan ukuran dari kemampuan bahan bakar untuk mengatasi ketukan sewaktu terbakar dalam mesin. Nilai bilangan oktana 0 ditetapkan untuk n-heptana yang mudah terbakar, dan nilai 100 untuk isooctana yang tidak mudah terbakar. Untuk menaikkan bilangan oktana salah satu cara yang dapat dilakukan adalah mengubah hidrokarbon rantai lurus dalam fraksi bensin menjadi hidrokarbon rantai bercabang, seperti mengubah n-oktana menjadi isooctana.

Suatu campuran 30% n-heptana dan 70% isooctana akan mempunyai bilangan oktana :

$$\begin{aligned} &= (30/100 \times 0) + (70/100 \times 100) \\ &= 70 \end{aligned}$$

Ada dua jenis bilangan oktana *gasoline*, yaitu :

1. *Research Octane Number (RON)*

RON adalah bilangan oktana pada *gasoline* yang diukur saat keadaan mesin beroperasi sedang dan merupakan kecenderungan *gasoline* untuk mengalami *knocking* pada pengendaraan biasa.

2. *Motor Octane Number (MON)*

MON adalah bilangan oktana *gasoline* yang diukur dalam kondisi mesin yang beroperasi lebih berat dan merupakan kecenderungan *gasoline* untuk mengalami *knocking* pada kecepatan tinggi.

Bilangan Oktana (*Octane Number*) yang biasa disebut secara umum merupakan nilai yang diperoleh dari persamaan berikut :

$$\text{Bilangan Oktana} = \frac{\text{RON} + \text{MON}}{2}$$

Nanopartikel lantanida yang telah digunakan sebagai katalis untuk meningkatkan bilangan oktana pada bahan bakar adalah nanopartikel CeO₂ [Guzman *et al.*, 2006].

BAB 3

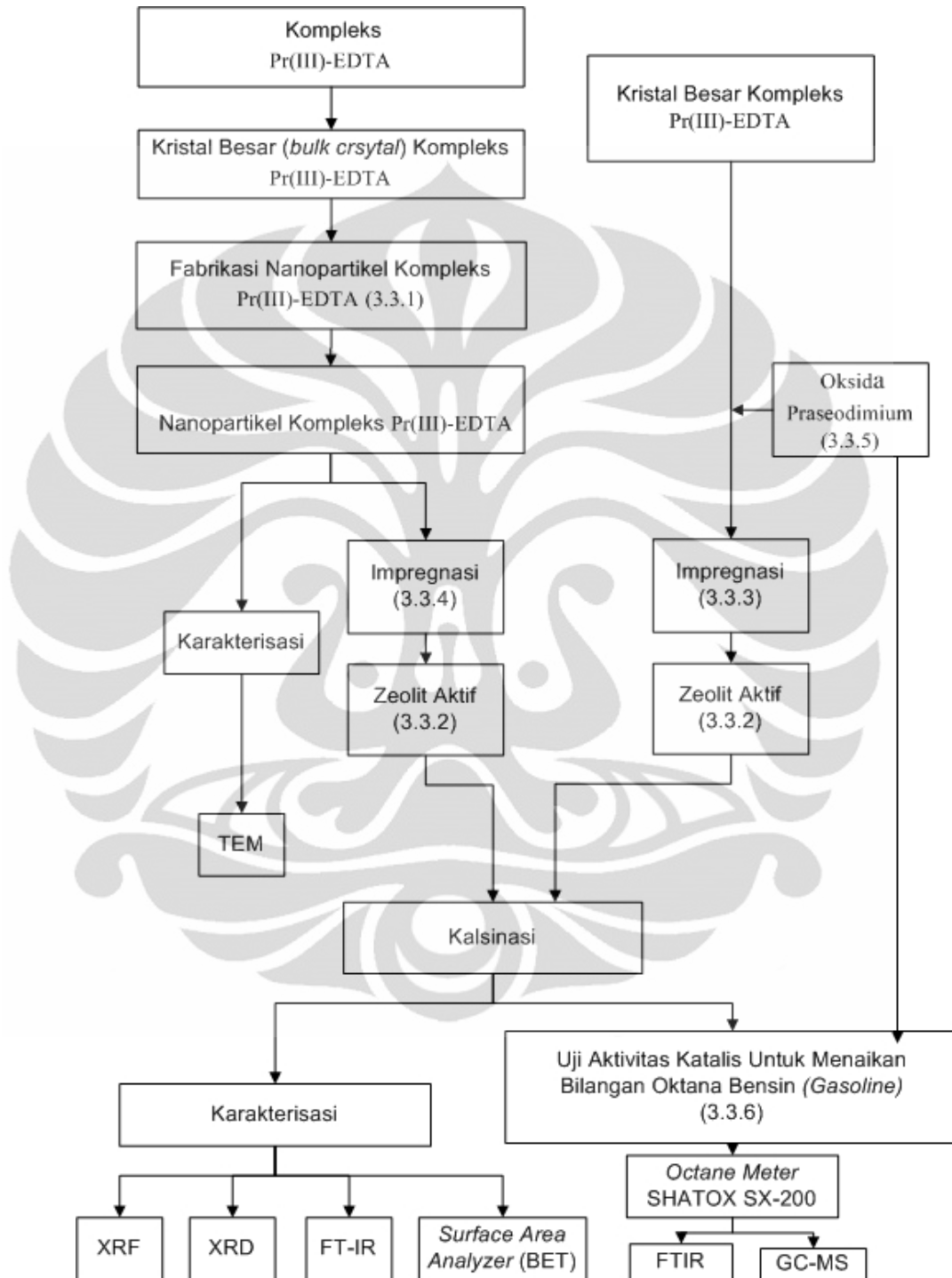
METODE PENELITIAN

3.1. Tahapan penelitian

Secara garis besar prosedur penelitian yang dilakukan terdiri atas beberapa tahap, yaitu :

1. Fabrikasi nanopartikel kompleks praseodium(III)-EDTA. (Kompleks Pr(III)-EDTA sudah difabrikasi dan tersedia dari penelitian sebelumnya yang dilakukan oleh Dr. Eny Kusrini)
2. Aktivasi zeolit klinoptilolit.
3. Impregnasi kristal besar (*bulk crystal*) Pr(III)-EDTA.
4. Impregnasi nanopartikel Pr(III)-EDTA ke dalam zeolit
5. Karakterisasi Nanopartikel kompleks Pr(III)-EDTA dengan TEM.
6. Karakterisasi zeolit yang telah diimpregnasi kristal besar (*bulk crystal*) dan nanopartikel kompleks praseodium-EDTA dengan *surface area analyzer* (BET) , XRF, XRD dan FT-IR.

Adapun untuk jelasnya, tahapan penelitian ditunjukkan pada diagram alir berikut:



Gambar 3.1. Diagram Alir Penelitian

3.2. Alat dan Bahan

Alat-alat yang digunakan dalam penelitian ini adalah :

- | | |
|--|--------------------------------------|
| 1. Timbangan analitik | 12. Termometer |
| 2. <i>Glass slide</i> | 13. Magnetic stirer |
| 3. <i>Ultrasonic cleaner</i> | 14. Tabung sentrifuge |
| 4. Mikropipet (10-1000 μL) | 15. Alat Sentrifuge |
| 5. Tabung reaksi 10 mL | 16. TEM |
| 6. Mortar | 17. FT-IR |
| 7. Desikator | 18. <i>Surface Area Analyzer</i> |
| 8. Hot plate | 19. XRF |
| 9. Oven | 20. XRD |
| 10. <i>Furnace</i> (tanur) | 21. GC-MS |
| 11. <i>Vortex</i> | 22. <i>Octane Meter</i> SHATOX SX200 |

Bahan-bahan yang digunakan antara lain :

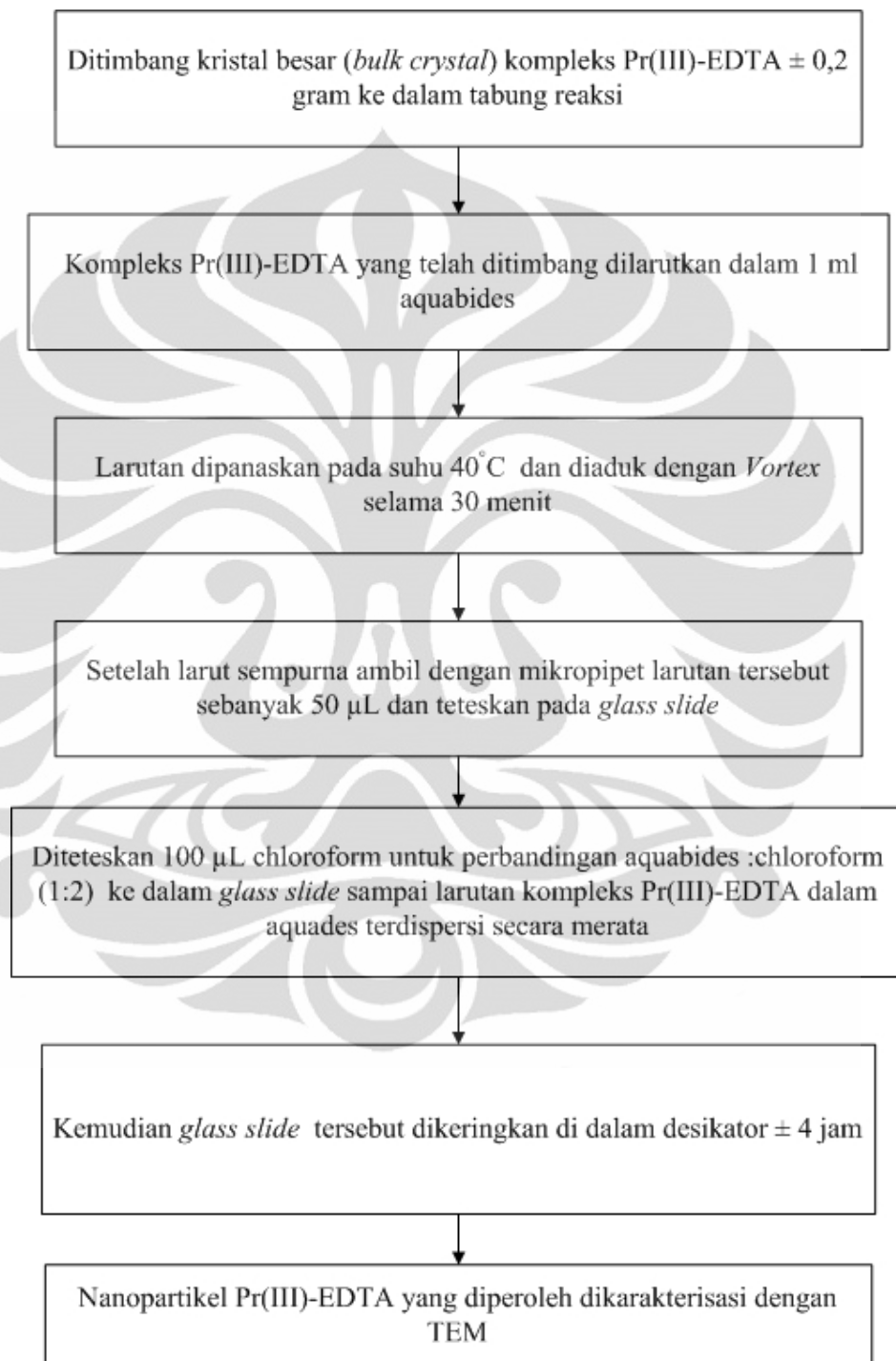
1. Kompleks Pr(III)-EDTA
2. Praseodium Oksida (Pr_6O_{11}) (Sigma)
3. Larutan NaOH (Merck)
4. Chloroform GR for Analysis, CHCl_3 (Merck)
5. Larutan NH_4OH 0,05 M (Merck)
6. Asam klorida, HCl (Merck)
7. Kertas saring No.41 (Whatman)
8. Zeolit klinoptilolit
9. Aquabides
10. Bensin (*gasoline*) Premium PT. PERTAMINA

3.3. Prosedur Penelitian

3.3.1. Fabrikasi nanopartikel Kompleks Pr(III)-EDTA

- a. Ditimbang kristal besar (*bulk crystal*) kompleks Pr(III)-EDTA \pm 0,2 gram ke dalam tabung reaksi.
- b. Ditambahkan 1 mL aquabides ke dalam tabung reaksi yang berisi kompleks Pr(III)-EDTA yang telah ditimbang.
- c. Larutan tersebut dipanaskan pada suhu 40°C dan aduk dengan menggunakan *Vortex* selama 30 menit sampai seluruh padatan kompleks Pr(III)-EDTA larut sempurna.
- d. Setelah larut sempurna ambil dengan mikropipet larutan tersebut sebanyak 50 μ L dan teteskan pada *glass slide*, sebelumnya *glass slide* dibersihkan dan dimasukan ke dalam alat *ultrasonic cleaner* untuk menghilangkan pengotor yang ada pada *glass slide*.
- e. Pada *glass slide* diteteskan 100 μ L chloroform untuk perbandingan aquabides :chloroform (1:2) ke dalam *glass slide* sampai larutan kompleks Pr(III)-EDTA dalam aquades terdispersi secara merata.
- f. Kemudian *glass slide* tersebut dikeringkan di dalam desikator \pm 4 jam.
- g. Diperoleh nanopartikel Pr(III)-EDTA.
- h. Nanopartikel Pr(III)-EDTA selanjutnya dikarakterisasi dengan menggunakan TEM.

Berikut ini diagram alir fabrikasi nanopartikel kompleks Pr(III)-EDTA:



Gambar 3.2. Diagram Fabrikasi Nanopartikel Kompleks Pr(III)-EDTA

3.3.2. Aktivasi Zeolit Klinoptilolit

Aktivasi zeolit klinoptilolit berdasarkan (Komalasari, 2009)

a. Secara fisika

Zeolit klinoptilolit ditambahkan aquabides dengan perbandingan 1 : 3.

Kemudian distirer selama 1 jam pada temperatur 80°C. Koloid yang terbentuk diambil, lalu didekantasi untuk memisahkan pelarutnya. Lalu koloid dicuci dengan aquabides. Setelah itu dikeringkan pada temperatur 105°C selama 1 jam.

b. Secara kimia, dilakukan dalam dua tahap,yaitu :

- Zeolit yang sudah diaktivasi secara fisika ditambahkan aquabides dan HCl 0,05 M dengan perbandingan 3 : 1. Kemudian distirer selama 1 jam pada temperatur 50°C. Setelah itu zeolit didekantasi dan dikeringkan pada temperatur 70°C.
- Kemudian zeolit ditambahkan aquabides dan NH₄OH 0,05 M dengan perbandingan 3 : 1. Distirer selama 1 jam pada temperatur 50°C. Zeolit didekantasi lalu dikeringkan pada temperatur 70°C.

3.3.3. Impregnasi Kristal Besar Kompleks Praseodium(III)-EDTA ke dalam zeolit klinoptilolit

a. Ditimbang zeolit 4 gram.

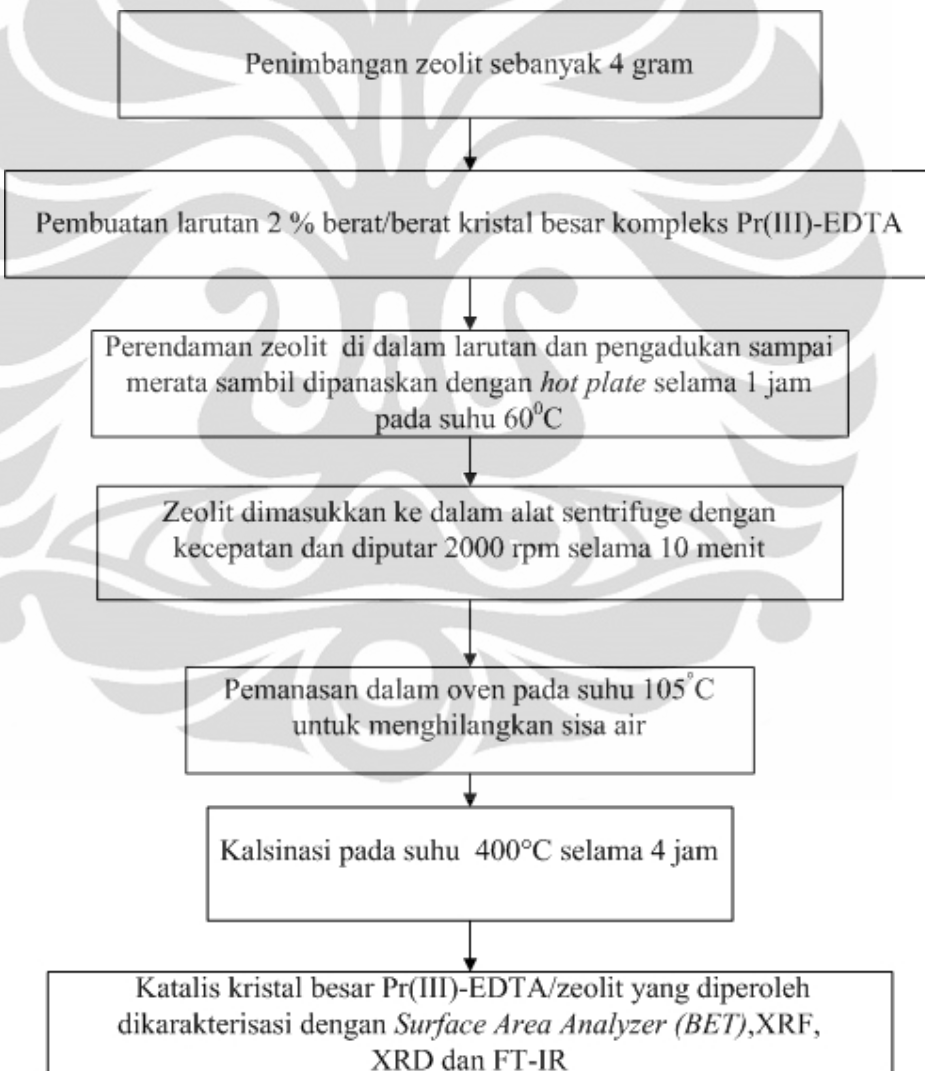
b. Dibuat larutan 2 % berat/berat kristal besar kompleks Pr-EDTA.

c. Zeolit direndam di dalam larutan dan aduk sampai merata selama 1 jam sambil dipanaskan dengan *hot plate* pada suhu 60°C.

d. Kemudian zeolit dimasukkan ke dalam alat sentrifuge dengan kecepatan 2000 rpm dan putar pada selama 10 menit.

- e. Zeolit dimasukkan ke dalam oven 105°C untuk menghilangkan sisa air.
- f. Kemudian dikalsinasi pada suhu 400°C selama 4 jam.
- g. Diperoleh katalis Kristal besar Pr(III)-EDTA/zeolit (2)
- h. Katalis Kristal besar Pr(III)-EDTA/zeolit dikarakterisasi dengan menggunakan *Surface Area Analyzer*, XRD,XRF dan FTIR

Berikut ini diagram alir cara impregnasi kristal besar kompleks Pr(III)-EDTA ke dalam zeolit klinoptilolit :



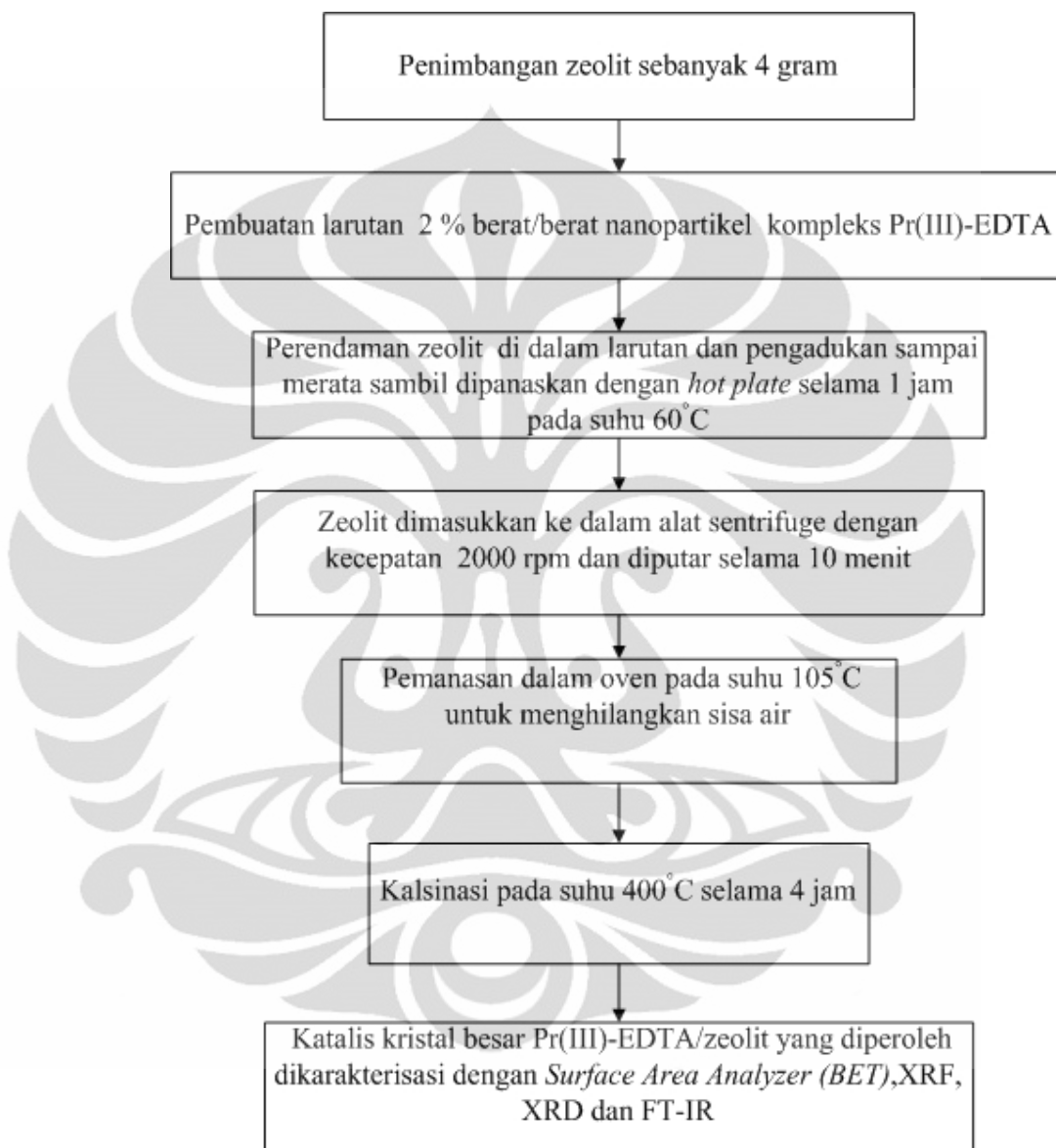
Gambar 3.3. Diagram Alir Cara Impregnasi Kristal Besar Kompleks

Pr(III)-EDTA dan Karakterisasinya

3.3.4. Impregnasi Nanonopartikel Kompleks Pr-EDTA ke dalam Zeolit

- a. Ditimbang zeolit 4 gram.
- b. Dibuat larutan 2 % berat/berat nanopartikel kompleks Pr-EDTA.
- c. Zeolit direndam di dalam larutan dan aduk sampai merata selama 1 jam sambil dipanaskan dengan *hot plate* pada suhu 60°C.
- d. Kemudian zeolit dimasukkan ke dalam alat sentrifuge dengan kecepatan 2000 rpm dan putar selama 10 menit.
- e. Zeolit dimasukkan ke dalam oven 105°C untuk menghilangkan sisa air.
- f. Kemudian dikalsinasi pada variasi suhu 400°C selama 4 jam.
- g. Diperoleh katalis nanopartikel Pr(III)-EDTA/zeolit (3)
- h. Katalis Kristal besar Pr(III)-EDTA/zeolit dikarakterisasi dengan menggunakan *Surface Area Analyazer*, XRD,XRF dan FTIR.

Berikut ini diagram alir cara impregnasi nanopartikel kompleks Pr(III)-EDTA ke dalam zeolit klinoptilolit :

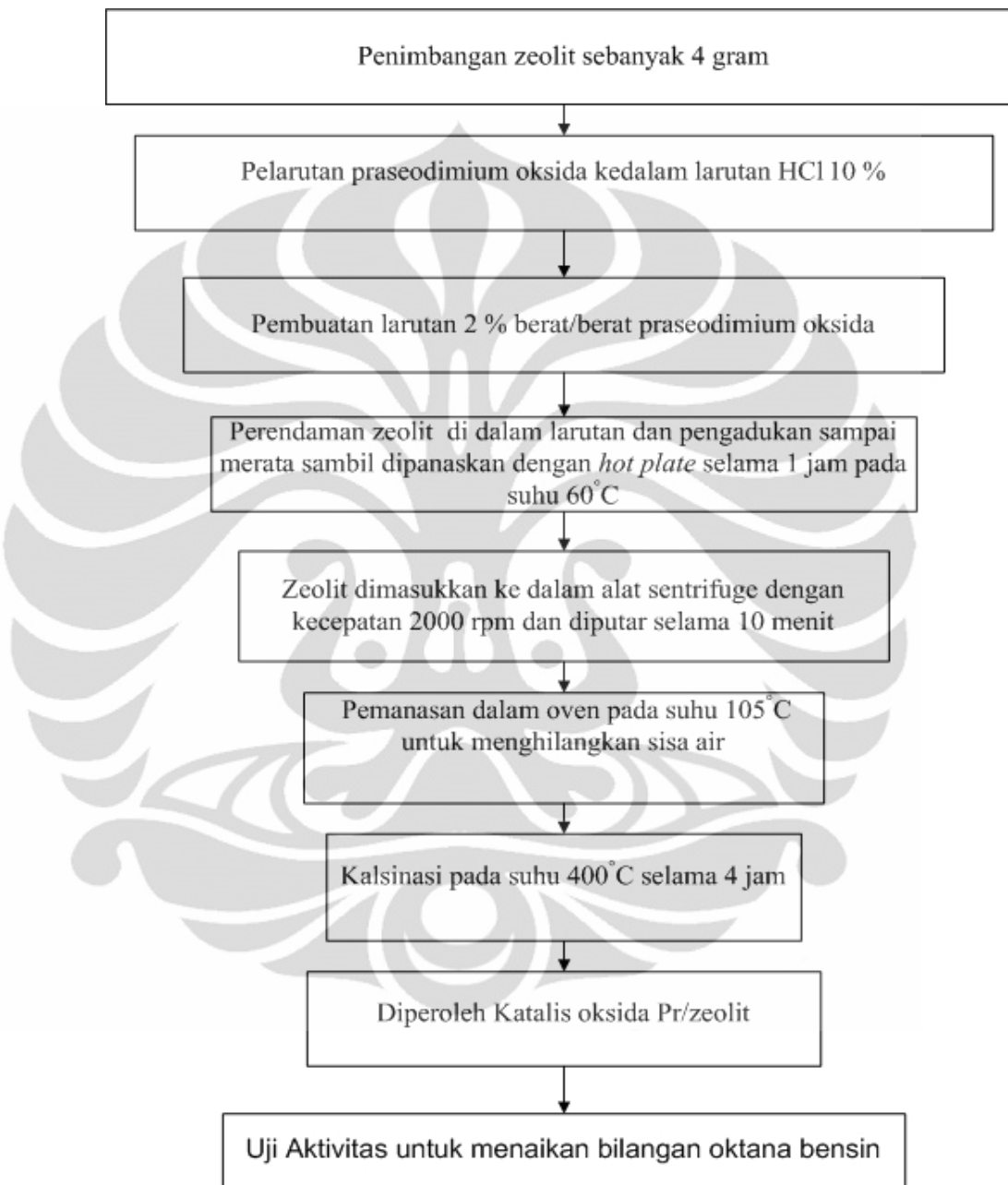


Gambar 3.4. Diagram Alir Cara Impregnasi Nanopartikel Kompleks Pr(III)-EDTA dan Karakterisasinya

3.3.5. Impregnasi Oksida Praseodium (Pr₆O₁₁) ke dalam zeolit.

- a. Timbang zeolit 4 gram.
- b. Dilarutkan sebanyak 1 gram oksida Praseodium ke dalam 10 mL larutan HCl 10 %.
- c. Dibuat variasi larutan 2 % berat/berat oksida Praseodium.
- d. Zeolit direndam di dalam larutan dan aduk sampai merata selama 1 jam sambil dipanaskan dengan *hot plate* pada suhu 60 °C.
- e. Kemudian zeolit dimasukkan ke dalam alat sentrifuge dengan kecepatan 2000 rpm dan putar selama 10 menit.
- f. Zeolit dimasukkan ke dalam oven 105 °C untuk menghilangkan sisa air.
- g. Kemudian dikalsinasi pada variasi suhu 400 °C selama 4 jam.
- h. Diperoleh katalis oksida Pr/zeolit.
- i. Katalis oksida Pr/zeolit di uji aktivitas untuk meningkatkan bilangan oktana pada gasoline.

Berikut ini diagram alir cara impregnasi oksida praseodium ke dalam zeolit klinoptilolit :



Gambar 3.5. Diagram Alir Cara Impregnasi Oksida Praseodium dan Karakterisasinya

3.3.6. Uji Aktivitas Peningkatan Bilangan Oktana Pada Bensin

- a. Ditimbang 3 gram katalis.
- b. Dimasukkan masing-masing katalis zeolit tanpa impregnasi, kristal besar Pr(III)-EDTA/Zeolit, nanopartikel Pr(III)-EDTA/Zeolit ke dalam 60 ml *gasoline*.
- c. Kemudian diaduk dengan strirer selama 2 menit.
- d. Kemudian endapan disaring dengan menggunakan kertas saring whatman No.41.
- e. Filtrat yang telah disaring dimasukkan ke dalam alat pengukur bilangan oktana *Octane Meter SHATOX SX-200*.
- f. Tunggu hasil pembacaan bilangan oktana dari alat tersebut.
- g. Sebagai pembanding dilakukan pengukuran bilangan oktana untuk oksida Praseodium dan oksida Praseodium yang diimpregnasi ke dalam zeolit dengan cara seperti diatas.
- h. Bensin hasil penyaringan di analisis dengan menggunakan GC-MS.

Dibawah ini adalah gambar alat pengukur bilangan oktana yang digunakan:



Gambar 3.6. Portable Octane Meter SHATOX SX-200

3.4. Rancangan Percobaan dan Pengambilan Data

- 3.4.1. Karakterisasi nanopartikel kompleks praseodimium(III)-EDTA dilakukan dengan menggunakan alat TEM.
- 3.4.2. Karakterisasi katalis sebelum dan sesudah diimpregnasi kristal besar dan nanopartikel kompleks Pr(III)-EDTA dilakukan menggunakan alat *Surface Area Analyzer* (BET), XRF, XRD dan FTIR.
- 3.4.3. Pengukuran bilangan oktana *gasoline* dilakukan dengan menggunakan alat OCTANE METER SHATOX SX-200.
- 3.4.4. Karakterisasi *gasoline* setelah penambahan katalis dengan FTIR dan GC-MS.

BAB 4

HASIL DAN PEMBAHASAN

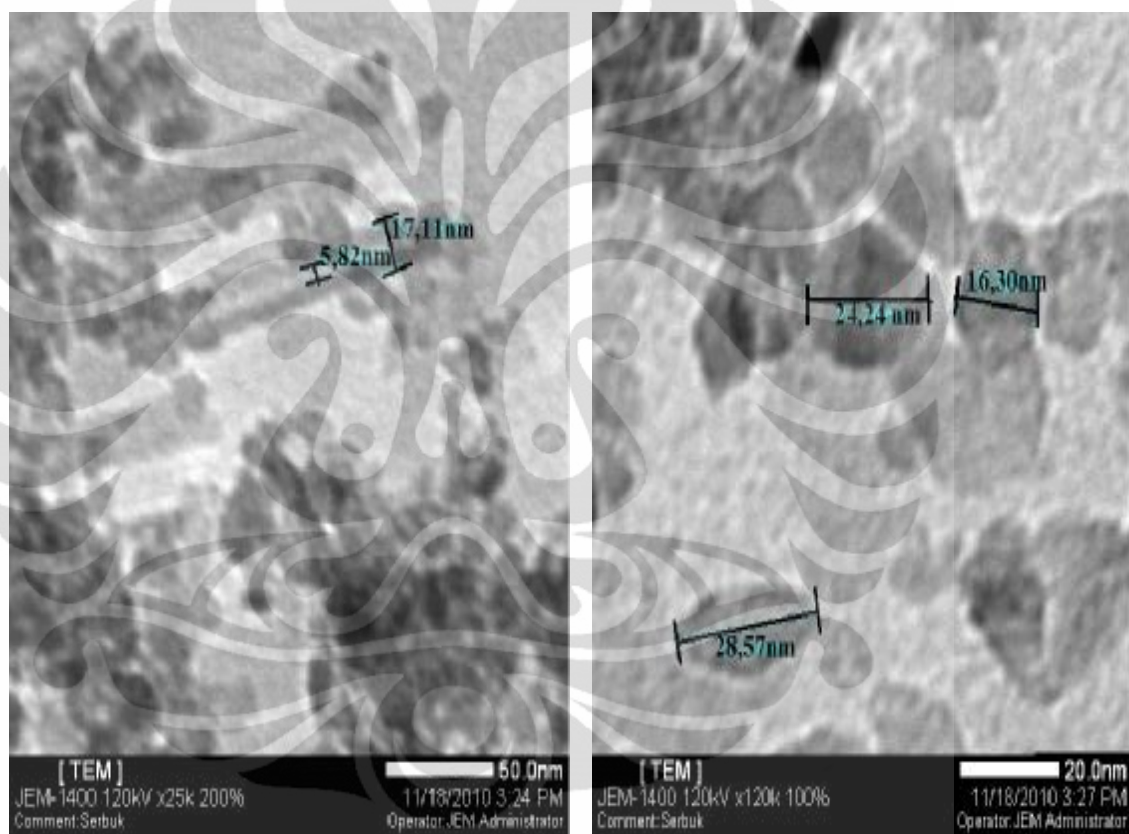
Pada bab ini akan disajikan data-data hasil penelitian beserta pembahasannya yang meliputi hasil fabrikasi nanopartikel Pr(III)-EDTA, karakteristik katalis zeolit, katalis kristal besar Pr(III)-EDTA/zeolit dan nanopartikel Pr(III)-EDTA/zeolit dan juga hasil uji aktivitas katalis dalam meningkatkan bilangan oktana *gasoline*.

4.1. Aktivasi Zeolit Alam Klinoptilolit

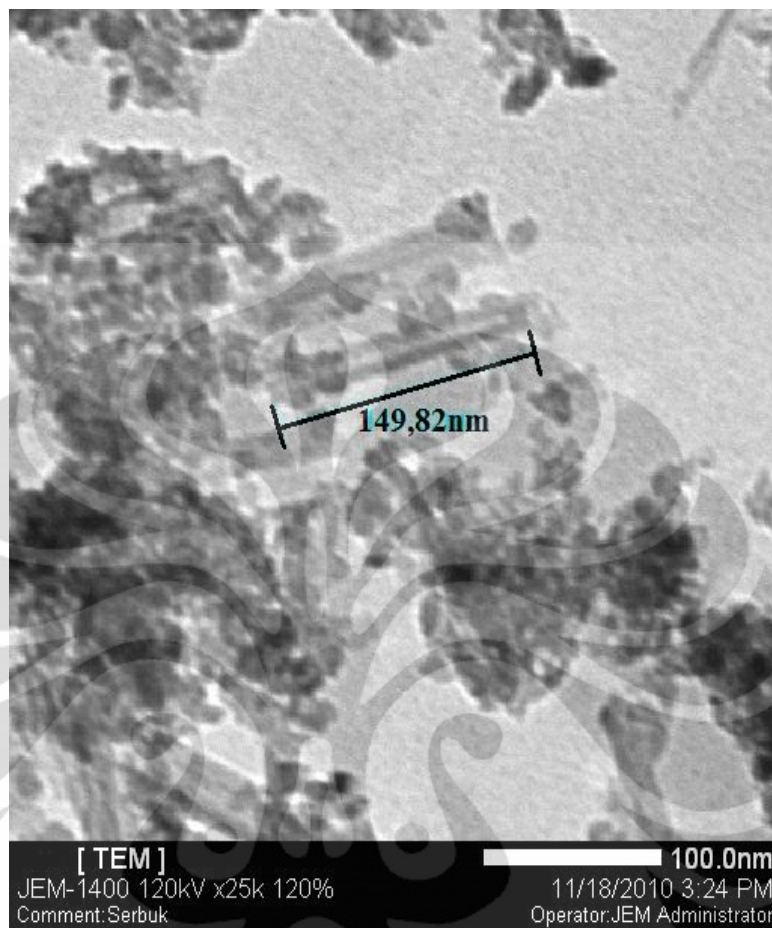
Oleh karena zeolit berasal dari alam, maka zeolit masih banyak mengandung pengotor, ion-ion logam ataupun molekul air di dalam rongga-rongganya sehingga perlu dibersihkan sebelum digunakan sebagai bahan penyangga katalis (Komalasari, 2009).. Aktivasi zeolit klinoptilolit dilakukan dengan dua cara yaitu secara fisika dan secara kimia. Zeolit ini diaktivasi dengan menggunakan larutan asam HCl 0,05 M dan larutan basa NH₄OH 0,05 M dan aquabides (Komalasari, 2009). Aktivasi secara kimia dilakukan dengan menggunakan aquabides pada suhu 80°C. Hal ini dimaksudkan untuk menghilangkan pengotor-pengotor kasar atau debu yang terdapat dalam zeolit. Sedangkan aktivasi secara kimia dilakukan dengan dua cara yaitu dengan basa encer dan asam encer. Tujuan penggunaan basa encer adalah untuk menghilangkan pengotor yang bersifat asam dalam zeolit. Sebaliknya pencucian dengan asam untuk menghilangkan pengotor yang bersifat basa dalam zeolit. Selanjutnya zeolit dikalsinasi pada suhu 400°C. Kalsinasi bertujuan untuk menghilangkan air yang terjebak dalam pori-pori zeolit serta menghilangkan senyawa-senyawa organik yang mungkin terkandung dalam zeolit. Zeolit yang telah aktif selanjutnya dikarakterisasi dengan menggunakan *surface area analyzer* (BET), FT-IR, XRD, XRF dan nilai keasamannya.

4.2. Karakterisasi Nanopartikel Pr(III)-EDTA dengan TEM

Hasil fabrikasi nanopartikel Pr(III)-EDTA dengan metode represipitasi dan pengujian dikarakterisasi dengan menggunakan *Transmission Electron Microscopic* (TEM) untuk mengetahui apakah fabrikasi nanopartikel Pr(III)-EDTA berhasil memperoleh partikel Pr(III)-EDTA dalam ukuran nanometer. Hasil karakterisasi dapat dilihat pada foto TEM dari Pr(III)-EDTA dibawah ini :



Gambar 4.1. Foto TEM Diameter Nanopartikel Pr(III)-EDTA



Gambar 4.2. Foto TEM Panjang Nanopartikel Pr(III)-EDTA

Dari foto TEM gambar 4.1 dan 4.2 dapat dilihat bahwa Pr(III)-EDTA memiliki ukuran antara 5,8-28,6 nm dan panjang 149,8 nm. Jadi, dalam percobaan ini telah berhasil diperoleh nanopartikel Pr(III)-EDTA.

4.3. Karakterisasi Katalis

4.3.1. Karakterisasi Katalis dengan XRF

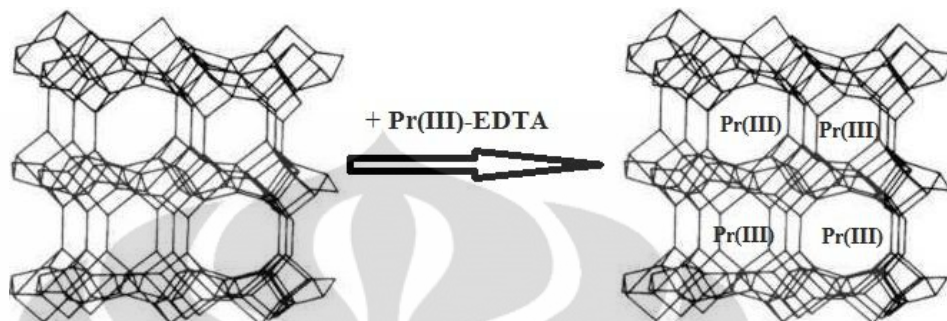
Karakterisasi dengan menggunakan XRF bertujuan untuk mengetahui unsur-unsur yang terdapat dalam katalis baik sebelum diimpregnasi maupun setelah proses impregnasi. Dengan menggunakan XRF dapat diketahui pula unsur-unsur secara kuantitatif.

Tabel 4.1. Hasil karakterisasi Katalis dengan XRF

| Katalis Zeolit | | Katalis Kristal Besar Pr(III)-EDTA/zeolit | | Katalis Nanopartikel Pr(III)-EDTA/zeolit | |
|----------------|---------|---|---------|--|---------|
| Atom | % Berat | Atom | % Berat | Atom | % Berat |
| Si | 51,6220 | Si | 46,9410 | Si | 46,7193 |
| K | 12,4560 | Fe | 13,4034 | Fe | 13,7671 |
| Fe | 11,5237 | Ca | 12,9731 | K | 12,5645 |
| Ca | 10,6522 | K | 12,5400 | Ca | 13,0349 |
| Al | 10,3557 | Al | 10,2383 | Al | 10,0148 |
| Ti | 1,0843 | Ti | 1,1682 | Ti | 1,1951 |
| Ba | 0,5131 | Ba | 0,5185 | Ba | 0,5347 |
| Mg | 0,4056 | Pr | 0,4175 | Pr | 0,5236 |
| Sr | 0,3174 | Sr | 0,4083 | Sr | 0,4169 |
| Cl | 0,2996 | Cl | 0,3374 | Mn | 0,3404 |
| Na | 0,2761 | Na | 0,2849 | Mg | 0,2511 |
| Mn | 0,2655 | Mg | 0,2554 | Cl | 0,2155 |
| Zr | 0,1323 | Mn | 0,2529 | Zr | 0,1737 |
| Rb | 0,0730 | Zr | 0,1438 | Na | 0,1362 |
| Y | 0,0236 | Rb | 0,0907 | Rb | 0,0874 |
| | | Y | 0,0264 | Y | 0,0248 |

Berdasarkan tabel, diatas terdapat kandungan Pr dalam katalis kristal besar Pr(III)-EDTA/zeolit sebesar 0,4175 % pada katalis dan 0,5236 % pada katalis nanopartikel Pr(III)-EDTA/zeolit, hal ini menunjukkan bahwa Pr berhasil diimpregnasi ke dalam zeolit walaupun tidak seluruhnya dari jumlah sebenarnya yang diimpregnasi sebesar 2 %. Kecilnya kadar Pr yang terdapat dalam zeolit dimungkinkan karena hanya sedikit saja Pr(III) yang berinteraksi dengan zeolit. Hal ini juga dapat disebabkan oleh masih banyaknya kation-kation logam yang terkandung dalam pori-pori zeolit sehingga agak sulit untuk menyisipkan kompleks Pr(III)-EDTA ke dalam pori zeolit [Komalasari, 2009].

Dibawah ini adalah ilustrasi masuknya Pr(III)-EDTA kedalam rongga zeolit klinoptilolit :



Gambar 4.3. Ilustrasi Impregnasi Pr(III)-EDTA pada rongga zeolit klinoptilolit

4.3.2. Karakterisasi Katalis dengan *Surface Area Analyzer*

Karakterisasi luas permukaan, volume pori dan ukuran pori katalis dengan metode BET dilakukan terhadap zeolit yang diimpregnasi kristal besar Pr(III)-EDTA dan nanopartikel Pr(III)-EDTA yang dibandingkan dengan zeolit tanpa impregnasi.

Tabel 4.2. Hasil Karakterisasi dengan alat *Surface Area Analyzer* (BET)

| Katalis | Luas permukaan (m^2/g) | Volume Pori (cc/g) | Ukuran Pori (nm) |
|-----------------------------------|--|--------------------|------------------|
| Zeolit Aktif | 30,86 | 0,09 | 11,34 |
| Kristal Besar Pr(III)-EDTA/Zeolit | 24,09 | 0,11 | 18,29 |
| Nanopartikel Pr(III)-EDTA/Zeolit | 9,91 | 0,76 | 30,76 |

Pengujian luas permukaan pada katalis sebelum diimpregnasi kristal besar dan nanopartikel Pr(III)-EDTA adalah $30,86 \text{ m}^2/\text{g}$ setelah impregnasi dengan kristal besar Pr(III)-EDTA terjadi penurunan luas permukaannya menjadi $24,09 \text{ m}^2/\text{g}$ sedangkan setelah impregnasi dengan nanopartikel Pr(III)-EDTA luas permukaannya menjadi $9,91 \text{ m}^2/\text{g}$. Hal ini menunjukkan sebagian besar pori-pori

zeolit lebih efektif dan banyak terisi oleh nanopartikel dibandingkan dengan kristal besar Pr(III)-EDTA.

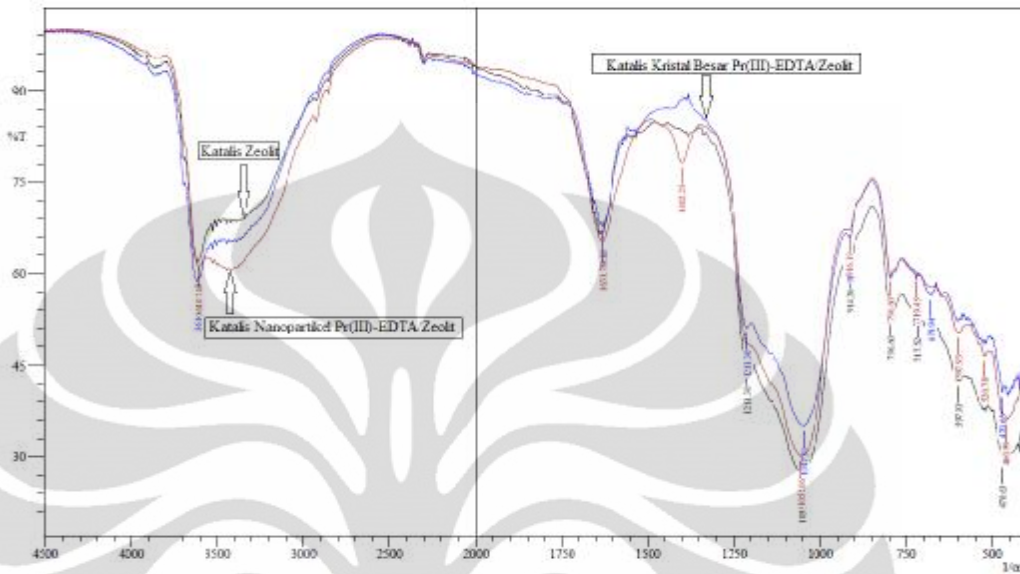
Katalis sebelum diimpregnasi dengan nanopartikel dan Kristal besar Pr(III)-EDTA memiliki volume pori sebesar 0,09 cc/g setelah diimpregnasi dengan ristal besar Pr(III)-EDTA terjadi peningkatan volume pori menjadi 0,11 cc/g dan 0,76 cc/g setelah penambahan nanopartikel Pr(III)-EDTA.

Dari hasil karakterisasi diperoleh ukuran pori katalis sebelum diimpregnasi dengan nanopartikel dan ristal besar Pr(III)-EDTA adalah 11,34 nm. Dari hasil ini dapat dikatakan bahwa ukuran pori zeolit klinoptilolit termasuk ukuran mesopori yaitu ukuran pori berkisar antara mikropori dan makropori, yaitu 3-50 nm. Setelah diimpregnasi ristal besar Pr(III)-EDTA ukuran porinya bertambah menjadi 18,29 nm dan 30,76 nm setelah diimpregnasi dengan nanopartikel Pr(III)-EDTA.

4.3.3. Karakterisasi Katalis dengan FTIR

Karakterisasi zeolit dengan FTIR dilakukan terhadap zeolit yang diimpregnasikan kompleks Pr (III)-EDTA yang dibandingkan dengan zeolit tanpa impregnasi. Pengukuran menggunakan FTIR ini bertujuan untuk penentuan kualitatif gugus-gugus fungsi dan ikatan dari sebuah struktur kimia. Bila suatu molekul menyerap sinar infra merah, maka dalam molekul tersebut akan terjadi perubahan tingkat rista vibrasi dan rotasi, tetapi hanya rista transisi vibrasi atau rotasi yang dapat menyebabkan momen rista yang aktif mengadsorbsi sinar infra merah. Disamping itu, frekuensi sinar yang rista harus sama dengan salah satu frekuensi vibrasi atau rotasi molekulnya. Struktur dasar dari zeolit memiliki ikatan Si-O-Si dan Si-O-Al yang khas pada setiap tipe zeolit. Katalis yang dikarakterisasi adalah katalis kompleks kristal Pr(III)-EDTA dalam bentuk kristal besar dan dalam bentuk nanopartikel yang diimpregnasikan ke dalam zeolit klinoptilolit dan juga dikarakterisasi katalis zeolit klinoptilolit tanpa impregnasi.

Hasil karakterisasi katalis dengan menggunakan FTIR dapat dilihat pada spektrum FTIR dibawah ini :



Gambar 4.4. Spektrum FTIR Katalis Zeolit, Katalis Kristal Besar Pr(III)-EDTA, Katalis Nanopartikel Pr(III)-EDTA

Dibawah ini adalah tabel hasil analisa katalis dengan FTIR hasil penelitian dibandingkan dengan literatur :

Tabel 4.3. Hasil Karakterisasi Katalis dengan FTIR Hasil penelitian dan Literatur

| Bilangan Gelombang (cm⁻¹) | | | | Keterangan |
|---|---------------|---|--|---|
| Literatur | Zeolit | Kristal Besar Pr(III)-EDTA/ Zeolit | Nanopartikel Pr(III)-EDTA/ Zeolit | |
| 420-500 | 470,63 | 470,63 | 468,70 | Pori Bukaan |
| 750-820 | 914,26 | 796,6 | 796,60 | Uluran Simetri (Si/Al)O ₄ |
| 1050-1150 | 1139,93 | 1139,93 | 1145,72 | Uluran Simetri (Si/Al)O ₄ |
| 1650 | 1629,85 | 1629,85 | 1637,56 | Gugus OH yang terjadi dari interaksi ion dengan air |
| 3000-3450 | 3226,91 | 3242,34 | 3259,70 | Gugus OH pada permukaan zeolit |

[Ardhyarini, 2003]

Berdasarkan hasil analisis FTIR di atas terlihat spektrum yang hampir sama antara katalis tanpa impregnasi dengan katalis yang diimpregnasi dengan kristal besar Pr(III)-EDTA maupun nanopartikel Pr(III)-EDTA. Hal ini disebabkan Pr(III)-EDTA hanya berinteraksi secara fisika dengan zeolit tanpa merubah struktur kristal zeolit. Dengan demikian intensitas spektrumnya saja yang berbeda yang menandakan bahwa adanya interaksi dengan Pr(III)-EDTA. Intensitas (%T) spektrum katalis nanopartikel Pr(III)-EDTA/Zeolit didapatkan lebih rendah dibandingkan intensitas (%T) katalis kristal besar Pr(III)-EDTA/Zeolit, hal ini disebabkan karena jumlah Pr(III) yang terdapat pada rongga zeolit klinoptilolit dalam katalis nanopartikel Pr(III)-EDTA/Zeolit berdasarkan data XRF lebih besar dibandingkan pada katalis kristal besar Pr(III)-EDTA/Zeolit sehingga menyebabkan frekuensi tingkat rotasi dan vibrasi gugus dasar lebih rendah dibandingkan sebelum perlakuan impregnasi.

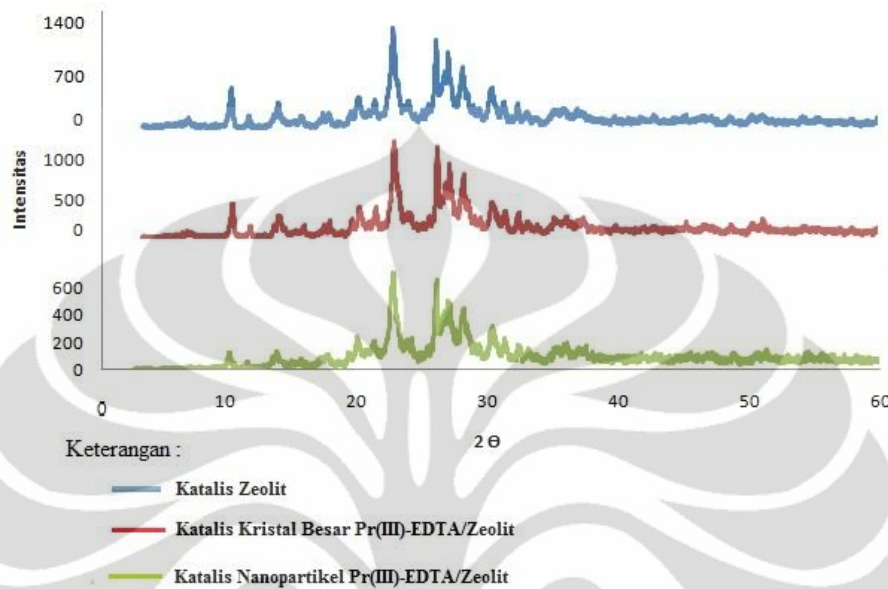
Unit pembentuk primer berupa tetrahedral AlO_4 dan SiO_4 ditunjukkan dengan terdapatnya puncak pada bilangan gelombang $470,63 \text{ cm}^{-1}$ dan $1139,93 \text{ cm}^{-1}$ untuk zeolit klinoptilolit. Unit pembentuk primer ini tidak berubah dengan impregnasi kompleks Praseodium(III)-EDTA ke dalamnya. Hal ini ditunjukkan pada $470,63 \text{ cm}^{-1}$ dan $1139,93 \text{ cm}^{-1}$ pada kristal besar Pr(III)-EDTA/zeolit dan nanopartikel Pr(III)-EDTA/zeolit pada $468,7 \text{ cm}^{-1}$ dan $1145,72 \text{ cm}^{-1}$.

Di dalam spektrum FTIR hasil karakterisasi ditunjukkan pula adanya kation yang terperangkap dalam katalis zeolit, yaitu pada puncak $1629,85 \text{ cm}^{-1}$ dan $3226,91 \text{ cm}^{-1}$, pada katalis kristal besar Pr(III)-EDTA/zeolit terdapat pada $1629,85 \text{ cm}^{-1}$ dan $3242,34 \text{ cm}^{-1}$, dan pada katalis nanopartikel Pr(III)-EDTA/zeolit terdapat pada $1637,56 \text{ cm}^{-1}$ dan $3259,7 \text{ cm}^{-1}$. Dari analisis FTIR ini diperoleh informasi tentang ikatan Si atau Al dengan atom O, uluran SiO_4 dan AlO_4 serta terlihat adanya gugus OH pada permukaan zeolit.

4.3.4. Karakterisasi Katalis dengan XRD

Analisis difraksi sinar X dapat digunakan untuk mengkarakterisasi zat padat seperti katalis. Tujuan karakterisasi ini adalah untuk mengetahui perubahan yang terjadi pada struktur kristal zeolit setelah mengalami impregnasi dan

kalsinasi. Dibawah ini adalah hasil karakterisasi katalis dengan menggunakan XRD :



Gambar 4.5. Difraktogram XRD Katalis Zeolit, Katalis Kristal Besar Pr(III)-EDTA, Katalis Nanopartikel Pr(III)-EDTA

Katalis zeolit yang mengalami impregnasi dengan kristal besar Pr(III)-EDTA atau nanopartikel Pr(III)-EDTA memiliki puncak yang sama dengan katalis zeolit tanpa impregnasi. Tidak terbentuknya puncak-puncak baru menandakan bahwa tidak terbentuk fasa atau senyawa baru yang mempunyai kristalinitas yang tinggi. Hal ini menyatakan bahwa struktur kristal katalis zeolit tidak mengalami perubahan.

4.4. Uji Aktivitas Peningkatan Bilangan Oktana Pada *Gasoline*

Katalis yang telah dikarakterisasi selanjutnya di uji aktivitasnya sebagai katalis untuk meningkatkan bilangan oktana (*octane number*) pada *gasoline* (bensin). Sebagai pembanding diukur bilangan oktana pada *gasoline* murni (tanpa penambahan katalis). *Gasoline* yang digunakan adalah produk PT PERTAMINA

jenis premium. Dibawah ini adalah hasil uji aktivitas katalis untuk meningkatkan bilangan oktana *gasoline*:

Tabel 4.4. Hasil Penentuan Bilangan Oktana *Gasoline* dengan Penambahan Katalis

| Nama | Bilangan Oktana |
|--|------------------------|
| <i>Gasoline</i> | 88,2 |
| <i>Gasoline</i> + Katalis Zeolit | 88,8 |
| <i>Gasoline</i> + Katalis Kristal besar Pr(III)-EDTA/ Zeolit | 89,2 |
| <i>Gasoline</i> + Katalis Nanopartikel Pr(III)-EDTA/Zeolit | 89,6 |
| <i>Gasoline</i> + Oksida Pr | 88,4 |
| <i>Gasoline</i> + Oksida Pr/Zeolit | 88,4 |

Dari hasil uji aktivitas yang tertera pada tabel diatas dapat dilihat bahwa bilangan oktana pada *gasoline* premium tanpa penambahan katalis sebesar 88,2, setelah ditambahkan zeolit saja naik menjadi 88,8 dan setelah ditambahkan katalis kristal besar Pr(III)-EDTA/ Zeolit memiliki bilangan oktana 89,2 tetapi setelah penambahan katalis nanopartikel Pr(III)-EDTA/Zeolit diperoleh bilangan oktana yang lebih besar yaitu sebesar 89,6, hal ini dapat disebabkan oleh jumlah Pr yang terdapat dalam katalis nanopartikel Pr(III)-EDTA/Zeolit lebih banyak dibandingkan pada katalis kristal besar Pr(III)-EDTA/Zeolit berdasarkan hasil karakterisasi dengan menggunakan XRF. Pada uji aktivitas untuk meningkatkan bilangan oktana pada *gasoline* ini juga digunakan praseodium dalam bentuk oksida dan praseodium oksida yang diimpregnaskan ke dalam zeolit klinoptilolit sebagai pembanding, dan hasil bilangan oktana yang diperoleh setelah penambahan oksida praseodium dan Oksida Pr/Zeolit masing-masing 88,4, hasil ini menandakan bahwa penambahan praseodium dalam bentuk oksidanya tidak memberikan pengaruh yang besar terhadap bilangan oktana *gasoline* dibandingkan dalam bentuk kompleks Pr(III)-EDTA.

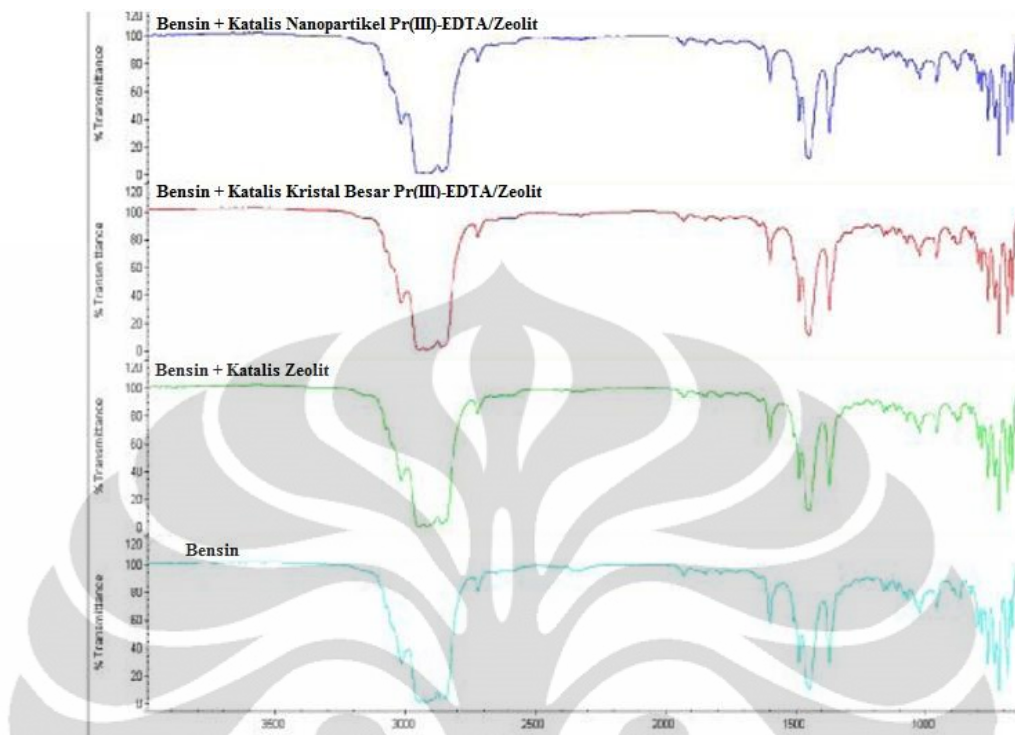
4.5. Analisis *Gasoline* Setelah Penambahan Katalis

4.5.1. Analisis FTIR *Gasoline* Setelah Penambahan Katalis

Gasoline merupakan senyawa yang tersusun dari rantai hidrokarbon mulai dari C₅ sampai dengan C₁₀ yang dapat mempunyai susunan rantai lurus maupun bercabang. Dari rumus rantai lurus kemungkinan-kemungkinan vibrasi yang dapat terjadi adalah uluran dan tekukan C-H dari gugus alkil atau alkana, sedangkan dari rumus aromatik memberikan kemungkinan uluran C=C cincin aromatik dan vibrasi dari gugus lain yang mungkin timbul. Dalam menganalisa spektrum inframerah dari sampel *gasoline* sebelum dan sesudah penambahan katalis kristal besar Pr(III)-EDTA dan katalis nanopartikel Pr(III)-EDTA, pembahasan yang pertama kali dilakukan adalah pada kerangka karbon. Karena *gasoline* tersusun atas rantai hidrokarbon sehingga dalam spektrum inframerah *gasoline* akan muncul berbagai macam penyerapan yang ditimbulkan oleh adanya ikatan karbon.

Dari hasil karakterisasi dengan FTIR diperoleh spektrum yang sama antara *gasoline* tanpa penambahan katalis dengan spektrum FTIR *gasoline* dengan penambahan katalis kristal besar Pr(III)-EDTA dan katalis nanopartikel Pr(III)-EDTA. Hal ini disebabkan karena katalis Kristal besar dan nanopartikel Pr(III)-EDTA hanya berinteraksi dengan *gasoline* tanpa merubah struktur *gasoline*. Hanya intensitasnya saja yang berbeda yang menandakan bahwa adanya interaksi dengan katalis kristal besar dan nanopartikel Pr(III)-EDTA.

Dibawah ini adalah spektrum hasil analisa *gasoline* sebelum dan sesudah penambahan katalis dengan menggunakan FTIR :



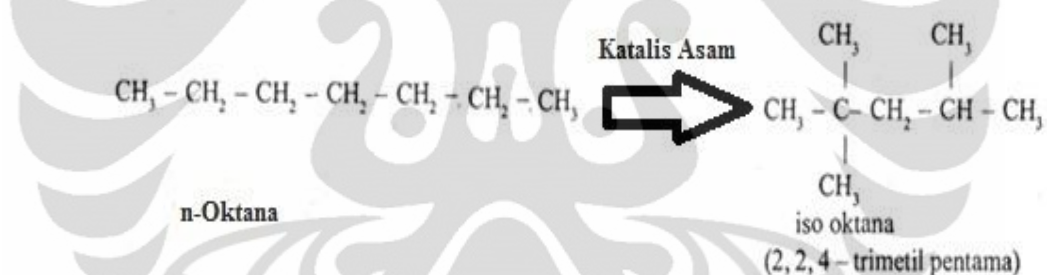
Gambar 4.6. Spektrum FTIR Bensin Sebelum dan setelah Penambahan Katalis

4.5.2. Analisis Gasoline Setelah Penambahan Katalis dengan GC-MS

Gasoline setelah di tambahkan katalis kemudian dianalisis dengan menggunakan *Gas Chromatography-Mass Spectrometry* (GC-MS). Analisis ini perlu dilakukan untuk mengetahui perubahan komposisi yang terjadi pada *gasoline* sebelum dan sesudah penambahan katalis zeolit, katalis kristal besar Pr(III)-EDTA/Zeolit dan katalis nanopartikel Pr(III)-EDTA/Zeolit yang telah berhasil menaikkan bilangan oktana pada *Gasoline*.

Dari hasil analisis dengan GC-MS terlihat terjadi peningkatan % *peak area* komponen isooktana (C_8H_{18}) setelah penambahan katalis zeolit, katalis kristal besar Pr(III)-EDTA/Zeolit dan katalis nanopartikel Pr(III)-EDTA/Zeolit. Dari data GC-MS juga diperoleh terjadi penurunan % *peak area* pada komponen n-Oktana (C_8H_{18}) yang merupakan alkana rantai lurus pada penambahan katalis nanopartikel Pr(III)-EDTA/Zeolit. Hal ini menandakan bahwa terjadi konversi

dari alkana rantai lurus menjadi alkana rantai bercabang. Meningkatnya jumlah alkana rantai lurus yang terkonversi secara katalitik menjadi alkana rantai bercabang ini sesuai dengan pernyataan bahwa *gasoline* dengan kualitas yang baik harus mengandung lebih banyak alkana rantai bercabang/alisiklik/aromatik dibandingkan alkana rantai lurus, kualitas *gasoline* ini dinyatakan oleh bilangan oktana [Chen *et al.*, 2007]. Terjadinya proses konversi katalitik alkana rantai lurus menjadi alkana rantai bercabang ini kemungkinan dipengaruhi oleh keasaman katalis dimana keasaman katalis zeolit dapat ditingkatkan dengan cara impregnasi logam-logam transisi dan logam lantanida [Trisunaryanti *et al.*, 1996]. Peningkatan konversi katalitik n-Oktana menjadi iso oktana berkaitan dengan peningkatan keasaman katalis dan efek dari sisi asam lewis dan asam bronsted dalam katalis [Chen *et al.*, 2007]. Reaksi yang terjadi dapat dilihat pada gambar dibawah ini :



Gambar 4.7. Reaksi Konversi n-Oktana Menjadi Isooktana

Dibawah ini adalah tabel hasil analisis *Gasoline* setelah penambahan katalis dengan GC-MS :

Tabel 4.5. Hasil Analisis *Gasoline* dengan GC-MS

| Komponen | <i>Gasoline</i> | | <i>Gasoline +</i> | | <i>Gasoline +Katalis Kristal</i> | | <i>Gasoline +Katalis Nanopartikel</i> | |
|--------------|-----------------|--------|-----------------------|--------|----------------------------------|--------|---------------------------------------|--------|
| | | | <i>Katalis Zeolit</i> | | <i>Besar Pr(III)-EDTA/Zeolit</i> | | <i>Pr(III)-EDTA/Zeolit</i> | |
| | Waktu | % Peak | Waktu | % Peak | Waktu | % Peak | Waktu | % Peak |
| | Retensi (menit) | Area | Retensi (menit) | Area | Retensi (menit) | Area | Retensi (menit) | Area |
| Butane | 4.56 | 3.0540 | 4.56 | 2.9990 | 4.55 | 2.9260 | 4.56 | 3.4940 |
| 2-Butene | 4.71 | 1.7740 | 4.71 | 1.6610 | 4.71 | 1.7060 | 4.72 | 2.0660 |
| Pentane | 4.93 | 3.5340 | 4.93 | 3.4710 | 4.93 | 3.4520 | 4.95 | 3.8960 |
| Hexane | 5.11 | 2.3830 | 5.11 | 2.4020 | 5.11 | 2.4000 | 5.14 | 2.5590 |
| 2-Pentene | 5.16 | 1.3230 | 5.16 | 1.4360 | 5.15 | 1.2620 | 5.18 | 1.5210 |
| Cyclopentane | 5.36 | 2.4180 | 5.36 | 2.3960 | 5.35 | 2.4210 | 5.38 | 2.3910 |
| Cyclopentene | 5.54 | 1.4650 | 5.54 | 1.4290 | 5.53 | 1.5040 | 5.57 | 1.5280 |
| Heptane | 5.91 | 2.0670 | 5.91 | 2.0770 | 5.91 | 2.0880 | 5.95 | 1.9330 |
| 3-Hexene | 5.97 | 1.6570 | 5.97 | 1.6370 | 5.97 | 1.6660 | 5.99 | 1.8720 |
| 2-Hexene | 6.04 | 0.3650 | 6.04 | 0.3580 | 6.03 | 0.3740 | 6.06 | 0.4250 |
| Cyclohexane | 6.22 | 2.5020 | 6.22 | 2.4920 | 6.22 | 2.5110 | 6.26 | 2.6900 |
| Benzene | 6.72 | 6.7340 | 6.72 | 6.6810 | 6.72 | 6.4170 | 6.74 | 5.7290 |
| n-Octane | 6.98 | 2.1720 | 6.98 | 2.6040 | 6.97 | 2.6200 | 7.01 | 2.1510 |
| Iso-Octane | 7.75 | 0.8300 | 7.75 | 0.8510 | 7.74 | 0.8610 | 7.77 | 0.9550 |
| Nonane | 8.16 | 0.8630 | 8.15 | 0.8820 | 8.15 | 0.8920 | 8.19 | 1.0010 |
| Dodecane | 11.49 | 0.0860 | 11.48 | 0.1020 | 11.48 | 0.0900 | 11.52 | 0.0910 |
| Naphthalene | 11.68 | 0.7800 | 11.68 | 0.8120 | 11.68 | 0.7950 | 11.70 | 0.7440 |

BAB 5

KESIMPULAN

Dari penelitian tentang Peningkatan Bilangan Oktana Pada *Gasoline* Menggunakan Katalis Praseodium(III)-EDTA/Zeolit diperoleh kesimpulan sebagai berikut :

1. Fabrikasi nanopartikel kompleks Praseodium(III)-EDTA berhasil memperoleh ukuran kompleks Praseodium(III)-EDTA dalam bentuk nanometer berdasarkan foto TEM, yaitu diameter 5,8-28,6 nm dan panjang 149,8 nm.
2. Impregnasi kristal besar dan nanopartikel kompleks Praseodium(III)-EDTA ke dalam zeolit klinoptilolit berhasil dilakukan. Hal ini dibuktikan dari hasil karakterisasi katalis dengan menggunakan XRF dengan adanya kandungan Pr dalam katalis kristal besar Pr(III)-EDTA/zeolit dan katalis nanopartikel Pr(III)-EDTA/zeolit masing-masing sebesar 0,4175 % dan 0,5236 %.
3. Terjadi penurunan luas permukaan katalis yang awalnya sebesar $30,86 \text{ m}^2/\text{g}$ setelah penambahan kristal besar Pr(III)-EDTA menjadi sebesar $24,09 \text{ m}^2/\text{g}$ dan setelah penambahan nanopartikel Pr(III)-EDTA menjadi $9,91 \text{ m}^2/\text{g}$. Hal ini disebabkan logam Pr(III) yang terimpregnasi menutupi permukaan pori dari zeolit.
4. Berdasarkan hasil analisis FTIR terlihat spektrum yang hampir sama antara katalis tanpa impregnasi dengan katalis yang diimpregnasi dengan kristal besar Pr(III)-EDTA maupun nanopartikel Pr(III)-EDTA. Hal ini disebabkan Pr(III)-EDTA hanya berinteraksi secara fisika dengan zeolit tanpa merubah struktur kristal zeolit.

5. Dari hasil karakterisasi katalis menggunakan XRD diperoleh katalis zeolit yang diimpregnasi dengan kristal besar Pr(III)-EDTA dan nanopartikel Pr(III)-EDTA memiliki puncak yang sama dengan katalis zeolit tanpa impregnasi. Tidak terbentuknya puncak-puncak baru menandakan bahwa tidak terbentuk fasa atau senyawa baru yang mempunyai kristalinitas yang tinggi. Hal ini membuktikan bahwa struktur kristal katalis zeolit tidak mengalami perubahan.
6. Pengukuran bilangan oktana dengan *octane meter* SHATOX SX-200 menunjukkan peningkatan bilangan oktana pada *gasoline* untuk katalis kristal besar Pr(III)-EDTA/Zeolit dan katalis nanopartikel Pr(III)-EDTA/Zeolit masing-masing dari 88,2 menjadi 89,2 dan 89,6 atau terjadi kenaikan 1 dan 1,4. Sedangkan penambahan katalis zeolit tanpa modifikasi meningkatkan bilangan oktana dari 88,2 menjadi 88,8 terjadi kenaikan 0,6.
7. Dari hasil karakterisasi dengan FTIR diperoleh spektrum yang sama antara *gasoline* tanpa penambahan katalis dengan spektrum FTIR *gasoline* dengan penambahan katalis kristal besar Pr(III)-EDTA dan katalis nanopartikel Pr(III)-EDTA. Hal ini disebabkan karena katalis kristal besar dan nanopartikel Pr(III)-EDTA hanya berinteraksi dengan *gasoline* tanpa merubah struktur *gasoline*. Hanya intensitasnya saja yang berbeda yang menandakan bahwa adanya interaksi dengan katalis kristal besar dan nanopartikel Pr(III)-EDTA.
8. Peningkatan bilangan oktana pada *gasoline* dapat terjadi akibat terjadi konversi katalitik dari alkana rantai lurus menjadi alkana rantai bercabang. Hal ini dibuktikan dari hasil analisis *gasoline* setelah penambahan katalis menggunakan GC-MS dimana terjadi penurunan % *peak area* untuk komponen n-Oktana yang merupakan alkana rantai lurus pada penambahan katalis nanopartikel Pr(III)-EDTA/Zeolit dan terjadi kenaikan % *peak area* komponen isooktana yang merupakan alkana rantai bercabang yang menunjukan terjadinya konversi dari alkana rantai lurus menjadi alkana rantai bercabang.

DAFTAR REFERENSI

- Abdelsayed, V., Saoud, K.M., Samy, M.(2005). *Vapor phase synthesis and characterization of bimetallic alloy and supported nanoparticle catalysts.* Department of Chemistry, Virginia Commonwealth University, Richmond, VA, 23284-2006, USA
- Picric Acid*.. <http://en.wikipedia.org/wiki/Picric-acid.html>, accessed : April 14, 2010
- Ardhyarini. 2003. *Impregnasi La dan Ce Pada zeolit LZY-84 1/16" serta uji katalis pada perengkahan katalitik gas oil.* Karya utama sarjana kimia FMIPA UI.
- Aspinall, H.C.(2001). *Chemistry of the f-block elements.* CRC Press. p. 8.
- Cotton,Wilkinson.(1989). Kimia Anorganik Dasar, Peberbit Universitas Indonesia (UI Press).
- Chen L, Wang X *, Guo H, Guo X, Wang Y, Liu H, Li G. 2007. *Hydroconversion of n-octane over nanoscale HZSM-5 zeolites promoted by 12-molybdochosphoric acid and Ni.* Catalysis Communications 8 ,pp 416–423.
- Gasoline*.<http://en.wikipedia.org/wiki/gasoline.html>.accessed:October 10,2010.
- Guzman D. K.A., Taylor M.R., Banfield J.F. (2006). *Environmental Risks Of Nanotechnology.* National nanotechnology initiative funding, Environ. Sci. Technol.
- Hatch, Lewis F, Sami M,.From.(1982). *Hydrocarbon To Petrochemicals.* Gulf Publishing Company, Houston
- Huang,P.X., Wu, F. Zhu, B. L., Li, Y., Wang, X. P., Gao, H. Y., Zhu, T. Y., Yan, W. P., Huang, S., Zhang, M., Song, D.Y. (2006). *Praseodymium*

Hydroxide and Oxide Nanorods and Au/Pr₆O₁₁ Nanorod Catalysts for CO Oxidation. J. Phys. Chem. B, 110 (4), pp 1614–1620.

Khaerudin, J.M, Cathaputra E, winoto, H.P. (2007). *Produksi Isopropil Alkohol Murni Untuk Aditif Bensin yang Ramah Lingkungan Sebagai Wujud Pemanfaatan Produk Samping Pada Industri Gas Alam*. Lomba karya ilmiah mahasiswa ITB bidang energy.

Kilbourn, B.T.(1986). *The Role Of Lantanida*. J. Less-Common Metals, 126, pp 101-106.

Komalasari, S.(2009). *Potensi Nanopartikel Au Pada Zeolit Klinoptilolit Termodifikasi Ligan L-Sistein Sebagai Adsorben Ion Pb(III)*. Karya utama sarjana kimia FMIPA UI.

Kusrini, E., Saleh,M.I. (2009). *Luminescence and structural studies of yttrium and heavier lanthanide-picrate complexes with pentaethylene glycol, Inorg. Chim. Acta*, 362, 4025.

Kusrini, E., Saleh,M.I., Adnan, R., Rohanizah, Rahim, Fun,H.K.(2010). *Tiga Dimensi Struktur Polimer dan Studi Magnetik Heterometalik Na (I)-Gd (III) kompleks dengan etilendiaminatetraasetat, Inorg. Chim. Acta*.

Krisnandi, Krisyuningsih,Y.(2006). *Diktat Kuliah Material Aluminosilika*. Dept. Kimia FMIPA UI, Depok.

Lantanida. <http://id.wikipedia.org/wiki/Lantanida.html>, accessed : April 9, 2010.

Leach, Bruce, E. (1983). *Applied Industrial and Catalysis vol 1*. Academic Press.

Microstruktural Analysis. <http://www.nims.go.jp/htm21/MA/index.html>, accessed :14 April, 2010.

Nanoparticle.<http://en.wikipedia.org/wiki/Nanoparticle.html>.accessed:April 9,2010.

Octane Rating. http://en.wikipedia.org/wiki/octane_rating.html. accessed:October 18,2010.

Oikawa, H., Oshikiri, T., Kasai, H., Okada, S., Tripathy, S.K., Nakanishi, H. (2000). *Various Types of Polydiacetylene Microcrystals Fabricated by Reprecipitation Technique and Some Applications*, *Polym. Adv. Technol.* 11 783.

Ralph F.J., Joan F. S.(1997). *Dasar-Dasar Kimia Organik*. Bina Rupa Aksara, Jakarta

Richardson, J.T. (1989). *Principles of Catalyst Development*. New York: Plenum Press.

Roccky. (2007). *Studi nanopartikel emas termodifikasi dithizone sebagai sensor ion logam*. Karya utama sarjana kimia FMIPA UI.

Saleh, M.I., Kusrini, E., Adnan, R., Rahman, I.A., Saad, B., Usman, A., Fun, H.K., Yamin, B.M.(2005). *The crystal structure and thermal stability of [bis-picrate (pentaethylene glycol)] praseodymium(III) picrate complex*, *J. Chem. Crystallograp.* 35, 469.

Scholes,G.D., Rumbles, G.,(2006). *Excitons in Nanoscale Systems*, *Nat. Mater.* 5 683.

Spesifikasi Bahan Bakar Minyak Jenis Bensin 88. www.migas.esdm.go.id. accessed:October 15,2010.

Struktur EDTA. http://en.wikipedia.org/wiki/File:Edta_structure.html. Accessed : April 3, 2010.

Trisunaryanti,W., Shiba, R., Miura, M., Nomura, M., Nishiyama,N., Matsukata, M. (1996). *Characterization and Modification of Indonesian Natural Zeolite and Their Properties for Hyderocracking of parafin*, *Journal of The Japan Petroleum Institute*, Vol.39, No.1,20-25.

Windsor, C.M. (1998). *Computational Studies of Zeolit Catalysis*. Rev. Maret.

LAMPIRAN

Lampiran 1

Data Perhitungan

1. Impregnasi kristal besar Pr(III)-EDTA ke dalam zeolit klinoptilolit dengan perbandingan 2 % berat/berat (zeolit yang digunakan 4 gram)

$$\frac{x \text{ gram}}{4 \text{ gram} + X \text{ gram}} \times 100 \% = 2 \%$$

$$100x = 8 + 2x$$

$$98x = 8$$

$$x = 0,0816 \text{ gram}$$

2. Impregnasi nanopartikel Pr(III)-EDTA ke dalam zeolit klinoptilolit dengan perbandingan 2 % berat/berat (zeolit yang digunakan 4 gram)

$$\frac{x \text{ gram}}{4 \text{ gram} + X \text{ gram}} \times 100 \% = 2 \%$$

$$100x = 8 + 2x$$

$$98x = 8$$

$$x = 0,0816 \text{ gram}$$

Lampiran 2

Hasil Karakterisasi Katalis Zeolit dengan *Surface Area Analyzer (BET)*

KEMENTERIAN KEUANGAN REPUBLIK INDONESIA
 BALAI PENGUJIAN DAN IDENTIFIKASI BARANG JAKARTA
 Quantachrome NovaWin ©1994-2007, Quantachrome Instruments v10.01



| Analysis | | Report | | | |
|---|------------------------|--------------------------|--|------------------------|------------------------|
| Operator: | nurefje | Date: | 2010/10/13 | Operator: | nurefje |
| Sample ID: | contoh zeolit | Filename: | C:\QC\data\Physisorb\inf_contoh 2.qps <th>Date:</th> <td>10/14/2010</td> | Date: | 10/14/2010 |
| Isotherm | | | | | |
| Relative Pressure | Volume @ STP [cc/g] | Relative Pressure | Volume @ STP [cc/g] | Relative Pressure | Volume @ STP [cc/g] |
| 5.36610e-02 | 9.3918 | 5.51473e-01 | 11.5146 | 8.00070e-01 | 18.2949 |
| 7.96200e-02 | 9.6126 | 6.01508e-01 | 11.7587 | 7.53895e-01 | 16.8176 |
| 1.02618e-01 | 9.7985 | 6.49824e-01 | 12.0453 | 7.00489e-01 | 15.7593 |
| 1.28054e-01 | 9.9654 | 7.01387e-01 | 12.4827 | 6.50384e-01 | 14.9873 |
| 1.53246e-01 | 10.1022 | 7.49616e-01 | 12.9994 | 5.97781e-01 | 14.4059 |
| 1.78096e-01 | 10.2219 | 7.96671e-01 | 13.8536 | 5.46538e-01 | 14.0006 |
| 2.03441e-01 | 10.3240 | 8.48825e-01 | 15.2586 | 4.98102e-01 | 13.4797 |
| 2.28927e-01 | 10.4170 | 8.98367e-01 | 18.1107 | 4.30386e-01 | 11.8566 |
| 2.53365e-01 | 10.4993 | 9.48667e-01 | 24.2781 | 3.95274e-01 | 11.6653 |
| 2.77803e-01 | 10.5715 | 9.82221e-01 | 37.0106 | 3.48723e-01 | 11.5438 |
| 3.02743e-01 | 10.6517 | 9.93020e-01 | 56.5700 | 2.96552e-01 | 11.3874 |
| 3.63165e-01 | 10.8122 | 9.80037e-01 | 53.4369 | 2.46719e-01 | 11.2674 |
| 4.05584e-01 | 10.9585 | 9.52248e-01 | 40.7213 | 1.96538e-01 | 11.1426 |
| 4.51976e-01 | 11.1196 | 8.93575e-01 | 27.4434 | 1.47040e-01 | 10.9676 |
| 5.01417e-01 | 11.3034 | 8.43502e-01 | 20.4645 | 9.70400e-02 | 10.7643 |
| Multi-Point BET | | | | | |
| Relative Pressure [P/Po] | Volume @ STP [cc/g] | 1 / [W((Po/P) - 1)] | Relative Pressure [P/Po] | Volume @ STP [cc/g] | 1 / [W((Po/P) - 1)] |
| 1.02618e-01 | 9.7985 | 9.3377e+00 | 2.53365e-01 | 10.4993 | 2.5860e+01 |
| 1.53246e-01 | 10.1022 | 1.4334e+01 | 3.02743e-01 | 10.6517 | 3.2615e+01 |
| 2.03441e-01 | 10.3240 | 1.9794e+01 | | | |
| MBET summary | | | | | |
| Slope = | | 116.040 | | | |
| Intercept = | | -3.178e+00 | | | |
| Correlation coefficient, r = | | 0.997905 | | | |
| C constant = | | -35.618 | | | |
| Surface Area = | | 30.856 m ² /g | | | |
| Total Pore Volume data | | | | | |
| <u>Total Pore Volume</u> | | | | | |
| Total pore volume = 8.750e-02 cc/g for pores smaller than 2763.4 Å (Diameter) at P/Po = 0.99302 | | | | | |
| Average PoreSize data | | | | | |
| Average pore Diameter = 1.13433e+02 Å | | | | | |

Lampiran 3

Hasil Karakterisasi Katalis Kristal Besar Pr(III)-EDTA/Zeolit dengan *Surface Area Analyzer* (BET)

KEMENTERIAN KEUANGAN REPUBLIK INDONESIA
 BALAI PENGUJIAN DAN IDENTIFIKASI BARANG JAKARTA
 Quantachrome NovaWin ©1994-2007, Quantachrome Instruments v10.01



Analysis
 Operator:nurefje
 Sample ID: contoh kristal besar

Date:2010/10/18
 Filename:

Report
 Operator:nurefje
 C:\QCdata\Physisorb\inf_contoh_1b.qps

Date:10/19/2010

Isotherm

| Relative Pressure | Volume @ STP [cc/g] | Relative Pressure | Volume @ STP [cc/g] | Relative Pressure | Volume @ STP [cc/g] |
|-------------------|------------------------|-------------------|------------------------|-------------------|------------------------|
| 5.47660e-02 | 6.4482 | 5.48686e-01 | 9.7576 | 7.94272e-01 | 19.3190 |
| 7.65070e-02 | 6.7129 | 5.97261e-01 | 10.1912 | 7.50234e-01 | 17.3452 |
| 1.00892e-01 | 6.9425 | 6.46837e-01 | 10.6786 | 6.98709e-01 | 15.8063 |
| 1.26195e-01 | 7.1436 | 6.98667e-01 | 11.6076 | 6.54747e-01 | 14.7307 |
| 1.51456e-01 | 7.3142 | 7.50665e-01 | 12.5940 | 6.04287e-01 | 13.6740 |
| 1.76502e-01 | 7.4698 | 7.95823e-01 | 13.7482 | 5.52659e-01 | 12.8183 |
| 2.01763e-01 | 7.6139 | 8.49017e-01 | 15.9225 | 5.01218e-01 | 11.9820 |
| 2.27059e-01 | 7.7486 | 9.02211e-01 | 19.4631 | 4.28586e-01 | 9.2751 |
| 2.51458e-01 | 7.8748 | 9.48101e-01 | 27.3929 | 4.04027e-01 | 9.0131 |
| 2.76615e-01 | 8.0041 | 9.80639e-01 | 45.0812 | 3.52976e-01 | 8.6675 |
| 3.01479e-01 | 8.1284 | 9.90720e-01 | 71.2295 | 2.98008e-01 | 8.2941 |
| 3.49149e-01 | 8.3872 | 9.78225e-01 | 62.8631 | 2.47886e-01 | 8.0046 |
| 3.98900e-01 | 8.6653 | 9.54647e-01 | 46.1019 | 1.97874e-01 | 7.6984 |
| 4.47446e-01 | 8.9609 | 9.03826e-01 | 31.1333 | 1.48395e-01 | 7.3873 |
| 5.02936e-01 | 9.4248 | 8.49477e-01 | 23.2942 | 9.70730e-02 | 6.9856 |

Multi-Point BET

| Relative Pressure [P/Po] | Volume @ STP [cc/g] | 1 / [W((Po/P) - 1)] | Relative Pressure [P/Po] | Volume @ STP [cc/g] | 1 / [W((Po/P) - 1)] |
|-----------------------------|------------------------|-----------------------|-----------------------------|------------------------|-----------------------|
| 1.00892e-01 | 6.9425 | 1.2932e+01 | 2.51458e-01 | 7.8748 | 3.4132e+01 |
| 1.51456e-01 | 7.3142 | 1.9525e+01 | 3.01479e-01 | 8.1284 | 4.2484e+01 |
| 2.01763e-01 | 7.6139 | 2.6562e+01 | | | |

MBET summary

Slope = 147.051
 Intercept = -2.491e+00
 Correlation coefficient, r = 0.998780
 C constant= -58.042

Surface Area = 24.090 m²/g

Total Pore Volume data

Total Pore Volume

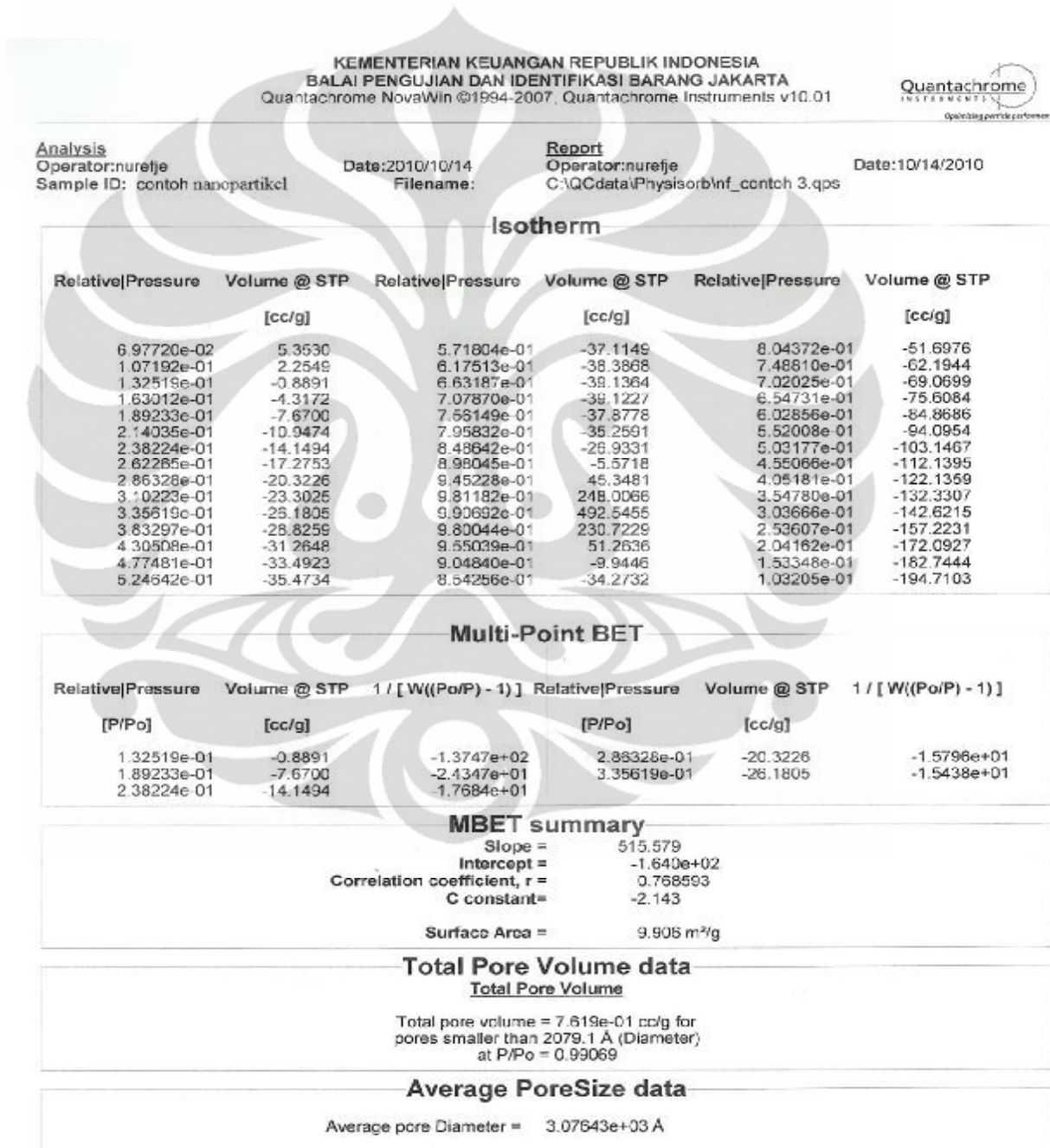
Total pore volume = 1.102e-01 cc/g for pores smaller than 2085.2 Å (Diameter) at P/Po = 0.99072

Average PoreSize data

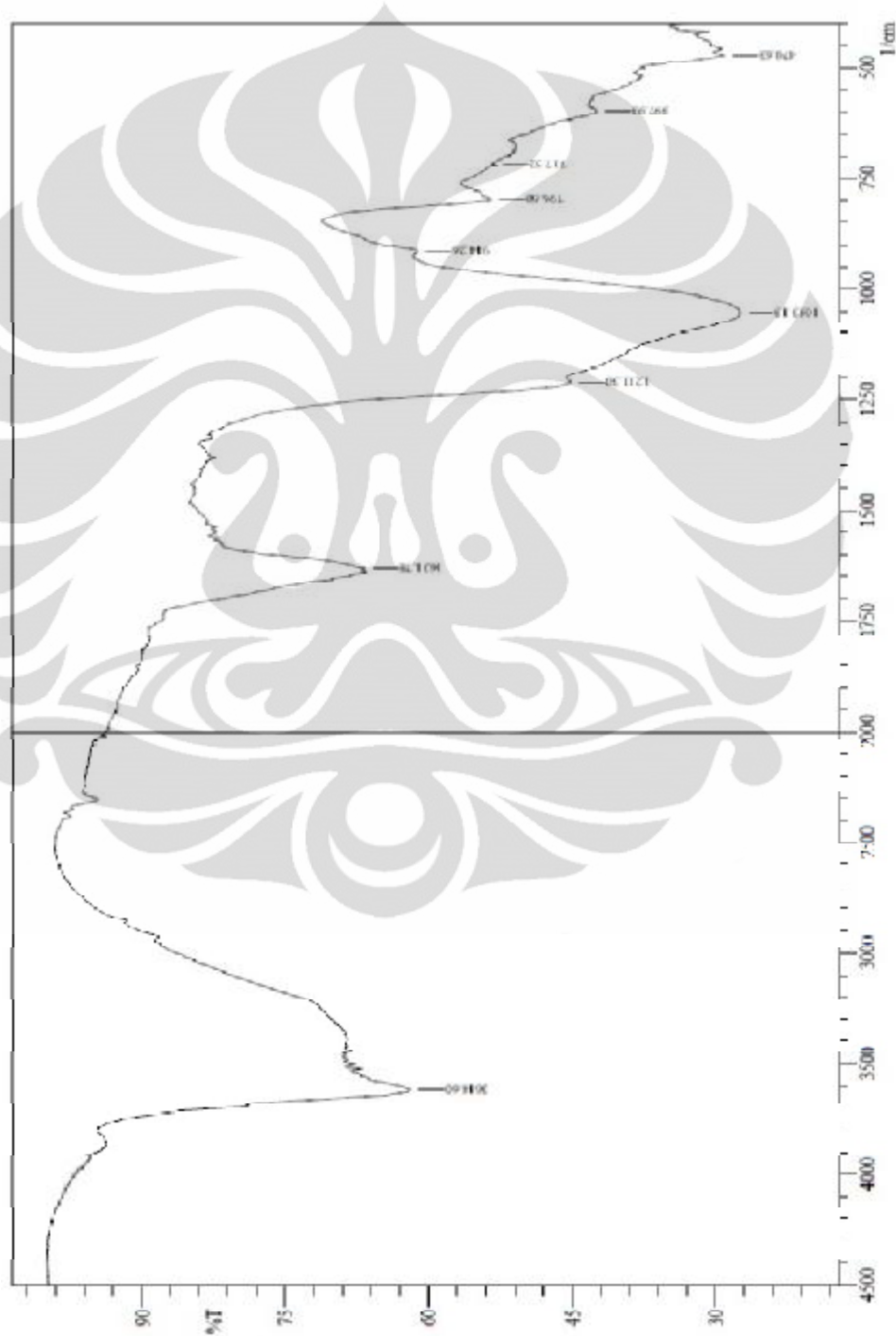
Average pore Diameter = 1.82943e+02 Å

Lampiran 4

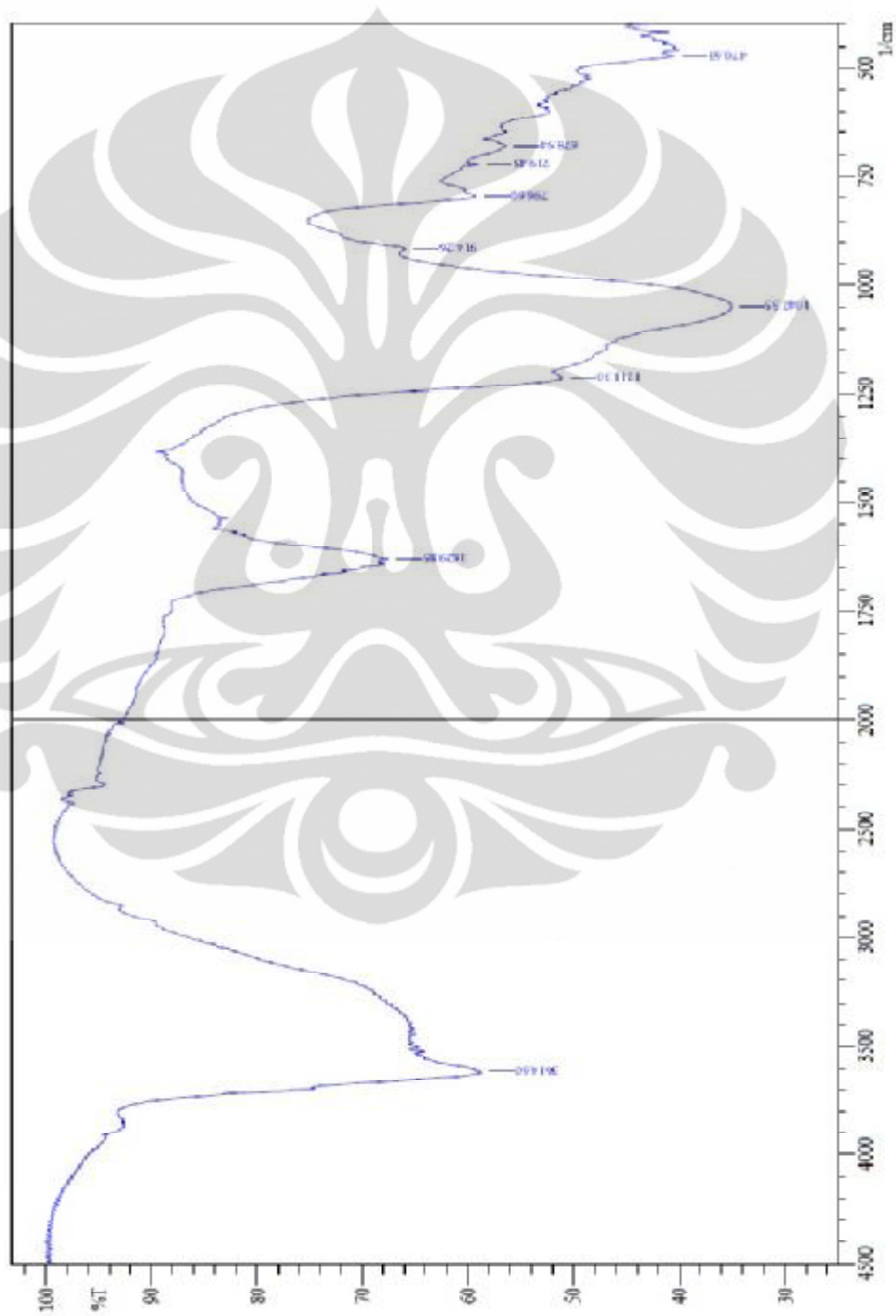
Hasil Karakterisasi Katalis Nanopartikel Pr(III)-EDTA/Zeolit dengan *Surface Area Analyzer* (BET)

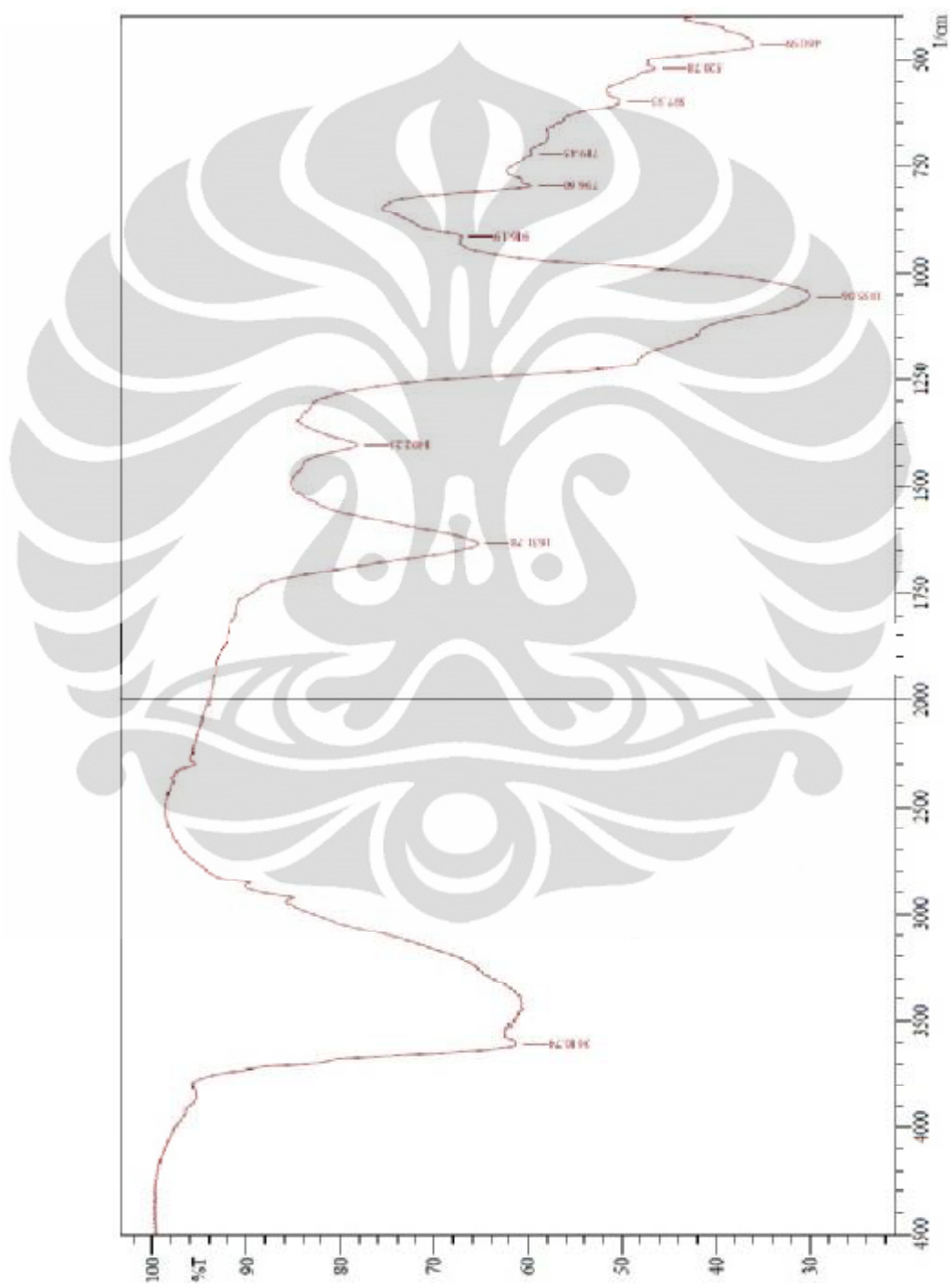


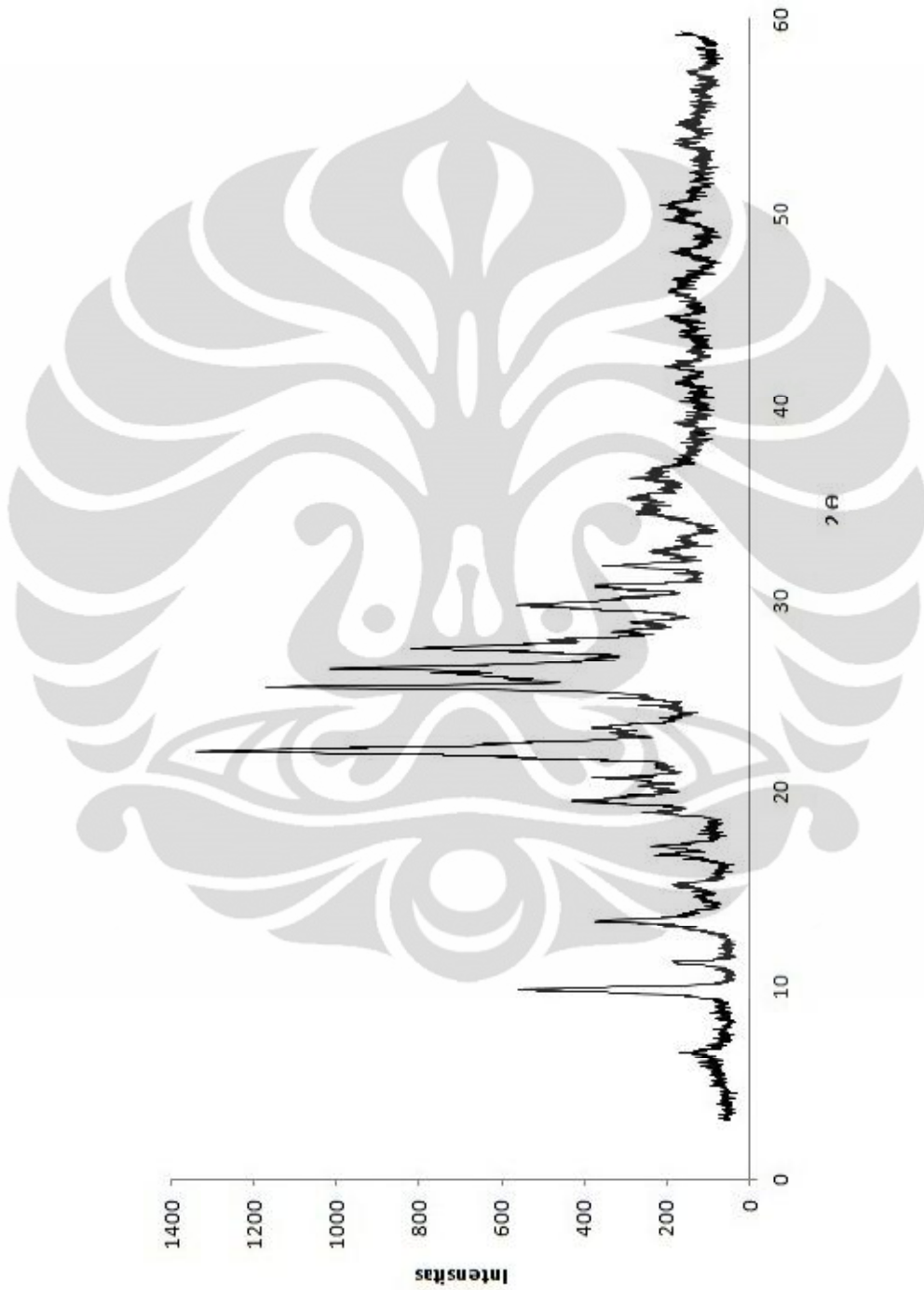
Lampiran 5
Spektrum FT-IR Katalis Zeolit

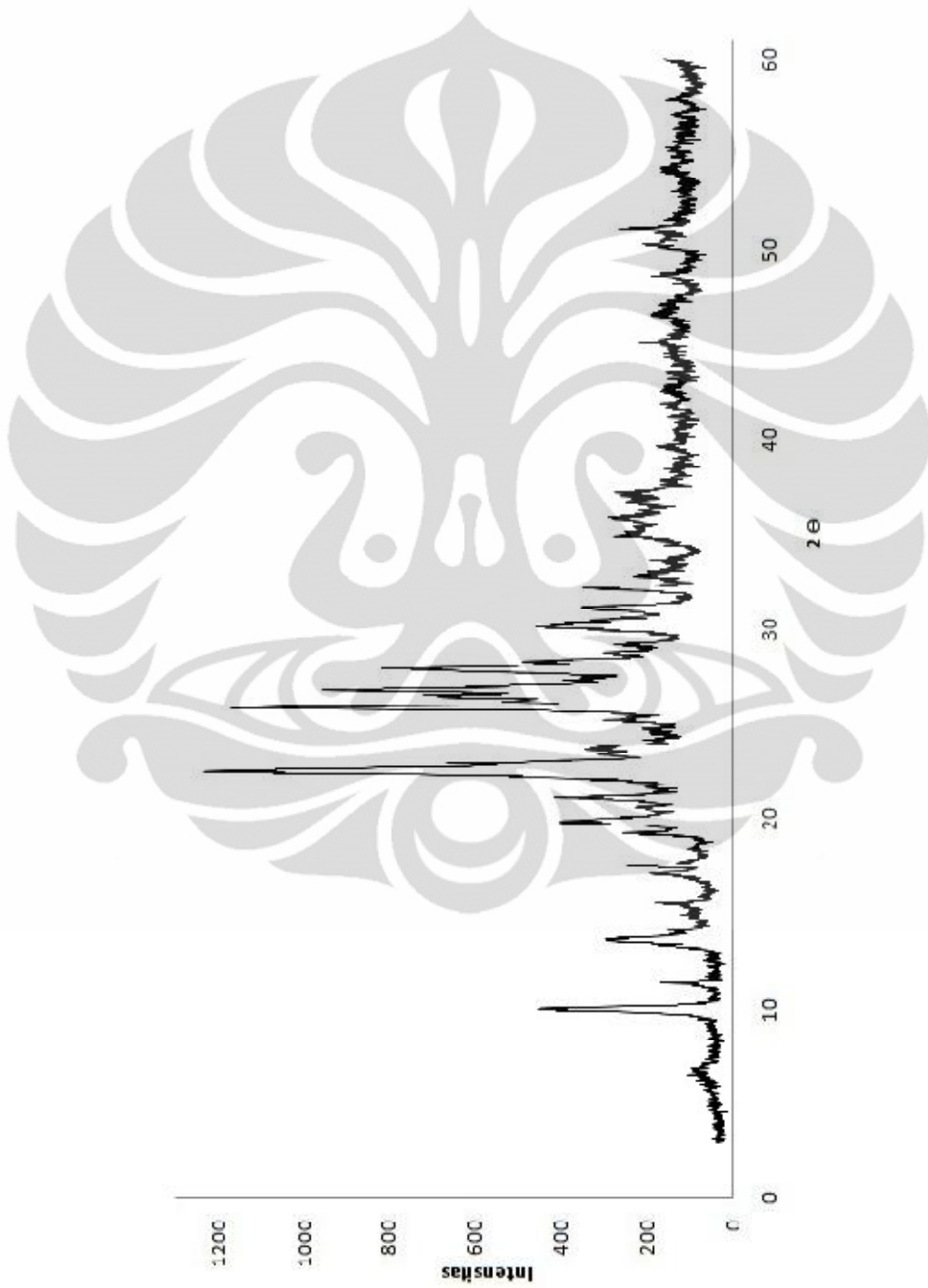


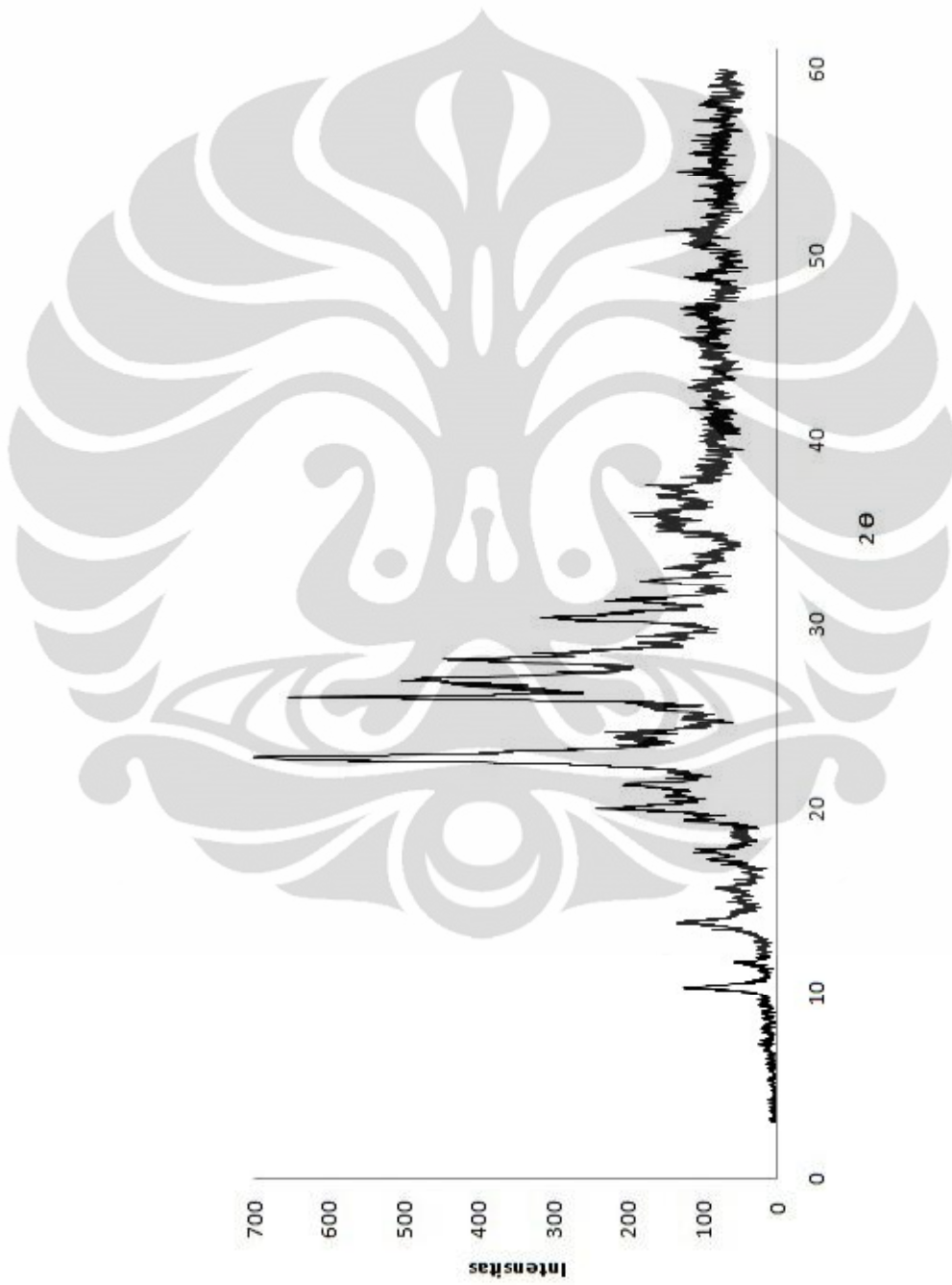
Lampiran 6
Spektrum FT-IR Katalis Kristal Besar Pr(III)-EDTA/Zeolit

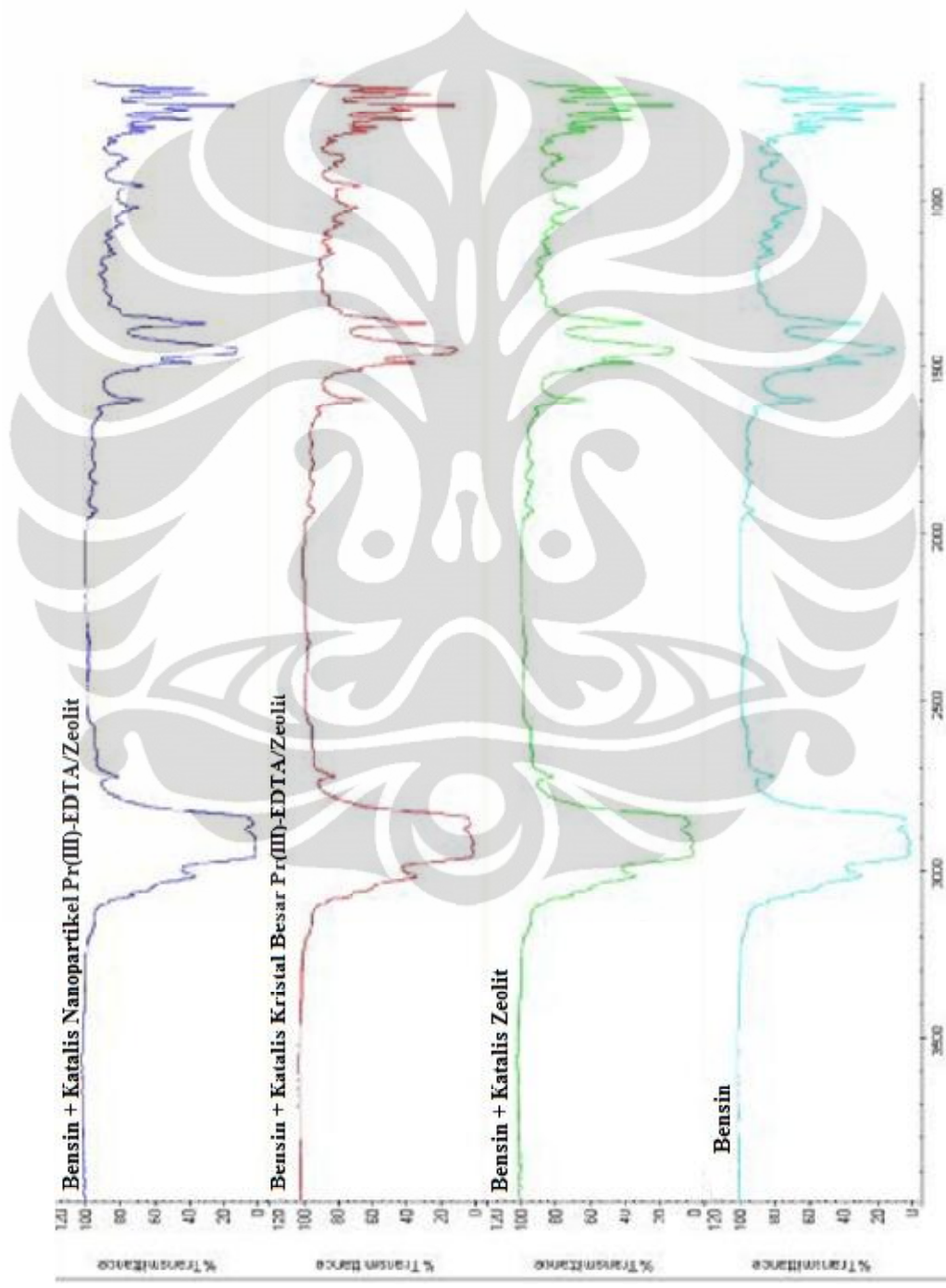


Lampiran 7**Spektrum FT-IR Katalis Nanopartikel Pr(III)-EDTA/Zeolit**

Lampiran 8**Difraktogram XRD Katalis Zeolit**

Lampiran 9**Difraktogram XRD Katalis Kristal Besar Pr(III)-EDTA/Zeolit**

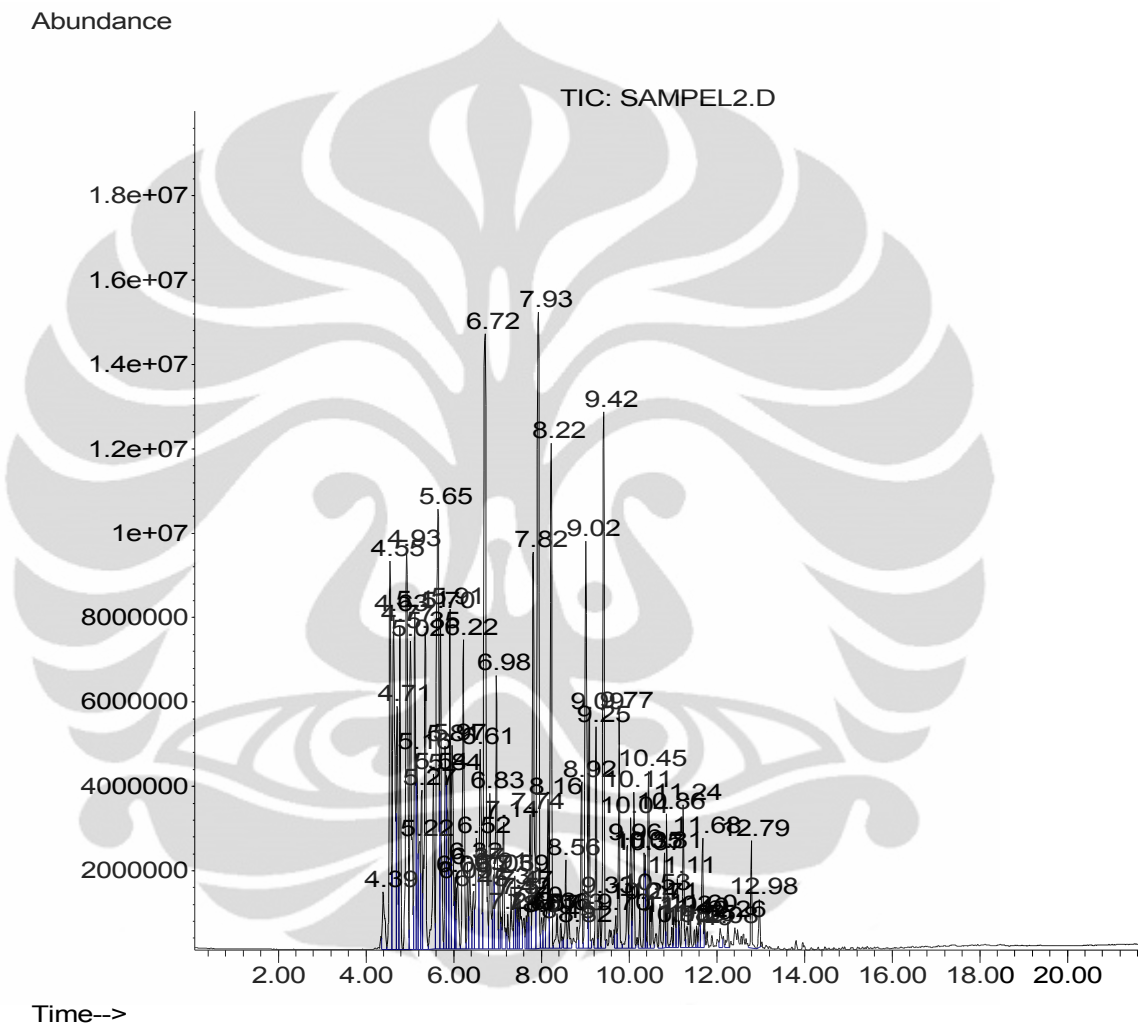
Lampiran 10**Difraktogram XRD Katalis Nanopartikel Pr(III)-EDTA/Zeolit**

Lampiran 11**Spektrum FT-IR Gasoline Sebelum dan Sesudah Penambahan Katalis**

Lampiran 12

Kromatogram GC-MS Gasoline

Abundance



Integration Parameters: VINO.E

Integrator: ChemStation

Method : C:\MSDCHEM\1\METHODS\BBM LGS.M

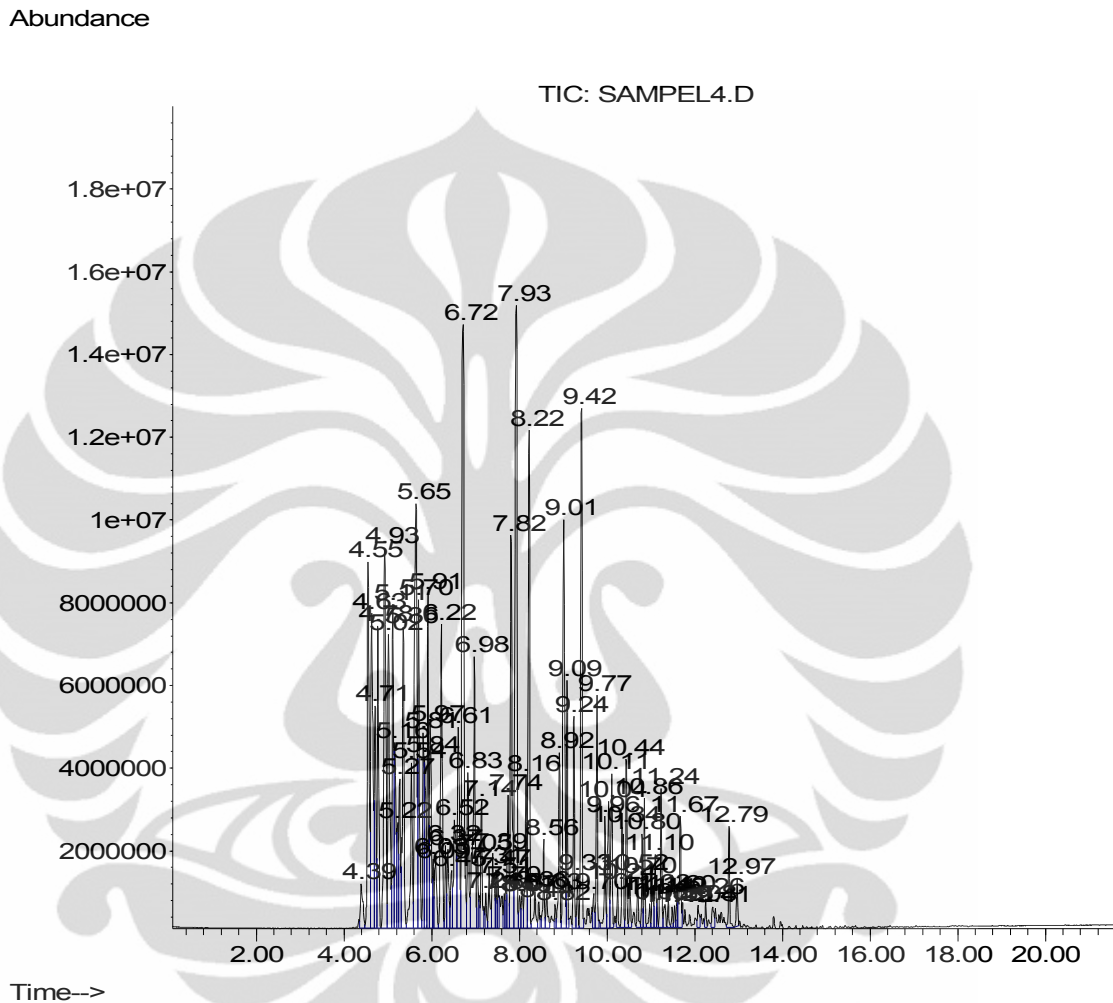
| peak # | R.T. min | first scan | max scan | last scan | PK TY | peak height | corr. area | corr. % max. | (Lanjutan) % of total |
|-----------|-------------|---------------|-------------|--------------|----------|----------------|---------------|-----------------|-----------------------------|
| 1 | 4.396 | 485 | 490 | 499 | VV 3 | 1351954 | 50713030 | 9.11% | 0.613% |
| 2 | 4.555 | 499 | 508 | 512 | VV | 9024388 | 252574963 | 45.35% | 3.054% |
| 3 | 4.625 | 512 | 516 | 523 | VV 2 | 7815790 | 275552945 | 49.48% | 3.332% |
| 4 | 4.714 | 523 | 526 | 530 | VV | 5790760 | 146718219 | 26.35% | 1.774% |
| 5 | 4.775 | 530 | 533 | 541 | VV | 7685193 | 175781537 | 31.56% | 2.125% |
| 6 | 4.934 | 541 | 551 | 557 | PV 4 | 9344378 | 292281058 | 52.48% | 3.534% |
| 7 | 5.013 | 557 | 560 | 568 | VV 2 | 7163631 | 202215382 | 36.31% | 2.445% |
| 8 | 5.110 | 568 | 571 | 575 | VV | 7881063 | 197130220 | 35.40% | 2.383% |
| 9 | 5.163 | 575 | 577 | 581 | VV 2 | 4669769 | 109462390 | 19.66% | 1.323% |
| 10 | 5.225 | 581 | 584 | 586 | VV 2 | 2562573 | 70245019 | 12.61% | 0.849% |
| 11 | 5.269 | 586 | 589 | 592 | VV 2 | 3732531 | 81908679 | 14.71% | 0.990% |
| 12 | 5.357 | 592 | 599 | 606 | VV 2 | 7379928 | 200019635 | 35.92% | 2.418% |
| 13 | 5.542 | 606 | 620 | 624 | VV 2 | 4063951 | 121202377 | 21.76% | 1.465% |
| 14 | 5.648 | 624 | 632 | 635 | VV 3 | 10383003 | 381917369 | 68.58% | 4.618% |
| 15 | 5.701 | 635 | 638 | 646 | VV 2 | 7968112 | 190732585 | 34.25% | 2.306% |
| 16 | 5.816 | 646 | 651 | 652 | VV 2 | 4715007 | 97383526 | 17.49% | 1.177% |
| 17 | 5.833 | 652 | 653 | 659 | VV 3 | 4072427 | 106534475 | 19.13% | 1.288% |
| 18 | 5.912 | 659 | 662 | 665 | VV | 7936906 | 170942634 | 30.70% | 2.067% |
| 19 | 5.965 | 665 | 668 | 673 | VV 3 | 4824023 | 137077995 | 24.61% | 1.657% |
| 20 | 6.036 | 673 | 676 | 678 | VV | 1649822 | 30200858 | 5.42% | 0.365% |
| 21 | 6.089 | 678 | 682 | 689 | VV 4 | 1538315 | 53679204 | 9.64% | 0.649% |
| 22 | 6.221 | 689 | 697 | 704 | VV 3 | 7209775 | 206897670 | 37.15% | 2.502% |
| 23 | 6.318 | 704 | 708 | 711 | VV | 1924878 | 35597023 | 6.39% | 0.430% |
| 24 | 6.371 | 711 | 714 | 720 | VV 4 | 1808713 | 52653998 | 9.45% | 0.637% |
| 25 | 6.450 | 720 | 723 | 726 | VV 3 | 1364062 | 33322689 | 5.98% | 0.403% |
| 26 | 6.521 | 726 | 731 | 736 | VV 3 | 2659513 | 102858257 | 18.47% | 1.244% |
| 27 | 6.609 | 736 | 741 | 747 | VV 2 | 4763750 | 160433019 | 28.81% | 1.940% |
| 28 | 6.715 | 747 | 753 | 762 | VV | 14555772 | 556906954 | 100.00% | 6.734% |
| 29 | 6.829 | 762 | 766 | 771 | VV 2 | 3589575 | 88221905 | 15.84% | 1.067% |
| 30 | 6.909 | 771 | 775 | 776 | VV 2 | 1753845 | 34317690 | 6.16% | 0.415% |
| 31 | 6.979 | 776 | 783 | 788 | VV 3 | 6315169 | 179614730 | 32.25% | 2.172% |
| 32 | 7.050 | 788 | 791 | 794 | VV 2 | 1685097 | 35869284 | 6.44% | 0.434% |
| 33 | 7.138 | 797 | 801 | 806 | VV | 2991955 | 63079575 | 11.33% | 0.763% |
| 34 | 7.235 | 810 | 812 | 817 | VV 3 | 793108 | 16162713 | 2.90% | 0.195% |
| 35 | 7.305 | 817 | 820 | 826 | VV 3 | 1359802 | 34629223 | 6.22% | 0.419% |
| 36 | 7.393 | 826 | 830 | 832 | VV | 1729335 | 35255287 | 6.33% | 0.426% |
| 37 | 7.429 | 832 | 834 | 836 | VV 3 | 1153376 | 21163522 | 3.80% | 0.256% |
| 38 | 7.473 | 836 | 839 | 841 | VV | 1328943 | 24924225 | 4.48% | 0.301% |
| 39 | 7.517 | 841 | 844 | 850 | VV 5 | 1116721 | 36002590 | 6.46% | 0.435% |
| 40 | 7.658 | 857 | 860 | 862 | VV | 801119 | 14909855 | 2.68% | 0.180% |
| 41 | 7.693 | 862 | 864 | 866 | VV 3 | 938150 | 17699146 | 3.18% | 0.214% |

| | | | | | | | | | |
|----|--------|------|------|------|------|----------|-----------|------------|--------|
| 42 | 7.746 | 866 | 870 | 873 | VV | 3140995 | 68615250 | 12.32% | 0.830% |
| 43 | 7.817 | 873 | 878 | 884 | VV 2 | 9480559 | 249315671 | 44.77% | 3.014% |
| | | | | | | | | (Lanjutan) | |
| 44 | 7.931 | 884 | 891 | 896 | VV | 15084080 | 507766434 | 91.18% | 6.139% |
| 45 | 8.011 | 896 | 900 | 903 | VV 4 | 730876 | 18462148 | 3.32% | 0.223% |
| 46 | 8.072 | 903 | 907 | 910 | VV 5 | 771488 | 22532359 | 4.05% | 0.272% |
| 47 | 8.160 | 910 | 917 | 919 | VV 2 | 3385815 | 71385261 | 12.82% | 0.863% |
| 48 | 8.222 | 919 | 924 | 929 | VV | 11707509 | 278452159 | 50.00% | 3.367% |
| 49 | 8.363 | 929 | 940 | 946 | VV 2 | 779265 | 25399774 | 4.56% | 0.307% |
| 50 | 8.442 | 946 | 949 | 953 | VV | 565391 | 11521289 | 2.07% | 0.139% |
| 51 | 8.557 | 956 | 962 | 966 | VV 2 | 2008067 | 41480810 | 7.45% | 0.502% |
| 52 | 8.628 | 966 | 970 | 978 | VV 2 | 765402 | 21563589 | 3.87% | 0.261% |
| 53 | 8.822 | 989 | 992 | 995 | VV | 505103 | 10025644 | 1.80% | 0.121% |
| 54 | 8.919 | 995 | 1003 | 1007 | VV | 3992845 | 86156013 | 15.47% | 1.042% |
| 55 | 9.015 | 1007 | 1014 | 1020 | VV | 9682056 | 284315822 | 51.05% | 3.438% |
| 56 | 9.095 | 1020 | 1023 | 1029 | VV | 5646017 | 100324193 | 18.01% | 1.213% |
| 57 | 9.245 | 1035 | 1040 | 1045 | VV | 4952654 | 91070391 | 16.35% | 1.101% |
| 58 | 9.333 | 1045 | 1050 | 1053 | VV | 1106513 | 20480025 | 3.68% | 0.248% |
| 59 | 9.421 | 1053 | 1060 | 1065 | VV | 12418745 | 292567724 | 52.53% | 3.537% |
| 60 | 9.703 | 1089 | 1092 | 1094 | VV | 745230 | 14360842 | 2.58% | 0.174% |
| 61 | 9.774 | 1094 | 1100 | 1109 | VV | 5327493 | 107492108 | 19.30% | 1.300% |
| 62 | 9.959 | 1109 | 1121 | 1125 | VV | 2446021 | 51542192 | 9.26% | 0.623% |
| 63 | 10.038 | 1125 | 1130 | 1134 | VV 2 | 2888544 | 73961108 | 13.28% | 0.894% |
| 64 | 10.109 | 1134 | 1138 | 1144 | VV 2 | 3577775 | 83598514 | 15.01% | 1.011% |
| 65 | 10.241 | 1149 | 1153 | 1160 | VV | 984781 | 17591830 | 3.16% | 0.213% |
| 66 | 10.347 | 1160 | 1165 | 1167 | VV | 2212694 | 36648249 | 6.58% | 0.443% |
| 67 | 10.373 | 1167 | 1168 | 1172 | VV | 2155565 | 33847686 | 6.08% | 0.409% |
| 68 | 10.444 | 1172 | 1176 | 1181 | VV | 3974125 | 70406179 | 12.64% | 0.851% |
| 69 | 10.523 | 1181 | 1185 | 1190 | VV 2 | 1192258 | 24270150 | 4.36% | 0.293% |
| 70 | 10.708 | 1201 | 1206 | 1213 | VV | 1059949 | 21603402 | 3.88% | 0.261% |
| 71 | 10.805 | 1213 | 1217 | 1220 | VV | 2155258 | 36724853 | 6.59% | 0.444% |
| 72 | 10.858 | 1220 | 1223 | 1229 | VV | 3038606 | 50668286 | 9.10% | 0.613% |
| 73 | 10.981 | 1229 | 1237 | 1240 | VV 2 | 492886 | 11140663 | 2.00% | 0.135% |
| 74 | 11.034 | 1240 | 1243 | 1248 | VV 3 | 737949 | 23333275 | 4.19% | 0.282% |
| 75 | 11.105 | 1248 | 1251 | 1254 | VV 2 | 1577495 | 33168459 | 5.96% | 0.401% |
| 76 | 11.237 | 1259 | 1266 | 1271 | VV 3 | 3212046 | 70965643 | 12.74% | 0.858% |
| 77 | 11.334 | 1271 | 1277 | 1281 | VV 3 | 496625 | 15339283 | 2.75% | 0.185% |
| 78 | 11.404 | 1281 | 1285 | 1290 | PV | 654022 | 11960676 | 2.15% | 0.145% |
| 79 | 11.493 | 1290 | 1295 | 1298 | VV | 412219 | 7074288 | 1.27% | 0.086% |
| 80 | 11.554 | 1298 | 1302 | 1304 | VV 2 | 485677 | 8933472 | 1.60% | 0.108% |
| 81 | 11.598 | 1304 | 1307 | 1309 | VV | 716643 | 13064899 | 2.35% | 0.158% |
| 82 | 11.678 | 1309 | 1316 | 1320 | VV 2 | 2459983 | 64478401 | 11.58% | 0.780% |
| 83 | 12.083 | 1358 | 1362 | 1368 | VV 5 | 463158 | 13910041 | 2.50% | 0.168% |
| 84 | 12.260 | 1374 | 1382 | 1386 | VV 2 | 584521 | 13928016 | 2.50% | 0.168% |
| 85 | 12.788 | 1435 | 1442 | 1455 | VV | 2412556 | 44182946 | 7.93% | 0.534% |
| 86 | 12.974 | 1455 | 1463 | 1467 | PV | 1079381 | 20252991 | 3.64% | 0.245% |

Sum of corrected areas: 8270676461

Lampiran 13

Kromatogram GC-MS Gasoline + Katalis Zeolit



Area Percent Report

```

Data Path : F:\DATA INJEK START FROM 5 MART 2010\MAHASISWA\VINO\
Data File : SAMPEL4.D
Acq On   : 16 Dec 2010 11:26
Operator  : VINO HASYIM
Sample    : SAMPEL BENSIN+KATALIS ZEOLIT
Misc     :
ALS Vial : 1 Sample Multiplier: 1

```

Integration Parameters: VINO.E
Integrator: ChemStation

Method : C:\MSDCHEM\1\METHODS\BBM_LGS.M

| peak # | R.T. min | first scan | max scan | last scan | PK TY | peak height | corr. area | corr. % max. | (Lanjutan) % of total |
|-----------|-------------|---------------|-------------|--------------|----------|----------------|---------------|-----------------|-----------------------------|
| 1 | 4.396 | 485 | 490 | 499 | VV 3 | 1068345 | 42185078 | 7.47% | 0.499% |
| 2 | 4.555 | 499 | 508 | 513 | VV | 8641546 | 253513428 | 44.88% | 2.999% |
| 3 | 4.626 | 513 | 516 | 523 | VV 2 | 7508902 | 261899665 | 46.37% | 3.098% |
| 4 | 4.714 | 523 | 526 | 530 | VV | 5421726 | 140449469 | 24.87% | 1.661% |
| 5 | 4.776 | 530 | 533 | 541 | VV | 7320268 | 177690755 | 31.46% | 2.102% |
| 6 | 4.934 | 541 | 551 | 557 | PV 4 | 9107447 | 293499159 | 51.96% | 3.471% |
| 7 | 5.022 | 557 | 561 | 568 | VV 2 | 6955653 | 199568836 | 35.33% | 2.360% |
| 8 | 5.110 | 568 | 571 | 575 | VV | 7711938 | 203090480 | 35.96% | 2.402% |
| 9 | 5.163 | 575 | 577 | 582 | VV 2 | 4540494 | 121381670 | 21.49% | 1.436% |
| 10 | 5.225 | 582 | 584 | 586 | VV 2 | 2502739 | 48984057 | 8.67% | 0.579% |
| 11 | 5.269 | 586 | 589 | 592 | VV 2 | 3564996 | 81498717 | 14.43% | 0.964% |
| 12 | 5.357 | 592 | 599 | 606 | VV 2 | 7184908 | 202572464 | 35.86% | 2.396% |
| 13 | 5.542 | 606 | 620 | 625 | VV 3 | 3917092 | 120816073 | 21.39% | 1.429% |
| 14 | 5.648 | 625 | 632 | 635 | VV 3 | 10238996 | 380853775 | 67.43% | 4.505% |
| 15 | 5.701 | 635 | 638 | 646 | VV 2 | 7938773 | 195641346 | 34.64% | 2.314% |
| 16 | 5.816 | 646 | 651 | 652 | VV 2 | 4643922 | 94469016 | 16.73% | 1.117% |
| 17 | 5.833 | 652 | 653 | 659 | VV 3 | 4098851 | 109219918 | 19.34% | 1.292% |
| 18 | 5.913 | 659 | 662 | 665 | VV | 7929073 | 175581740 | 31.09% | 2.077% |
| 19 | 5.966 | 665 | 668 | 674 | VV 4 | 4847925 | 138434337 | 24.51% | 1.637% |
| 20 | 6.036 | 674 | 676 | 678 | VV | 1643614 | 30308596 | 5.37% | 0.358% |
| 21 | 6.089 | 678 | 682 | 689 | VV 4 | 1563052 | 55206464 | 9.77% | 0.653% |
| 22 | 6.221 | 689 | 697 | 704 | VV 3 | 7202104 | 210721327 | 37.31% | 2.492% |
| 23 | 6.318 | 704 | 708 | 711 | VV | 1902934 | 36193355 | 6.41% | 0.428% |
| 24 | 6.371 | 711 | 714 | 720 | VV 4 | 1838914 | 54520417 | 9.65% | 0.645% |
| 25 | 6.450 | 720 | 723 | 726 | VV 3 | 1375621 | 34913712 | 6.18% | 0.413% |
| 26 | 6.521 | 726 | 731 | 736 | VV 3 | 2659839 | 104909907 | 18.57% | 1.241% |
| 27 | 6.609 | 736 | 741 | 747 | VV 2 | 4851884 | 164866236 | 29.19% | 1.950% |
| 28 | 6.715 | 747 | 753 | 762 | VV | 14569592 | 564822369 | 100.00% | 6.681% |
| 29 | 6.829 | 762 | 766 | 771 | VV | 3682727 | 90754191 | 16.07% | 1.073% |
| 30 | 6.979 | 771 | 783 | 788 | VV 3 | 6400727 | 220162681 | 38.98% | 2.604% |
| 31 | 7.050 | 788 | 791 | 794 | VV 2 | 1728487 | 37295892 | 6.60% | 0.441% |
| 32 | 7.138 | 797 | 801 | 806 | VV | 3081857 | 65383272 | 11.58% | 0.773% |
| 33 | 7.235 | 810 | 812 | 817 | VV 3 | 834070 | 17386770 | 3.08% | 0.206% |
| 34 | 7.306 | 817 | 820 | 826 | VV 3 | 1413278 | 36447363 | 6.45% | 0.431% |
| 35 | 7.394 | 826 | 830 | 836 | VV 2 | 1782659 | 59155615 | 10.47% | 0.700% |
| 36 | 7.473 | 836 | 839 | 841 | VV | 1377040 | 26023305 | 4.61% | 0.308% |
| 37 | 7.508 | 841 | 843 | 846 | VV 2 | 1167794 | 23184442 | 4.10% | 0.274% |
| 38 | 7.658 | 857 | 860 | 862 | VV 2 | 845321 | 15939834 | 2.82% | 0.189% |
| 39 | 7.693 | 862 | 864 | 866 | VV 3 | 976528 | 18446227 | 3.27% | 0.218% |
| 40 | 7.746 | 866 | 870 | 873 | VV | 3177174 | 71959045 | 12.74% | 0.851% |
| 41 | 7.817 | 873 | 878 | 884 | VV 2 | 9550560 | 257196511 | 45.54% | 3.042% |
| 42 | 7.931 | 884 | 891 | 896 | VV | 15058871 | 520270540 | 92.11% | 6.154% |
| 43 | 8.011 | 896 | 900 | 903 | VV 3 | 789211 | 19673833 | 3.48% | 0.233% |

| | | | | | | | | | | | | (Lanjutan) |
|----|--------|------|------|------|----|---|----------|-----------|--------|--------|--|------------|
| 44 | 8.072 | 903 | 907 | 910 | VV | 6 | 792623 | 24202820 | 4.29% | 0.286% | | |
| 45 | 8.152 | 910 | 916 | 919 | VV | 2 | 3495419 | 74548344 | 13.20% | 0.882% | | |
| 46 | 8.222 | 919 | 924 | 929 | VV | | 11882895 | 285265062 | 50.51% | 3.374% | | |
| 47 | 8.355 | 929 | 939 | 946 | VV | 2 | 828839 | 27918127 | 4.94% | 0.330% | | |
| 48 | 8.443 | 946 | 949 | 952 | VV | | 617220 | 12626863 | 2.24% | 0.149% | | |
| 49 | 8.557 | 956 | 962 | 966 | VV | 2 | 2091125 | 44293534 | 7.84% | 0.524% | | |
| 50 | 8.628 | 966 | 970 | 977 | VV | 2 | 810146 | 23662646 | 4.19% | 0.280% | | |
| 51 | 8.822 | 988 | 992 | 995 | VV | 2 | 553037 | 11417171 | 2.02% | 0.135% | | |
| 52 | 8.919 | 995 | 1003 | 1007 | VV | | 4106224 | 90590020 | 16.04% | 1.071% | | |
| 53 | 9.016 | 1007 | 1014 | 1019 | VV | | 9737142 | 294107267 | 52.07% | 3.479% | | |
| 54 | 9.095 | 1019 | 1023 | 1027 | VV | | 5822578 | 103292882 | 18.29% | 1.222% | | |
| 55 | 9.245 | 1035 | 1040 | 1045 | VV | | 5108626 | 95027629 | 16.82% | 1.124% | | |
| 56 | 9.324 | 1045 | 1049 | 1053 | VV | | 1186478 | 22130557 | 3.92% | 0.262% | | |
| 57 | 9.421 | 1053 | 1060 | 1065 | VV | | 12593756 | 302599196 | 53.57% | 3.579% | | |
| 58 | 9.694 | 1089 | 1091 | 1094 | VV | | 790542 | 15337841 | 2.72% | 0.181% | | |
| 59 | 9.774 | 1094 | 1100 | 1104 | VV | | 5561035 | 109990446 | 19.47% | 1.301% | | |
| 60 | 9.959 | 1108 | 1121 | 1124 | VV | | 2572080 | 55163705 | 9.77% | 0.652% | | |
| 61 | 10.038 | 1124 | 1130 | 1133 | VV | 2 | 3039988 | 78062606 | 13.82% | 0.923% | | |
| 62 | 10.109 | 1133 | 1138 | 1143 | VV | 2 | 3767377 | 88289242 | 15.63% | 1.044% | | |
| 63 | 10.241 | 1149 | 1153 | 1160 | VV | | 1039951 | 19793794 | 3.50% | 0.234% | | |
| 64 | 10.347 | 1160 | 1165 | 1172 | VV | 2 | 2281131 | 75132829 | 13.30% | 0.889% | | |
| 65 | 10.444 | 1172 | 1176 | 1181 | VV | | 4122496 | 74432742 | 13.18% | 0.880% | | |
| 66 | 10.523 | 1181 | 1185 | 1190 | VV | 2 | 1267396 | 26417259 | 4.68% | 0.312% | | |
| 67 | 10.699 | 1200 | 1205 | 1212 | VV | | 1126498 | 24112212 | 4.27% | 0.285% | | |
| 68 | 10.805 | 1212 | 1217 | 1220 | VV | | 2256284 | 39254643 | 6.95% | 0.464% | | |
| 69 | 10.858 | 1220 | 1223 | 1228 | VV | | 3138691 | 54187619 | 9.59% | 0.641% | | |
| 70 | 10.973 | 1228 | 1236 | 1239 | VV | 2 | 550208 | 13274024 | 2.35% | 0.157% | | |
| 71 | 11.034 | 1239 | 1243 | 1247 | VV | 3 | 785795 | 25309413 | 4.48% | 0.299% | | |
| 72 | 11.105 | 1247 | 1251 | 1254 | VV | 2 | 1694063 | 35344997 | 6.26% | 0.418% | | |
| 73 | 11.140 | 1254 | 1255 | 1259 | VV | | 670386 | 10367440 | 1.84% | 0.123% | | |
| 74 | 11.237 | 1259 | 1266 | 1271 | VV | 3 | 3349932 | 75524853 | 13.37% | 0.893% | | |
| 75 | 11.325 | 1271 | 1276 | 1280 | VV | 3 | 528506 | 17494076 | 3.10% | 0.207% | | |
| 76 | 11.396 | 1280 | 1284 | 1289 | VV | | 721226 | 13807847 | 2.44% | 0.163% | | |
| 77 | 11.484 | 1289 | 1294 | 1297 | VV | | 463105 | 8651601 | 1.53% | 0.102% | | |
| 78 | 11.546 | 1297 | 1301 | 1304 | VV | 2 | 519382 | 10131101 | 1.79% | 0.120% | | |
| 79 | 11.599 | 1304 | 1307 | 1309 | VV | | 773359 | 14222077 | 2.52% | 0.168% | | |
| 80 | 11.678 | 1309 | 1316 | 1319 | VV | 2 | 2608461 | 68682870 | 12.16% | 0.812% | | |
| 81 | 12.083 | 1358 | 1362 | 1367 | VV | 4 | 516504 | 15744815 | 2.79% | 0.186% | | |
| 82 | 12.251 | 1378 | 1381 | 1385 | VV | | 652851 | 13053384 | 2.31% | 0.154% | | |
| 83 | 12.410 | 1395 | 1399 | 1404 | VV | 2 | 493267 | 15560133 | 2.75% | 0.184% | | |
| 84 | 12.789 | 1434 | 1442 | 1454 | VV | | 2477545 | 47184447 | 8.35% | 0.558% | | |
| 85 | 12.974 | 1454 | 1463 | 1467 | PV | | 1129782 | 21260313 | 3.76% | 0.251% | | |

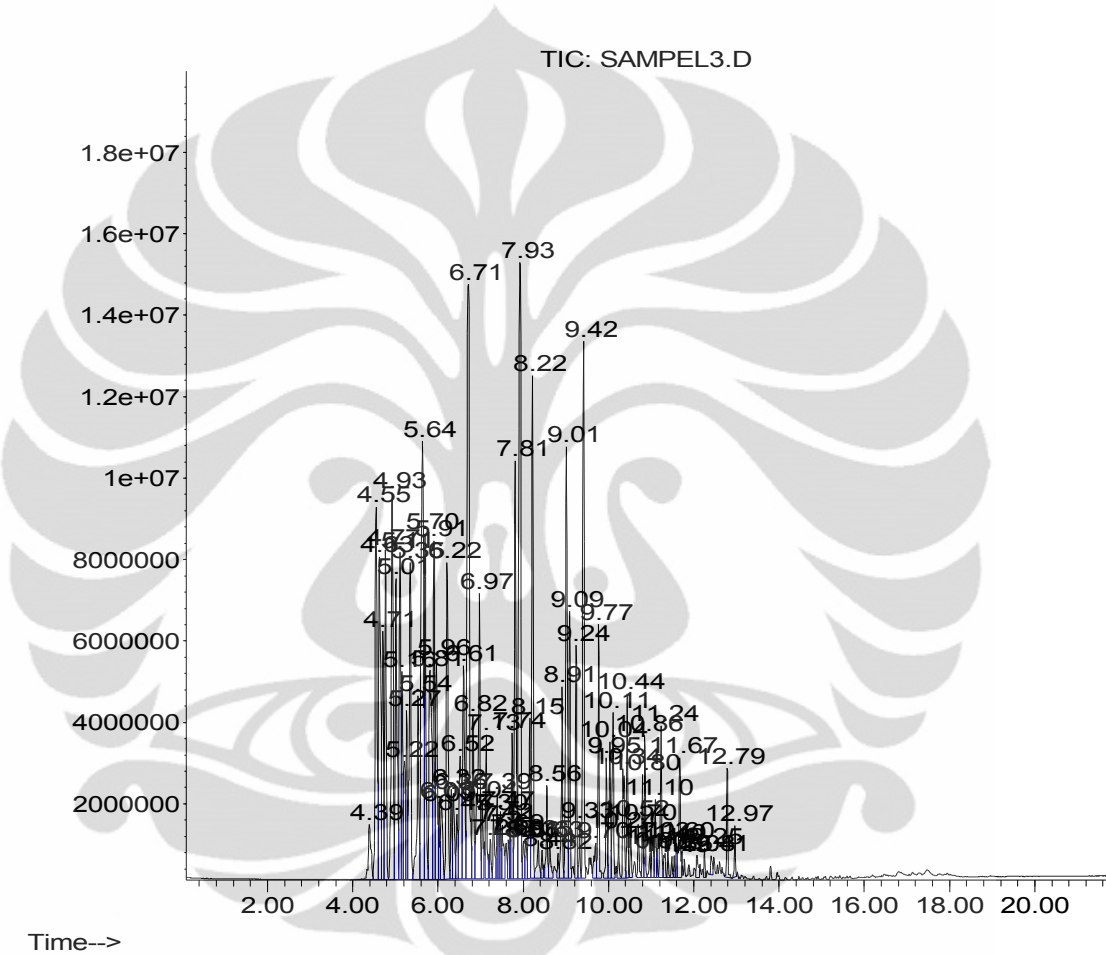
Sum of corrected areas: 8454562334

BBM LGS.M Th Area Percent Report

Lampiran 14

Kromatogram GC-MS Gasoline + Katalis Kristal Besar Pr(III)-EDTA/Zeolit

Abundance



Time-->

Area Percent Report

```

Data Path : F:\DATA INJEK START FROM 5 MART 2010\MAHASISWA\VINO\
Data File : SAMPEL3.D
Acq On    : 16 Dec 2010 10:56
Operator   : VINO HASYIM
Sample     : SAMPEL BENSIN+KATALIS KRISTAL BESAR Pr(III)-
EDTA/ZEOLIT
Misc      :
ALS Vial  : 1 Sample Multiplier: 1

```

```

Integration Parameters: VINO.E
Integrator: ChemStation

```

Method : C:\MSDCHEM\1\METHODS\BBM LGS.M

| peak # | R.T. min | first scan | max scan | last scan | PK TY | peak height | corr. area | corr. % max. | (Lanjutan) % of total |
|-----------|-------------|---------------|-------------|--------------|----------|----------------|---------------|-----------------|-----------------------------|
| 1 | 4.396 | 457 | 490 | 499 | BV 3 | 1337276 | 57044304 | 9.57% | 0.614% |
| 2 | 4.546 | 499 | 507 | 512 | VV | 9066912 | 271679197 | 45.60% | 2.926% |
| 3 | 4.625 | 512 | 516 | 522 | VV 2 | 7914679 | 294878283 | 49.49% | 3.176% |
| 4 | 4.705 | 522 | 525 | 529 | VV | 6011790 | 158410480 | 26.59% | 1.706% |
| 5 | 4.775 | 529 | 533 | 540 | VV | 7946556 | 198006824 | 33.23% | 2.132% |
| 6 | 4.925 | 540 | 550 | 556 | VV 4 | 9447697 | 320543007 | 53.80% | 3.452% |
| 7 | 5.013 | 556 | 560 | 567 | VV 2 | 7429614 | 225188043 | 37.79% | 2.425% |
| 8 | 5.110 | 567 | 571 | 575 | VV | 8082799 | 222863162 | 37.40% | 2.400% |
| 9 | 5.154 | 575 | 576 | 580 | VV 2 | 5055941 | 117202428 | 19.67% | 1.262% |
| 10 | 5.216 | 580 | 583 | 586 | VV 3 | 2860254 | 79595109 | 13.36% | 0.857% |
| 11 | 5.269 | 586 | 589 | 592 | VV 2 | 4040217 | 94032862 | 15.78% | 1.013% |
| 12 | 5.348 | 592 | 598 | 605 | VV 2 | 7636788 | 224789943 | 37.73% | 2.421% |
| 13 | 5.533 | 605 | 619 | 624 | VV 3 | 4407961 | 139700210 | 23.45% | 1.504% |
| 14 | 5.639 | 624 | 631 | 635 | VV 3 | 10714034 | 413764113 | 69.44% | 4.456% |
| 15 | 5.692 | 635 | 637 | 645 | VV 2 | 8290192 | 214203189 | 35.95% | 2.307% |
| 16 | 5.807 | 645 | 650 | 658 | VV 6 | 5172425 | 228099314 | 38.28% | 2.456% |
| 17 | 5.913 | 658 | 662 | 665 | VV | 8219776 | 193931246 | 32.55% | 2.088% |
| 18 | 5.965 | 665 | 668 | 673 | VV 4 | 5310173 | 154729237 | 25.97% | 1.666% |
| 19 | 6.027 | 673 | 675 | 678 | VV | 1853095 | 34705141 | 5.82% | 0.374% |
| 20 | 6.089 | 678 | 682 | 689 | VV 5 | 1804836 | 63700511 | 10.69% | 0.686% |
| 21 | 6.221 | 689 | 697 | 704 | VV 3 | 7700387 | 233190023 | 39.14% | 2.511% |
| 22 | 6.318 | 704 | 708 | 710 | VV | 2146539 | 42146470 | 7.07% | 0.454% |
| 23 | 6.362 | 710 | 713 | 719 | VV 4 | 2078742 | 61441953 | 10.31% | 0.662% |
| 24 | 6.450 | 719 | 723 | 726 | VV 4 | 1567025 | 40628108 | 6.82% | 0.438% |
| 25 | 6.521 | 726 | 731 | 736 | VV 3 | 2978133 | 115098520 | 19.32% | 1.239% |
| 26 | 6.609 | 736 | 741 | 746 | VV 3 | 5176934 | 184991179 | 31.05% | 1.992% |
| 27 | 6.715 | 746 | 753 | 762 | VV | 14604496 | 595840140 | 100.00% | 6.417% |
| 28 | 6.821 | 762 | 765 | 771 | VV 2 | 4019725 | 102675778 | 17.23% | 1.106% |
| 29 | 6.970 | 771 | 782 | 787 | VV 4 | 6887101 | 243294917 | 40.83% | 2.620% |
| 30 | 7.041 | 787 | 790 | 794 | VV 3 | 1905492 | 42856826 | 7.19% | 0.462% |
| 31 | 7.138 | 797 | 801 | 806 | VV | 3405184 | 73044873 | 12.26% | 0.787% |
| 32 | 7.235 | 809 | 812 | 816 | VV 3 | 949910 | 19724009 | 3.31% | 0.212% |
| 33 | 7.305 | 816 | 820 | 826 | VV 4 | 1582765 | 40536835 | 6.80% | 0.437% |
| 34 | 7.385 | 826 | 829 | 832 | VV | 1960132 | 41099572 | 6.90% | 0.443% |
| 35 | 7.420 | 832 | 833 | 836 | VV 2 | 1353251 | 25545617 | 4.29% | 0.275% |
| 36 | 7.464 | 836 | 838 | 841 | VV | 1550785 | 29028090 | 4.87% | 0.313% |
| 37 | 7.508 | 841 | 843 | 850 | VV 5 | 1300515 | 42651410 | 7.16% | 0.459% |
| 38 | 7.658 | 857 | 860 | 861 | VV | 928439 | 17982301 | 3.02% | 0.194% |
| 39 | 7.693 | 861 | 864 | 865 | VV 2 | 1071285 | 20062875 | 3.37% | 0.216% |
| 40 | 7.737 | 865 | 869 | 873 | VV | 3446210 | 79939051 | 13.42% | 0.861% |
| 41 | 7.817 | 873 | 878 | 884 | VV 2 | 10084967 | 278519940 | 46.74% | 2.999% |

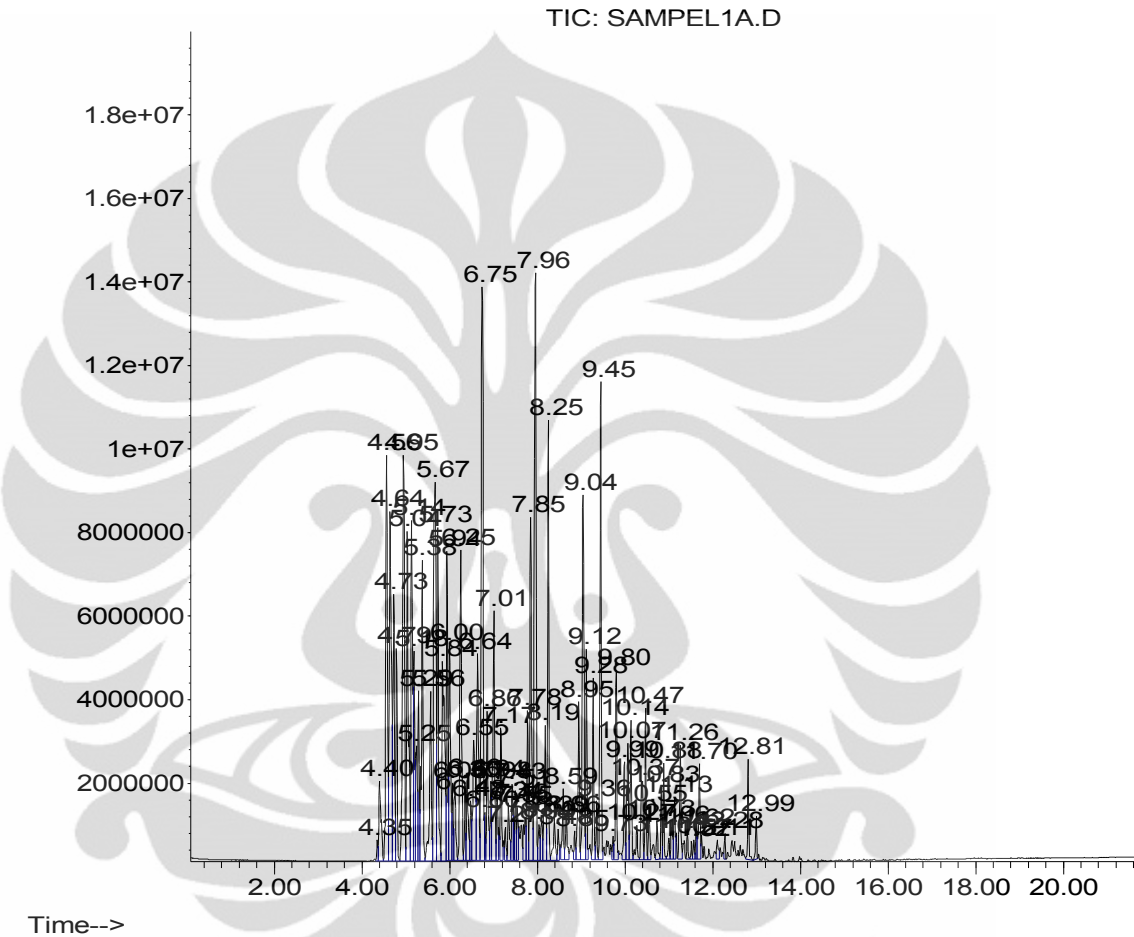
| | | | | | | | | | |
|----|--------|------|------|------|------|----------|-----------|------------|--------|
| 42 | 7.931 | 884 | 891 | 896 | VV | 15133809 | 546250319 | 91.68% | 5.883% |
| 43 | 8.011 | 896 | 900 | 902 | VV 3 | 905213 | 23248133 | 3.90% | 0.250% |
| | | | | | | | | (Lanjutan) | |
| 44 | 8.063 | 902 | 906 | 909 | VV 5 | 910673 | 27456483 | 4.61% | 0.296% |
| 45 | 8.152 | 909 | 916 | 919 | VV 2 | 3805690 | 82816167 | 13.90% | 0.892% |
| 46 | 8.222 | 919 | 924 | 929 | VV | 12384170 | 304631160 | 51.13% | 3.281% |
| 47 | 8.354 | 929 | 939 | 945 | VV 2 | 928343 | 31865418 | 5.35% | 0.343% |
| 48 | 8.443 | 945 | 949 | 952 | VV | 676160 | 14063522 | 2.36% | 0.151% |
| 49 | 8.557 | 956 | 962 | 966 | VV 2 | 2305472 | 48957202 | 8.22% | 0.527% |
| 50 | 8.628 | 966 | 970 | 977 | VV 2 | 896807 | 25778371 | 4.33% | 0.278% |
| 51 | 8.813 | 988 | 991 | 994 | VV | 600399 | 12337183 | 2.07% | 0.133% |
| 52 | 8.910 | 994 | 1002 | 1007 | VV | 4516851 | 99380698 | 16.68% | 1.070% |
| 53 | 9.016 | 1007 | 1014 | 1019 | VV | 10421873 | 316960335 | 53.20% | 3.413% |
| 54 | 9.086 | 1019 | 1022 | 1027 | VV | 6301496 | 112892831 | 18.95% | 1.216% |
| 55 | 9.245 | 1035 | 1040 | 1045 | VV | 5580115 | 104168363 | 17.48% | 1.122% |
| 56 | 9.324 | 1045 | 1049 | 1053 | VV | 1294970 | 24148892 | 4.05% | 0.260% |
| 57 | 9.421 | 1053 | 1060 | 1065 | VV | 13179862 | 323886393 | 54.36% | 3.488% |
| 58 | 9.694 | 1083 | 1091 | 1094 | VV 2 | 841074 | 27414108 | 4.60% | 0.295% |
| 59 | 9.774 | 1094 | 1100 | 1108 | VV | 6012581 | 122323772 | 20.53% | 1.317% |
| 60 | 9.950 | 1113 | 1120 | 1124 | VV | 2780530 | 56348746 | 9.46% | 0.607% |
| 61 | 10.038 | 1124 | 1130 | 1133 | VV 2 | 3329151 | 85575014 | 14.36% | 0.922% |
| 62 | 10.109 | 1133 | 1138 | 1143 | VV 2 | 4063269 | 96313764 | 16.16% | 1.037% |
| 63 | 10.241 | 1149 | 1153 | 1160 | VV | 1125626 | 20759190 | 3.48% | 0.224% |
| 64 | 10.347 | 1160 | 1165 | 1172 | VV 2 | 2486780 | 81670340 | 13.71% | 0.880% |
| 65 | 10.444 | 1172 | 1176 | 1181 | VV | 4470822 | 80863588 | 13.57% | 0.871% |
| 66 | 10.523 | 1181 | 1185 | 1190 | VV 2 | 1367138 | 28362669 | 4.76% | 0.305% |
| 67 | 10.699 | 1200 | 1205 | 1212 | VV | 1219615 | 25406049 | 4.26% | 0.274% |
| 68 | 10.805 | 1212 | 1217 | 1220 | VV | 2481726 | 42240244 | 7.09% | 0.455% |
| 69 | 10.858 | 1220 | 1223 | 1228 | VV | 3447721 | 58563730 | 9.83% | 0.631% |
| 70 | 10.973 | 1228 | 1236 | 1239 | VV 2 | 580521 | 13265398 | 2.23% | 0.143% |
| 71 | 11.025 | 1239 | 1242 | 1247 | VV 3 | 843573 | 26879428 | 4.51% | 0.289% |
| 72 | 11.105 | 1247 | 1251 | 1254 | VV 2 | 1830278 | 38011955 | 6.38% | 0.409% |
| 73 | 11.140 | 1254 | 1255 | 1259 | VV | 711048 | 10736740 | 1.80% | 0.116% |
| 74 | 11.237 | 1259 | 1266 | 1271 | VV 3 | 3659786 | 81218832 | 13.63% | 0.875% |
| 75 | 11.325 | 1271 | 1276 | 1280 | VV 3 | 562043 | 17966081 | 3.02% | 0.193% |
| 76 | 11.396 | 1280 | 1284 | 1289 | VV | 763295 | 13933311 | 2.34% | 0.150% |
| 77 | 11.484 | 1289 | 1294 | 1297 | VV | 482133 | 8375149 | 1.41% | 0.090% |
| 78 | 11.546 | 1297 | 1301 | 1304 | VV 2 | 545190 | 10378478 | 1.74% | 0.112% |
| 79 | 11.598 | 1304 | 1307 | 1309 | VV | 836095 | 14914740 | 2.50% | 0.161% |
| 80 | 11.678 | 1309 | 1316 | 1319 | VV 2 | 2817454 | 73785189 | 12.38% | 0.795% |
| 81 | 12.074 | 1358 | 1361 | 1367 | VV 4 | 530064 | 15834866 | 2.66% | 0.171% |
| 82 | 12.251 | 1377 | 1381 | 1385 | VV 2 | 680349 | 13006630 | 2.18% | 0.140% |
| 83 | 12.409 | 1393 | 1399 | 1404 | BV 2 | 456456 | 12385756 | 2.08% | 0.133% |
| 84 | 12.788 | 1434 | 1442 | 1454 | VV | 2703772 | 50126384 | 8.41% | 0.540% |
| 85 | 12.974 | 1454 | 1463 | 1467 | PV | 1225763 | 23090920 | 3.88% | 0.249% |

Sum of corrected areas: 9285957630

Lampiran 15

Kromatogram GC-MS Gasoline + Katalis Nanopartikel Pr(III)-EDTA/Zeolit

Abundance



Area Percent Report

```

Data Path : F:\DATA INJEK START FROM 5 MART 2010\MAHASISWA\VINO\
Data File : SAMPEL1A.D
Acq On   : 16 Dec 2010 12:44
Operator  : VINO HASYIM
Sample    : SAMPEL BENSIN+KATALIS NANOPARTIKEL Pr (III)-EDTA/ZEOLIT
Misc     :
ALS Vial : 1      Sample Multiplier: 1

```

Integration Parameters: VINO.E
Integrator: ChemStation

Method : C:\MSDCHEM\1\METHODS\BBM LGS.M

| peak # | R.T. min | first scan | max scan | last scan | PK TY | peak height | corr. area | corr. % max. | (Lanjutan) % of total |
|-----------|-------------|---------------|-------------|--------------|----------|----------------|---------------|-----------------|-----------------------------|
| 1 | 4.353 | 481 | 485 | 487 | VV | 505182 | 8444007 | 1.91% | 0.109% |
| 2 | 4.405 | 487 | 491 | 501 | VV | 3 | 1888998 | 69316477 | 15.65% |
| 3 | 4.564 | 501 | 509 | 514 | VV | 9615167 | 270053932 | 60.98% | 3.494% |
| 4 | 4.643 | 514 | 518 | 524 | VV | 2 | 8276324 | 299423992 | 67.62% |
| 5 | 4.723 | 524 | 527 | 532 | VV | 6234095 | 159715252 | 36.07% | 2.066% |
| 6 | 4.793 | 532 | 535 | 543 | VV | 4991189 | 100780648 | 22.76% | 1.304% |
| 7 | 4.952 | 543 | 553 | 559 | VV | 4 | 9535073 | 301089595 | 67.99% |
| 8 | 5.040 | 559 | 563 | 570 | VV | 2 | 7735404 | 219023966 | 49.46% |
| 9 | 5.137 | 570 | 574 | 577 | VV | 8074475 | 197784341 | 44.66% | 2.559% |
| 10 | 5.181 | 577 | 579 | 583 | VV | 3 | 4958386 | 117541831 | 26.54% |
| 11 | 5.243 | 583 | 586 | 589 | VV | 3 | 2717729 | 76247878 | 17.22% |
| 12 | 5.296 | 589 | 592 | 595 | VV | 2 | 3994313 | 84125512 | 19.00% |
| 13 | 5.375 | 595 | 601 | 609 | VV | 2 | 7015399 | 184807281 | 41.73% |
| 14 | 5.569 | 609 | 623 | 628 | VV | 3 | 3924564 | 118114449 | 26.67% |
| 15 | 5.675 | 628 | 635 | 638 | VV | 4 | 9043856 | 339667139 | 76.70% |
| 16 | 5.728 | 638 | 641 | 649 | VV | 7961770 | 150677919 | 34.03% | 1.950% |
| 17 | 5.842 | 649 | 654 | 662 | VV | 5 | 4641965 | 193290850 | 43.65% |
| 18 | 5.948 | 662 | 666 | 668 | VV | 7222107 | 149420752 | 33.74% | 1.933% |
| 19 | 5.992 | 668 | 671 | 677 | VV | 3 | 5084912 | 144714579 | 32.68% |
| 20 | 6.063 | 677 | 679 | 682 | VV | 1770689 | 32841841 | 7.42% | 0.425% |
| 21 | 6.124 | 682 | 686 | 693 | VV | 4 | 1600239 | 53168649 | 12.01% |
| 22 | 6.257 | 693 | 701 | 708 | VV | 3 | 7394869 | 207917786 | 46.95% |
| 23 | 6.354 | 708 | 712 | 714 | VV | 1876556 | 33812048 | 7.64% | 0.437% |
| 24 | 6.398 | 714 | 717 | 723 | VV | 3 | 1861998 | 51295976 | 11.58% |
| 25 | 6.486 | 723 | 727 | 729 | VV | 3 | 1410836 | 33414987 | 7.55% |
| 26 | 6.556 | 729 | 735 | 740 | VV | 3 | 2798877 | 106246356 | 23.99% |
| 27 | 6.636 | 740 | 744 | 750 | VV | 2 | 4833285 | 149122291 | 33.68% |
| 28 | 6.742 | 750 | 756 | 762 | VV | 13674838 | 442823267 | 100.00% | 5.729% |
| 29 | 6.803 | 762 | 763 | 765 | VV | 2 | 1173489 | 17832550 | 4.03% |
| 30 | 6.856 | 765 | 769 | 775 | VV | 2 | 3557396 | 90878633 | 20.52% |
| 31 | 6.944 | 775 | 779 | 780 | VV | 1874046 | 38972292 | 8.80% | 0.504% |
| 32 | 7.006 | 780 | 786 | 792 | VV | 3 | 5790246 | 166218534 | 37.54% |
| 33 | 7.085 | 792 | 795 | 798 | VV | 2 | 1763364 | 37250854 | 8.41% |
| 34 | 7.173 | 801 | 805 | 810 | VV | 2 | 3173611 | 67220694 | 15.18% |
| 35 | 7.270 | 814 | 816 | 821 | VV | 3 | 776429 | 16040442 | 3.62% |
| 36 | 7.341 | 821 | 824 | 830 | VV | 3 | 1313262 | 34337026 | 7.75% |
| 37 | 7.429 | 830 | 834 | 836 | VV | 1769902 | 34868616 | 7.87% | 0.451% |
| 38 | 7.464 | 836 | 838 | 840 | VV | 2 | 1283620 | 23719382 | 5.36% |
| 39 | 7.508 | 840 | 843 | 845 | VV | 1639643 | 30414780 | 6.87% | 0.394% |
| 40 | 7.544 | 845 | 847 | 850 | VV | 2 | 1222392 | 23916743 | 5.40% |
| 41 | 7.729 | 861 | 868 | 870 | VV | 4 | 1028838 | 33636323 | 7.60% |
| 42 | 7.773 | 870 | 873 | 877 | VV | 3451599 | 73839053 | 16.67% | 0.955% |
| 43 | 7.843 | 877 | 881 | 888 | VV | 2 | 8007637 | 207193856 | 46.79% |

| | | | | | | | | | | | (Lanjutan) |
|----|--------|------|------|------|----|----------|-----------|-----------|--------|--------|------------|
| 44 | 7.958 | 888 | 894 | 900 | VV | 13966880 | 417014953 | 94.17% | 5.396% | | |
| 45 | 8.037 | 900 | 903 | 906 | VV | 3 | 841700 | 21681378 | 4.90% | 0.281% | |
| 46 | 8.099 | 906 | 910 | 913 | VV | 5 | 893999 | 27144425 | 6.13% | 0.351% | |
| 47 | 8.187 | 913 | 920 | 923 | VV | 2 | 3199119 | 77360479 | 17.47% | 1.001% | |
| 48 | 8.249 | 923 | 927 | 933 | VV | | 10312292 | 225202580 | 50.86% | 2.914% | |
| 49 | 8.390 | 933 | 943 | 949 | VV | 2 | 996151 | 32105669 | 7.25% | 0.415% | |
| 50 | 8.478 | 949 | 953 | 956 | VV | 2 | 732278 | 14863257 | 3.36% | 0.192% | |
| 51 | 8.593 | 960 | 966 | 970 | VV | 2 | 1736002 | 40217728 | 9.08% | 0.520% | |
| 52 | 8.663 | 970 | 974 | 981 | VV | 2 | 1012445 | 28727986 | 6.49% | 0.372% | |
| 53 | 8.857 | 992 | 996 | 998 | VV | | 663866 | 13471143 | 3.04% | 0.174% | |
| 54 | 8.945 | 998 | 1006 | 1010 | VV | | 3627449 | 85806941 | 19.38% | 1.110% | |
| 55 | 9.042 | 1010 | 1017 | 1023 | VV | | 8693713 | 248700726 | 56.16% | 3.218% | |
| 56 | 9.122 | 1023 | 1026 | 1030 | VV | | 4857756 | 85824029 | 19.38% | 1.110% | |
| 57 | 9.271 | 1039 | 1043 | 1048 | VV | | 4143690 | 77551921 | 17.51% | 1.003% | |
| 58 | 9.351 | 1048 | 1052 | 1056 | VV | 2 | 1340156 | 25343079 | 5.72% | 0.328% | |
| 59 | 9.448 | 1056 | 1063 | 1068 | VV | | 11425436 | 248842872 | 56.19% | 3.220% | |
| 60 | 9.730 | 1092 | 1095 | 1097 | VV | | 536251 | 9665019 | 2.18% | 0.125% | |
| 61 | 9.800 | 1097 | 1103 | 1108 | VV | | 4473692 | 88744817 | 20.04% | 1.148% | |
| 62 | 9.986 | 1117 | 1124 | 1128 | VV | | 2331941 | 49502177 | 11.18% | 0.640% | |
| 63 | 10.065 | 1128 | 1133 | 1137 | VV | 2 | 2682242 | 71155394 | 16.07% | 0.921% | |
| 64 | 10.135 | 1137 | 1141 | 1147 | VV | 2 | 3220605 | 77286636 | 17.45% | 1.000% | |
| 65 | 10.268 | 1147 | 1156 | 1163 | VV | | 782752 | 21159125 | 4.78% | 0.274% | |
| 66 | 10.373 | 1163 | 1168 | 1175 | VV | 2 | 1869746 | 61562617 | 13.90% | 0.797% | |
| 67 | 10.470 | 1175 | 1179 | 1184 | VV | 2 | 3514635 | 63927087 | 14.44% | 0.827% | |
| 68 | 10.550 | 1184 | 1188 | 1193 | VV | 2 | 1241589 | 24919264 | 5.63% | 0.322% | |
| 69 | 10.735 | 1203 | 1209 | 1216 | VV | | 905238 | 20793965 | 4.70% | 0.269% | |
| 70 | 10.832 | 1216 | 1220 | 1223 | VV | | 1684517 | 29645886 | 6.69% | 0.384% | |
| 71 | 10.885 | 1223 | 1226 | 1231 | VV | | 2280129 | 38991548 | 8.81% | 0.504% | |
| 72 | 10.999 | 1231 | 1239 | 1242 | VV | 2 | 480968 | 11496171 | 2.60% | 0.149% | |
| 73 | 11.061 | 1242 | 1246 | 1250 | VV | 3 | 740141 | 23364451 | 5.28% | 0.302% | |
| 74 | 11.132 | 1250 | 1254 | 1257 | VV | 2 | 1512598 | 32353713 | 7.31% | 0.419% | |
| 75 | 11.264 | 1262 | 1269 | 1274 | VV | 3 | 2736026 | 61882793 | 13.97% | 0.801% | |
| 76 | 11.422 | 1283 | 1287 | 1293 | VV | 2 | 593519 | 10916841 | 2.47% | 0.141% | |
| 77 | 11.519 | 1293 | 1298 | 1301 | VV | | 412313 | 7002038 | 1.58% | 0.091% | |
| 78 | 11.572 | 1301 | 1304 | 1307 | VV | | 454484 | 8253775 | 1.86% | 0.107% | |
| 79 | 11.625 | 1307 | 1310 | 1312 | VV | | 688077 | 12977235 | 2.93% | 0.168% | |
| 80 | 11.705 | 1312 | 1319 | 1322 | VV | 2 | 2229006 | 57502474 | 12.99% | 0.744% | |
| 81 | 12.101 | 1361 | 1364 | 1370 | VV | 4 | 438592 | 13031375 | 2.94% | 0.169% | |
| 82 | 12.278 | 1380 | 1384 | 1388 | VV | 2 | 580366 | 10854159 | 2.45% | 0.140% | |
| 83 | 12.815 | 1437 | 1445 | 1458 | VV | | 2289745 | 42214483 | 9.53% | 0.546% | |
| 84 | 12.992 | 1458 | 1465 | 1469 | PV | | 964303 | 18635952 | 4.21% | 0.241% | |

Sum of corrected areas: 7728921542

BBM LGS.M Thu Dec 16 13:39:50 2010